

2-14

único ejemplar



**BOLETIN  
DE LA  
ASOCIACION  
ARGENTINA  
DE  
ASTRONOMIA**

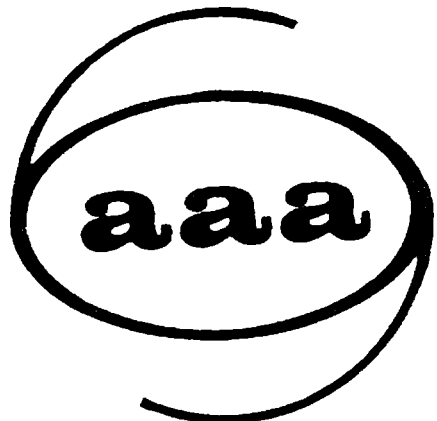
**Nº 26**



5 AGO 1981

**LA PLATA, 1981**





**BOLETIN  
DE LA  
ASOCIACION  
ARGENTINA  
DE  
ASTRONOMIA**

**Nº 26**

**LA PLATA, 1981**

Asociación Argentina de Astronomía  
Personería Jurídica 11811  
Prov. de Buenos Aires

Comisión Directiva

1978 - 1981

Presidente/ Dr. Fernando Raúl Colomb  
Vicepresidente/ Dr. Luis Ambrosio Milone  
Secretario/ Dr. Orlando Hugo Levato  
Tesorero/ Ing. Rodolfo Marabini  
Vocales Titulares/ Agr. Walter Manrique  
Dr. Juan José Clariá  
Vocales Suplentes/ Lic. Francisco López García  
Dr. Roberto Hugo Méndez

Comisión Revisora de Cuentas

1980 - 1983

Sr. César Augusto Mondinalli  
Dr. Osvaldo Eduardo Ferrer  
Dr. Ricardo Morras

Comité Nacional de Astronomía (1979 - 1982)

Secretario/ Ing. José Augusto López  
Miembros/ Dr. José Luis Sérsic  
Dr. Esteban Bajaja  
Ing. Rodolfo Marabini  
Lic. Francisco López García

## EDITORIAL

El volumen N° 26 contiene las comunicaciones e informes presentados en la Vigesimosexta Reunión Anual de la Asociación Argentina de Astronomía llevada a cabo en Mar del Plata entre los días 29 de septiembre y el 2 de octubre de 1980 y que tuvo carácter de homenaje a la Universidad Nacional de La Plata en su 75° Aniversario. La Reunión fue auspiciada por el Consejo Nacional de Investigaciones Científicas y Técnicas de la República Argentina y por la Comisión de Investigaciones Científicas de la Provincia de Buenos Aires a través de subsidios para su organización y publicación del presente volumen. El apoyo mencionado se agradece infinitamente. Se extiende nuestro agradecimiento a la Dirección de Impresiones de la Universidad Nacional de La Plata que tuvo a su cargo la impresión así como también a la Sra. Silvia G. de Pico quién se encargó de la tarea mecanográfica.

Hugo Levato



Discurso pronunciado por el Sr. Presidente de la Asociación Argentina de Astronomía, Dr. Fernando Raúl Colomb, con motivo del homenaje rendido por la Asociación Argentina de Astronomía a la Universidad Nacional de La Plata en su 75º Aniversario.

Con este sencillo pero sentido homenaje la Asociación Argentina de Astronomía quiere recordar la figura ilustre de Joaquín Víctor González quien además de sus múltiples ocupaciones fue, por sobre todas las cosas, educador, pensador y poeta.

Recordamos al artífice de esa conjunción que es, ni más ni menos, que la Universidad Nacional de La Plata; a quien bregó por la unificación de esfuerzos desparramados en aquel entonces en la Universidad Provincial, el Observatorio Astronómico, el renambrado Museo de Ciencias Naturales y la Biblioteca Pública de la Provincia, y alcanzar a través de ello el más caro objetivo que puede tener todo hombre de bien:

Colocar a las Instituciones en que trabaja en el peldaño más alto de la consideración en el mundo científico y cultural de su época y posteriores.

Esta nueva Universidad debía caracterizarse, según sus propios conceptos, por la amplitud de su organización, por la existencia de una perfecta armonía y correlación entre las diversas disciplinas y actividades, de modo que respondieran al concepto propio de su nombre: UNIVERSIDAD, y por sobre todo, los estudios debían ajustarse al método experimental.

Era necesario, pues, reunir esas fuerzas dispersas, fundir todas esas instituciones en un solo organismo, uniéndolas bajo una dirección común. Es la labor empeñosa e infatigable de Joaquín V. González la que allana las principales dificultades para alcanzar estos objetivos.

La visión de Joaquín V. González, de crear una nueva institución sobre la base de las existentes, de no ignorar lo ya realizado, de no desconocer la obra de otros, sino perfeccionarlas, mejorarlas, es un verdadero ejemplo de construcción positiva, digno de tener siempre presente al proyectar nuevas empresas.

Es nuestra satisfacción, como astrónomos, ver que el ideal del preclaro riojano está presente en el esfuerzo emprendido por la Universidad Nacional de La Plata junto a sus hermanas de Córdoba y San Juan para la concreción del futuro telescopio argentino de 2.15 m que se está instalando en la Pcia. de San Juan. Así, Joaquín V. González queda en nuestra memoria viva con un saldo netamente positivo al punto que se transforma en centro motivador para nuestro trabajo cotidiano.

# ASTROMETRIA



CUARTO CATALOGO CIRCULO MERIDIANO SAN JUAN (FK4-SUR)

R.A. CARESTIA y W. CASTRO

Observatorio Astronómico Félix Aguilar (U.N.S.J.)  
Director J.A. LOPEZ

INTRODUCCION:

En el año 1961, se firmó un convenio entre la Universidad Nacional de Córdoba y la Universidad Nacional de Cuyo, para trasladar a la provincia de San Juan, el Círculo Meridiano Repsold Reversible, objetivo de 190 mm. de diámetro y 225 mm. de distancia focal, perteneciente al Observatorio de Córdoba para ser operado por el Observatorio Astronómico "Félix Aguilar", hoy dependiente de la Universidad Nacional de San Juan. El pabellón albergue fue inaugurado el 24 de octubre de 1961 y el traslado del instrumento se concretó en 1966. En enero de 1969 se comenzó a observar en forma regular usando dicho instrumento. A partir de esa fecha se observaron series de estrellas pertenecientes al Catálogo Fundamental FK4 (Series Kustner), las que a partir del 18 de junio del mismo año fueron alternadas con programas de observación para el Catálogo S.R.S. Las observaciones se extendieron hasta mediados de 1975 para las primeras y hasta el comienzo de 1974 para las segundas. Para estos trabajos se contó con un subsidio de la Academia de Ciencias de Estados Unidos de Norteamérica.

Las observaciones de series fundamentales (Kustner) dieron origen a nuestro Primer Catálogo Fundamental Círculo Meridiano San Juan (First San Juan Meridian Circle Fundamental Catalogue). Las observaciones de programas para el Catálogo S.R.S. dieron origen al Tercer Catálogo Círculo Meridiano San Juan S.R.S.

CUARTO CATALOGO

Usando las observaciones de estrellas del Catálogo FK4 que se tomaron como estrellas de referencia en los programas S.R.S., hemos confeccionado el "Cuarto Catálogo Fundamental Círculo Meridiano San Juan" (Fourth San Juan Meridian Circle Fundamental Catalogue) que aquí presentamos y que contiene 364 estrellas FK4 entre las declinaciones de  $-30^{\circ}$  a  $-90^{\circ}$ . Para 37 estrellas se dà aparte, los valores en ascensión recta obtenidos en culminación inferior. Un total de 19.589 observaciones individuales fueron hechas sobre estrellas FK4, de las cuales 13.764 correspondieron a estrellas de  $-30^{\circ}$  a  $-90^{\circ}$  de

declinación y 5.825 a estrellas ecuatoriales entre +16°.

Las observaciones para el Catálogo S.R.S. se hicieron en dos zonas de declinación ZONA I de -40° a -60° y ZONA II de -60° a -90°. En cada programa de observación (turno de aproximadamente cuatro horas de duración) se observaban por lo menos: 6 estrellas ecuatoriales, 2 estrellas polares en culminación superior y 2 en culminación inferior, 10 estrellas en la zona de observación +5°, todas del Catálogo FK4; el programa se completaba con estrellas del S.R.S. de la zona. Cada programa fue observado sin modificaciones por lo menos dos veces, una en cada posición del instrumento (Freno E Círculo A, Freno W Círculo B).

#### REDUCCION EN ASCENCION RECTA

Se usó la fórmula de Hansen

$$\alpha_0 = \theta + \Delta\theta + b \sec\theta + c \sec\delta + n(\tan\delta - \tan\theta)$$

La lectura del reloj  $\theta$  es el tiempo de paso por el "eje promedio de toma de tiempos" correspondiente al promedio de 20 tops tomados electromecánicamente en puntos fijos del campo, mediante el micrómetro impersonal movido por el sistema de "motor drive" construido por el U.S. Naval Observatory. Como reloj se usó un cuarzo marca Rohde & Schwarz tipo C.A.Q.A. de tiempo sidéreo y un Cronógrafo Integrator marca Hermann Wetzer K.G.

La corrección del reloj  $\Delta\theta$  fue determinada en base a las estrellas ecuatoriales FK4 del programa ( $\delta = +16^\circ$ ).

La inclinación  $b$  se determinó con el espejo nadiral de mercurio y la lectura correspondiente al eje sin colimación.

La colimación  $c$  se obtuvo como la diferencia de la lectura correspondiente al "eje sin colimación" determinada por inversión del instrumento sobre dos colimadores horizontales opuestos y el "eje promedio de toma de tiempos" determinado a ojo y oído;  $c$  incluye además el efecto de aberración diurna.

El coeficiente  $n$  se obtuvo como promedio de los valores calculados con estrellas FK4 polares tomadas en culminación superior y en culminación inferior combinadas individualmente con una estrella ecatorial FK4 promedio.

Los coeficientes  $b$  y  $c$  se determinaron al comienzo y fin de cada turno, usando para la reducción el promedio de ambas determinaciones. Para cada estrella FK4 de la zona se calculó:

$$\Delta\alpha = (O-C)_\alpha = \alpha_0 - \alpha_C$$

donde  $\alpha_C$  es la ascención recta aparente calculada por el procedimiento de Scott and Hughes a partir de las coordenadas medias y mo-

vimientos propios del Catálogo FK4.

#### REDUCCION EN DECLINACION

Al comienzo y fin de cada turno se determinó el punto cenital del correspondiente círculo, por medio del espejo nadiral de mercurio. Para instantes intermedios se interpoló linealmente entre comienzo y fin.

La distancia cenital a la estrella se obtuvo como diferencia entre la lectura correspondiente al punto cenital y la lectura a la estrella; se aportó corrección por run, trazos, flexión, curvatura y refracción calculada en base a la fórmula de Pulkovo en función de la presión atmosférica, tensión de vapor y temperatura a altura de objetivo tomada para cada estrella.

En base a una latitud media y a la distancia cenital medida se calculó una declinación preliminar. Con las estrellas FK4 de la zona se buscó una corrección a la latitud media para latitud instantánea, corrigiendo por este valor la declinación preliminar, se obtuvo la declinación observada  $\delta_o$ .

Finalmente se obtuvo para cada estrella FK4 de la zona la diferencia

$$\Delta\delta = (O-C)_{\delta} = \delta_o - \delta_c$$

donde  $\delta_c$  es la declinación aparente del Catálogo FK4 calculada en la forma indicada para  $\alpha_c$ .

#### CATALOGO

El Catálogo consigna para cada estrella FK4 de declinación entre  $-30^\circ$  a  $-90^\circ$  los valores  $(O-C)$  RA y  $(O-C)$  D obtenidos como promedio general de los correspondientes  $(O-C)$   $\alpha$  y  $(O-C)$   $\delta$  de todos los pasajes observados en ambas posiciones del instrumento (Freno E, Círculo A; Freno W, Círculo B) a los cuales previamente se ha aportado la correspondiente corrección por freno en función de la declinación:  $1/2\Delta(E-W)$  consignados en Tabla I. Los errores medios cuadráticos consignados en el catálogo para  $(O-C)$  RA y  $(O-C)$  D en las columnas ME es el obtenido con las diferencias y entre el promedio general y cada uno de los valores individuales corregidos por freno y el número total de observaciones N:

$$ME\alpha = \sqrt{\frac{VV}{N(N-1)}} \cos \delta \quad ME\delta = \sqrt{\frac{VV}{N(N-1)}}$$

El error medio cuadrático promedio del Catálogo para una simple observación resultó:

$$\begin{aligned}\epsilon \alpha \cos \delta &= 0.^s023 \\ \epsilon \delta &= 0.^{\circ}33\end{aligned}$$

Teniendo en cuenta que las estrellas del catálogo tienen en promedio 36 observaciones individuales y considerando el procedimiento observational y forma de reducción adoptada; el Catálogo puede considerarse como "cuasi Fundamental" y los valores (O-C) como:

#### INSTRUMENTO - FK4

ésto es, como corrección al FK4 en el sistema instrumental.

Los gráficos 3 y 4 muestran las curvas  $\Delta \alpha \cos \delta$  y  $\Delta \delta$  de nuestro Primer Catálogo Fundamental en comparación con las del presente catálogo. Aunque ambos catálogos fueron hechos con observaciones totalmente independientes y siguiendo procedimientos observacionales y de reducción distintos notamos una gran coincidencia, siendo la diferencia promedio entre ambos de 0 $^s$ 001 en ascención recta y 0 $.^{\circ}$ 01 en declinación para las mismas estrellas.

Por ésto, y aún cuando no se han aportado correcciones especiales al efecto, consideramos que ambos catálogos fundamentales están en el mismo sistema y son por lo tanto directamente comparables.

Los gráficos 1 y 2 muestran las curvas  $\Delta \alpha_{\delta}$  y  $\Delta \delta_{\delta}$  obtenidas para cada freno y para cada círculo graduado. En base a éstas se obtuvieron los valores consignados en la Tabla I para la corrección por freno y círculo.

#### COMPUTACION

La programación FORTRAN de la reducción preliminar de los resultados fue realizada por el Ing. Aldo Zaragoza quien trabajó en la elaboración de los programas de computación, utilizando la computadora IBM 1130 del Centro de Cómputos de la Universidad Nacional de San Juan, hasta su fallecimiento acaecido el 30 de octubre de 1979. Posteriormente los trabajos de computación se continuaron bajo la inestimable colaboración prestada por la Ing. Carla Bruschi de Cardinali del Centro de Cómputos de la Universidad Nacional de San Juan, con la computadora 370/30.

#### EQUIPO DE OBSERVACION

Las personas que en algún momento compusieron el equipo de observación son las siguientes:

R.A. Carestia, J.L. Lobardo, C.A. Lizana, E. Carrizo, M. Gallego, W.L. Castro, D.W. López, G.G. Gutiérrez, D.H. Garay, A. Cruz García, R.E. Orrego, R. Lucero, C. Martínez, R. Jakowczyk y M.A. Montoya.

Corrección por freno

1/2 Δ (E-W)

Culminación Superior			Culminación Inferior		
δ	en A.R.	en Decl.	δ	en A.R.	en Decl.
-27.5	-.019	+.05	-72.5	+.021	--
-32.5	-.018	+.05	-77.5	+.021	--
-37.5	-.011	+.07	-82.5	+.012	--
-42.5	-.012	+.03	-87.5	-.001	--
-47.5	-.011	-.10	-92.5	.000	--
-52.5	-.003	+.07			
-57.5	+.006	-.03			
-62.5	+.003	-.06			
-67.5	-.004	-.04			
-72.5	-.010	-.02			
-77.5	-.005	+.01	(O-C) = (O-C) <sub>E</sub> <sup>W</sup> + 1/2 Δ (E-W)		
-82.5	+.016	+.05			
-87.5	+.005	+.08			
-92.5	+.005	+.09			

Tabla I

EXPLICACION

Columna	Denominación	Significado
1	FK4 NUMBER	Número de estrella Catálogo FK4 + 30.000
2	ORIGINAL R.A.1950.0	Ascención recta media 1950.0 del catálogo FK4 en horas, minutos y segundos.
3	ORIGINAL DEC.1950.0	Declinación media 1950.0 del catálogo FK4 en grados, minutos y segundos.
4	P.M. (R.A.) 1950.0	Movimiento propio secular 1950.0 del catálogo FK4 en ascención recta en segundos de tiempo.
5	P.M. (D) 1950.0	Movimiento propio secular 1950.0 del catálogo FK4 en segundos de arco.
6	(O-C) R.A.	Corrección a la ascención recta del catálogo FK4 en segundos de tiempo para la época media de observación.
7	ME .001	Error medio cuadrático reducido al Ecuador.
8	N	Número de observaciones en ascención recta.
9	EPOCH 1900+	Epoch media de las observaciones en ascención recta.
10	(O-C) D	Corrección a la declinación del catálogo FK4 en segundos de arco para la época media de observación.
11	ME .01	Error medio cuadrático.
12	N	Número de observaciones en declinación.
13	EPOCH 1900+	Epoch media de las observaciones en declinación.

EXPLANATION

Column	Denomination	Meaning
1	FK4 NUMBER	Star number as given by FK4 Catalogue + 30.000.
2	ORIGINAL R.A.1950.0	Mean right ascension 1950.0 FK4 Catalogue in hours, minutes and seconds.
3	ORIGINAL DEC.1950.0	Mean declination 1950.0 FK4 Catalogue in <u>de</u> gree, minutes and seconds.
4	PM(R.A.)	Centennial proper motion in right ascension 1950.0 FK4 Catalogue in seconds of time.
5	PM(D)	Centennial proper motion in declination 1950.0 in seconds of arc.
6	(O-C) R.A.	Correction in right ascension to the FK4 Ca- talogue in seconds of time, at mean epoch <u>ob</u> servation.
7	ME .001	Mean square error reduced to Equator.
8	N	Number of right ascension observations.
9	EPOCH 1900+	Mean epoch of the right ascension observa- tions.
10	(O-C) D	Correction in declination to the FK4 Cata- logue in seconds of arc, at mean epoch ob- servation.
11	ME .01	Mean square error.
12	N	Number of declinations observations.
13	EPOCH 1900+	Mean epoch of declinations observations.



## TABLE III SAN JUAN MERIDIAN LINES FUNDAMENTAL ELEMENTS (UPPER COMBINATION)

No. Number	ORIGINAL RA. ISOC.	ORIGINAL DEC. ISOC.	EQUATORIAL			FUNDAMENTAL			DIFFERENT			UPPER COMBINATION		
			EQUATORIAL RA. ISOC.	EQUATORIAL DEC. ISOC.	EQUATORIAL RA. ISOC.	FUNDAMENTAL RA. ISOC.	FUNDAMENTAL DEC. ISOC.	FUNDAMENTAL RA. ISOC.	EQUATORIAL RA. ISOC.	EQUATORIAL DEC. ISOC.	EQUATORIAL RA. ISOC.	EQUATORIAL RA. ISOC.	EQUATORIAL DEC. ISOC.	EQUATORIAL RA. ISOC.
30157	4 14 42.887	-51 26 44.55	1 12.6	16.93	-9.09	-0.103	14	10.47	-C.15	2	14	IC.47		
30158	4 21 20.562	-52 20 17.65	1 32.0	17.43	-0.069	4	22	11.41	C.46	5	30	11.76		
30159	4 21 1e.205	-52 15 52.72	C.63.1	0.42	-0.044	2	64	11.42	C.46	5	46	11.56		
30160	4 21 10.111	-49 35 26.55	0.027	-0.013	5	17	10.54	-C.47	5	14	10.56	IC.06		
30161	4 23 30.315	-30 35 45.51	-C.316	-1.23	-0.074	0	1	15.52	-C.35	C	1	65.52		
30162	4 32 54.758	-55 6 51.71	0.613	0.06	-0.054	3	61	11.74	-C.41	4	61	11.72		
30163	4 42 23.295	-41 1 22.62	C.29.6	3.35	-0.123	4	45	11.44	C.45	6	25	11.44		
30164	5 2 40.155	-45 36 41.46	0.645	-0.10	0.028	11	2	65.66	C.16	6	2	65.66		
30165	5 4 39.621	-57 32 25.76	-0.431	11.56	-0.019	4	21	10.67	C.14	6	20	10.52		
30166	5 13 47.356	-67 14 25.96	0.250	3.41	0.024	3	36	11.70	C.05	6	27	11.64		
30167	5 15 40.760	-34 56 35.66	0.676	-33.66	0.014	4	21	11.53	C.30	6	21	11.53		
30168	5 18 8.266	-50 39 32.37	0.171	22.79	0.019	5	27	11.55	-C.06	5	27	11.55		
30214	5 33 11.321	-62 31 26.20	C.025	0.71	-0.052	3	35	10.75	C.24	7	25	10.72		
30215	5 33 51.215	-76 22 46.31	3.181	28.54	-0.125	3	25	11.72	-C.10	6	25	11.72		
30216	5 37 50.621	-34 5 56.73	0.015	-2.73	-0.012	11	4	10.67	C.05	13	4	10.67		
30222	5 49 11.727	-35 47 5.73	0.406	40.23	0.013	10	5	65.63	C.31	17	2	65.63		
30225	5 57 36.665	-42 45 1.35	0.144	-1.28	-0.006	5	30	11.91	C.21	6	30	11.91		
30231	6 3 1.985	-45 2 7.77	-0.858	24.41	0.017	4	36	12.34	-C.10	6	35	12.32		
30232	6 5 19.463	-54 57 24.25	-0.095	0.77	-0.002	4	34	12.02	C.06	6	30	12.05		
30234	6 14 46.276	-35 7 22.03	-C.111	8.38	0.051	5	28	12.31	C.14	5	26	12.24		
30235	6 14 43.575	-14 44 12.46	3.105	-21.12	-0.025	6	17	12.14	-C.17	12	15	12.14		
30240	6 16 22.546	-30 2 23.06	0.041	0.35	-0.003	12	4	12.05	C.C	32	2	12.05		
30245	6 22 50.453	-52 40 3.45	6.290	2.22	-0.072	5	35	11.62	C.14	6	33	11.71		
30254	6 36 12.756	-43 5 4.05	-0.04	-0.52	0.017	5	25	11.76	-C.16	6	23	11.76		
30261	6 47 40.725	-61 53 14.36	-1.006	26.28	-0.047	3	46	11.42	-C.05	6	43	11.42		
30262	6 48 41.663	-50 33 15.45	0.335	-7.41	0.006	4	26	11.68	C.42	6	26	11.68		
30264	6 44 14.526	-80 45 46.15	-0.741	5.66	-0.017	2	66	11.16	-C.26	6	33	11.21		
30267	6 52 1.666	-70 54 5.41	0.031	1.84	-0.005	4	25	11.14	C.30	5	28	11.15		
30274	7 3 22.412	-56 40 23.73	0.020	-0.21	-0.013	4	34	11.77	-C.03	5	35	11.81		
30275	7 11 6.037	-46 40 25.97	-1.364	9.98	0.015	4	25	11.36	C.C1	7	25	11.32		
30276	7 15 22.550	-37 C 23.90	-0.103	0.35	-0.011	4	32	12.04	-C.25	7	31	12.08		
30281	7 16 51.655	-67 51 56.71	-0.105	-0.38	4	44	11.91	C.41	6	35	11.92			
30282	7 25 31.016	-34 51 17.52	-0.226	1.33	0.015	5	21	11.94	C.31	7	22	11.94		
30297	7 42 26.585	-72 29 16.65	0.677	1.62	-0.018	5	55	12.51	-C.04	6	28	11.93		
30303	7 55 30.446	-52 50 5.75	-0.368	2.50	-0.002	4	24	12.24	-C.46	6	32	12.24		
30304	8 1 49.552	-35 51 4.83	-0.465	1.09	-0.017	4	37	11.85	C.06	5	36	11.83		
30305	8 7 59.465	-47 11 18.31	-0.057	0.35	-0.020	4	48	12.22	-C.42	4	46	12.22		
30313	8 16 40.540	-36 30 12.25	-C.931	9.29	0.001	8	14	11.47	C.15	10	12	11.47		
30314	8 21 25.362	-59 20 5.96	-0.326	1.51	-0.041	4	42	11.66	-C.33	5	44	11.70		
30315	8 22 10.641	-77 15 26.06	-3.915	3.62	-0.086	3	36	11.62	C.C	6	35	11.74		

## FOUCHE SAN JUAN PERUVIAN LIGHT FUNDAMENTAL CATALOGUE (UPPER LUMINATION)

FK4 Number	C.R.G.H.A.L. RA. J.S.C.	UNIVERSAL ECLIPSE	E.P.R.A.J.	F.P.(U) L.S.D.J.C.	(L-C) R.I.	P.E. .J.J.I	A	E.P.C.L. L.S.C.U.	(C-C).L	P.E. .C.I	N	E.P.L.H. L.S.U+
									C	S	E	N
30314	6 42 11.525	-65 27 11.66	-6.515	-16.12	-0.041	5	30	70.76	6.64	6	4.5	70.75
30324	6 22 12.665	-42 47 17.95	-0.113	0.+5	0.010	2	11	71.14	-6.64	4.4	3	71.14
30331	6 43 14.655	-48 46 57.76	-0.175	6.11	-0.195	2	65	71.06	6.12	5	32	71.05
30334	6 53 14.521	-46 27 11.65	-0.317	3.08	-0.024	3	65	71.17	6.04	4	4.4	71.15
30342	5 42 15.711	-46 53 52.51	-6.497	-1.01	-0.016	9	4	72.30	6.46	17	4	73.30
30343	5 1 15.756	-46 11 46.16	0.074	-10.17	-0.116	5	15	72.47	6.05	9	15	72.47
30345	5 6 15.210	-43 13 47.66	-0.198	1.22	-0.025	4	20	72.66	-6.14	7	22	72.65
30346	5 12 15.662	-45 12 25.63	-2.082	10.23	-0.139	4	35	71.75	6.03	6	38	71.76
30351	5 15 15.105	-55 3 53.70	-0.246	0.45	-0.039	3	72	71.62	6.06	4	41	71.61
30352	5 23 15.653	-54 47 47.50	-0.094	0.82	-0.044	2	94	72.05	-6.17	3	91	72.04
30354	5 27 15.760	-35 43 54.53	-0.205	-0.71	0.003	7	22	72.04	6.34	6	22	72.04
30361	5 29 14.671	-56 46 47.60	-0.415	-0.57	-0.015	4	42	71.84	6.38	6	42	71.85
30362	5 31 14.672	-72 51 32.55	-0.434	-0.73	-0.104	5	23	71.72	6.30	7	20	71.75
30371	5 55 16.245	-54 15 44.66	-0.135	0.46	-0.017	3	55	72.62	-6.48	4	56	72.00
30374	5 56 13.347	-35 35 20.66	-0.806	-2.41	0.028	5	11	71.17	6.05	6	11	71.17
30382	10 12 17.556	-41 52 25.23	-1.345	3.84	0.010	9	12	71.11	-6.15	8	16	72.00
30385	10 12 13.047	-69 41 21.35	-0.625	0.29	-0.077	4	34	71.52	6.08	6	32	71.56
30391	10 23 24.484	-43 46 36.66	-0.438	-3.14	-0.030	5	25	72.02	6.10	6	26	71.97
30393	10 26 24.326	-58 25 1.15	-0.175	-0.26	-0.042	5	27	71.62	6.16	5	27	71.62
30397	10 30 14.687	-61 25 35.66	-0.280	0.57	-0.022	4	31	71.64	6.03	7	31	71.84
30401	10 34 13.647	-78 20 53.72	-1.296	1.60	-0.020	2	54	72.04	-6.40	6	30	71.70
30402	10 37 18.653	-55 20 32.70	-0.267	-0.06	0.002	4	36	70.88	6.12	5	37	70.87
30406	10 41 10.052	-64 1 55.36	-0.323	0.78	-0.016	3	31	71.35	6.02	6	31	71.39
30411	10 45 20.164	-80 16 34.91	-2.106	0.40	0.120	2	28	71.57	6.10	6	17	72.13
30414	10 54 22.576	-26 52 6.50	6.635	-13.28	-0.003	9	7	71.57	6.04	15	6	71.62
30415	10 57 21.272	-41 51 26.45	6.190	-0.22	-0.009	8	11	72.20	6.12	14	11	72.20
30426	11 18 43.151	-54 13 24.21	-0.345	-0.64	-0.065	5	23	71.46	-6.14	5	34	71.49
30434	11 30 32.264	-31 34 56.06	-1.624	-4.21	-0.027	10	24	73.43	6.05	11	2	73.43
30435	11 33 25.685	-47 21 51.21	0.302	-5.36	0.015	5	27	72.08	6.05	6	27	72.11
30436	11 33 27.627	-42 44 34.66	-0.565	-0.81	-0.014	4	22	71.22	-6.15	6	20	71.26
30437	11 35 10.915	-75 37 16.26	-3.542	-0.10	0.002	3	24	71.76	-6.46	8	22	71.81
30439	11 37 13.436	-34 26 20.58	-0.364	-0.28	0.003	5	19	71.28	6.06	8	16	71.28
30441	11 43 14.023	-66 27 5.06	-1.611	3.28	-0.063	4	31	71.75	-6.12	6	31	71.75
30442	11 44 14.566	-60 54 1.03	-0.510	-2.06	0.007	4	32	71.15	6.05	6	34	71.22
30444	11 48 28.262	-44 53 42.52	-0.769	-1.81	0.037	6	21	72.30	6.14	7	21	72.30
30445	12 1 3.711	-42 5 14.82	2.933	-12.18	0.014	4	27	71.68	6.21	6	27	71.68
30452	12 5 45.446	-50 26 36.33	-0.343	-1.24	-0.021	4	35	71.61	6.05	6	35	71.61
30454	12 12 28.660	-56 28 14.60	-0.494	-1.01	-0.029	3	26	70.54	-6.44	6	28	71.01
30455	12 15 22.132	-75 2 4.63	-1.523	-1.46	-0.006	3	25	71.92	-6.12	6	31	71.71
30462	12 23 48.664	-62 45 15.42	-0.363	-1.66	-0.105	5	15	71.75	-6.23	8	15	71.75

PUERTO SAN JUAN PERUVIAN CIRCLE RUMAMBI ALTAIR ALTAIR (UPPER CULMINATION)

H.K. Nº M.º M.º	ORIGINAL RA. + DEC.	ORIGINAL DEC. + S.D.	EQUATORIAL														
			EQUATORIAL RA. + DEC.	EQUATORIAL DEC. + S.D.	EQUATORIAL DEC. + S.D.	EQUATORIAL RA. + DEC.	EQUATORIAL DEC. + S.D.	EQUATORIAL DEC. + S.D.	EQUATORIAL RA. + DEC.	EQUATORIAL DEC. + S.D.	EQUATORIAL DEC. + S.D.	EQUATORIAL RA. + DEC.	EQUATORIAL DEC. + S.D.	EQUATORIAL DEC. + S.D.	EQUATORIAL RA. + DEC.	EQUATORIAL DEC. + S.D.	EQUATORIAL DEC. + S.D.
30464	12 25 15.542	-45 51 44.15	-6.290	-74.25	-7.0.000	5	46	71.42	6.0.42	6.0.42	6.0.42	5	71.63	6	71.63	6	71.63
30465	12 26 44.721	-45 51 45.03	6.346	-26.73	-3.0.550	3	46	71.46	6.0.45	6.0.45	6.0.45	4	71.47	4	71.47	4	71.47
30466	12 25 27.155	-45 51 45.17	-1.0.024	-6.0.32	-0.110	2	47	72.36	6.0.46	6.0.46	6.0.46	7	72.45	7	72.45	7	72.45
30467	12 24 40.052	-45 51 30.03	-6.743	-1.0.55	-0.0.79	3	45	71.57	-6.0.40	-6.0.40	-6.0.40	5	71.57	5	71.57	5	71.57
30468	12 24 47.0.071	-45 51 26.02	-0.504	-1.0.55	-0.0.89	4	45	72.00	-6.0.42	-6.0.42	-6.0.42	5	72.00	5	72.00	5	72.00
30469	12 25 39.510	-45 51 26.31	6.353	-2.0.55	-0.0.06	6	46	72.36	6.0.44	6.0.44	6.0.44	13	73.36	6	73.36	6	73.36
30470	12 26 47.573	-45 51 10.47	5.001	-3.0.16	-0.131	3	26	72.45	6.0.45	6.0.45	6.0.45	6	72.55	6	72.55	6	72.55
30471	12 25 52.753	-45 51 56.65	-6.296	-1.0.23	-0.0.03	6	46	71.60	-6.0.44	-6.0.44	-6.0.44	7	71.60	7	71.60	7	71.60
30472	12 24 45.586	-45 51 46.75	-0.581	-1.0.07	-0.0.73	3	46	71.51	6.0.33	6.0.33	6.0.33	5	71.51	4	71.51	4	71.51
30473	12 26 56.653	-45 51 26.67	-2.817	-0.0.68	-0.0.08	4	35	71.46	-6.0.31	-6.0.31	-6.0.31	7	71.50	3	71.50	3	71.50
30474	12 27 46.653	-45 51 26.67	-2.817	-0.0.68	-0.0.08	4	35	71.46	-6.0.31	-6.0.31	-6.0.31	7	71.50	3	71.50	3	71.50
30475	12 30 51.564	-45 51 32.32	-0.436	-1.0.45	-0.106	9	5	72.55	6.0.46	6.0.46	6.0.46	17	72.55	5	72.55	5	72.55
30476	12 30 42.222	-45 51 46.33	-0.246	-1.0.74	-0.0.55	6	46	72.00	6.0.46	6.0.46	6.0.46	16	71.72	5	71.72	5	71.72
30477	12 30 35.656	-45 51 31.04	-0.195	-2.0.64	-0.0.12	3	41	71.62	6.0.46	6.0.46	6.0.46	4	71.63	4	71.63	4	71.63
30478	12 30 24.510	-45 51 34.07	-0.504	-0.0.59	-0.0.01	3	53	71.58	-6.0.40	-6.0.40	-6.0.40	53	72.00	4	72.00	4	72.00
30479	12 30 34.556	-45 51 33.16	-6.506	-3.0.24	-0.0.92	3	64	71.23	6.0.41	6.0.41	6.0.41	6	71.23	6	71.23	6	71.23
30480	12 30 16.515	-45 51 56.05	-0.274	-2.0.34	-0.0.79	4	23	70.61	-6.0.41	-6.0.41	-6.0.41	8	70.61	23	70.61	23	70.61
30481	12 30 42.677	-45 51 25.65	-4.287	-5.0.27	-0.0.05	5	36	71.50	6.0.46	6.0.46	6.0.46	5	71.50	35	71.50	35	71.50
30482	12 30 48.524	-45 51 26.52	-0.106	-1.0.80	-0.0.06	3	35	72.15	6.0.44	6.0.44	6.0.44	5	72.15	5	72.15	5	72.15
30483	12 30 55.571	-45 51 53.73	-0.194	-1.0.34	-0.0.28	5	15	72.00	6.0.35	6.0.35	6.0.35	15	72.00	5	72.00	5	72.00
30484	12 32 15.306	-45 51 21.77	-0.320	-3.0.54	-0.0.17	6	24	71.02	-6.0.38	-6.0.38	-6.0.38	23	71.01	5	71.01	5	71.01
30485	12 38 26.261	-45 32.31	-2.914	-23.77	-0.0.45	2	86	71.57	6.0.46	6.0.46	6.0.46	4	71.62	4	71.62	4	71.62
30486	12 38 35.530	-45 29.32	-0.175	-1.0.98	-0.0.30	3	45	72.30	-6.0.31	-6.0.31	-6.0.31	5	72.30	4	72.30	4	72.30
30487	12 41 32.953	-45 50.53	-1.0.63	-0.0.66	-0.0.54	2	115	71.87	6.0.46	6.0.46	6.0.46	4	71.87	3	71.87	3	71.87
30488	12 40 35.437	-45 57.34.57	-0.545	-18.67	-0.0.22	8	2	71.44	6.0.44	6.0.44	6.0.44	26	71.44	3	71.44	3	71.44
30489	12 43 36.576	-45 52.10.85	-0.186	-8.80	-0.0.12	3	14	70.43	6.0.44	6.0.44	6.0.44	5	70.43	13	70.43	13	70.43
30490	12 45 14.767	-45 56.2.06	-0.344	-4.29	-0.0.16	4	45	71.69	6.0.44	6.0.44	6.0.44	5	71.69	44	71.69	44	71.69
30491	12 45 53.510	-45 54.17.66	-0.167	-2.72	-0.0.08	8	6	71.65	-6.0.31	-6.0.31	-6.0.31	11	71.65	6	71.65	6	71.65
30492	12 46 40.156	-45 54.37.66	-1.161	-6.96	-0.0.33	4	34	71.55	-6.0.38	-6.0.38	-6.0.38	6	71.52	33	71.52	33	71.52
30493	12 46 12.566	-45 25.48.82	-1.100	-3.13	-0.0.64	3	36	71.75	-6.0.38	-6.0.38	-6.0.38	8	71.73	26	71.73	26	71.73
30494	12 46 34.861	-45 36.58.46	-1.215	-13.96	-0.0.47	3	70	71.62	-6.0.38	-6.0.38	-6.0.38	4	71.84	70	71.84	70	71.84
30495	12 16 37.512	-36 4 53.15	-6.748	-8.72	-0.0.32	19	5	71.42	-6.0.38	-6.0.38	-6.0.38	4	71.65	4	71.65	4	71.65
30496	15 26 1.065	-73 13 7.26	0.078	-1.0.89	-0.0.65	3	56	71.76	6.0.46	6.0.46	6.0.46	57	71.76	4	71.76	4	71.76
30497	15 32 7.105	-66 5 4.06	0.479	-6.52	-0.0.67	8	15	72.56	6.0.46	6.0.46	6.0.46	6	72.56	14	72.56	14	72.56
30498	15 47 46.466	-23 22.56	-0.572	-2.0.22	-0.0.29	11	1	71.11	-6.0.45	-6.0.45	-6.0.45	13	71.11	7	71.11	7	71.11
30499	15 50 42.580	-63 16 42.56	-2.778	-39.62	-0.0.33	2	95	71.64	-6.0.45	-6.0.45	-6.0.45	4	71.64	54	71.64	54	71.64
30500	16 2 56.063	-45 2 21.75	0.020	2.0.7	-0.0.06	4	46	71.66	6.0.45	6.0.45	6.0.45	45	71.66	4	71.66	4	71.66
30501	16 3 16.106	-36 4C 4.52	-0.159	-3.0.34	-0.0.04	23	2	73.32	6.0.43	6.0.43	6.0.43	21	73.32	2	73.32	2	73.32
30502	16 5 31.353	-54 3C 11.6C	0.023	-2.71	-0.0.26	3	84	71.53	6.0.43	6.0.43	6.0.43	4	71.53	4	71.53	4	71.53
30503	16 10 52.116	-63 23 37.11	0.146	-1.42	-0.0.61	3	54	72.19	-6.0.45	-6.0.45	-6.0.45	51	72.19	5	72.19	5	72.19
30504	16 16 5.341	-50 2 5.66	-1.624	-5.45	-0.0.26	11	5	70.36	-6.0.45	-6.0.45	-6.0.45	5	70.36	5	70.36	5	70.36

## TABLE OF SINES AND COSINES FOR THE FUNDAMENTAL CIRCLE (UPPER CULMINATION)

Number of Knots	CIRCUMFERENTIAL SINES.		CIRCUMFERENTIAL COSINES.		FUNDAMENTAL SINES.		FUNDAMENTAL COSINES.		FUNDAMENTAL SINES.		FUNDAMENTAL COSINES.		FUNDAMENTAL SINES.		FUNDAMENTAL COSINES.		
	1500. 0	1500. 0	1500. 0	1500. 0	1500. 0	1500. 0	1500. 0	1500. 0	1500. 0	1500. 0	1500. 0	1500. 0	1500. 0	1500. 0	1500. 0	1500. 0	
30610	1e 22	-2.086	-0.65	0.65	0.65	0.65	0.65	0.65	0.65	0.65	0.65	0.65	0.65	0.65	0.65	0.65	
30611	1e 25	4.60	1.62	-1d 47	2.63	-1d 47	2.63	-0.67	-0.67	-0.67	-0.67	-0.67	-0.67	-0.67	-0.67	-0.67	
30621	1e 46	21.059	-cc 56	1.50	0.52	0.52	0.52	-0.55	-0.55	-0.55	-0.55	-0.55	-0.55	-0.55	-0.55	-0.55	
30622	1e 46	52.267	-1d 12	1.50	0.56	-4.91	0.6	-25.46	-25.46	-0.23	1	1	1	1	1	1	
30623	1e 54	28.442	-1d 54	4.60	0.62	-c.15	1	-3.52	-3.52	-0.50	5	1	1	1	1	1	
30624	1e 55	35.462	-1d 53	5	0.67	0.38	0.38	1.52	1.52	-0.27	4	4	4	4	4	4	
30630	1e 6	34.015	-1d 43	1.6	0.21	-28.46	0.21	-0.66	-0.66	-0.02	4	4	4	4	4	4	
30631	1e 16	30.472	-1d 10	4	26.01	0.080	-1.48	-1.48	-0.06	3	3	3	3	3	3	3	
30642	1e 21	6.264	-1d 45	2.5	6.11	-0.012	-2.43	-0.047	-0.047	3	3	3	3	3	3	3	
30643	1e 26	34.732	-1d 41	3.6	4.60	-0.651	-9.36	-0.093	-0.093	4	31	31	31	31	31	31	
30651	1e 27	58.353	-45	50	19.61	-6.25	-7.11	-0.036	-0.036	8	15	16.55	16.55	16.55	16.55	16.55	
30652	1e 30	12.626	-37	4	5.63	0.013	-2.68	0.008	0.008	4	24	21.00	21.00	21.00	21.00	21.00	
30654	1e 32	42.372	-42	58	5.15	0.147	0.05	0.003	0.003	6	24	21.22	21.22	21.22	21.22	21.22	
30660	1e 39	1.548	-35	C	22.76	-c.05	-0.68	0.027	0.027	6	20	21.63	21.63	21.63	21.63	21.63	
30661	1e 40	45.242	-64	42	5.81	-0.05	0.52	-5.20	-5.20	-0.078	5	34	21.30	21.30	21.30	21.30	21.30
30662	1e 40	10.270	-51	48	35.06	-0.13	-19.33	-0.008	-0.008	4	24	21.45	21.45	21.45	21.45	21.45	
30664	1e 44	5.100	-40	6	34.95	0.00	-0.64	0.002	0.002	5	28	21.62	21.62	21.62	21.62	21.62	
30665	1e 46	27.172	-37	1	4.62	0.45	3.8	-0.024	-0.024	12	7	21.17	21.17	21.17	21.17	21.17	
30676	1e 4	16.036	-75	53	46.32	0.34	-29.35	-0.035	-0.035	3	64	22.22	22.22	22.22	22.22	22.22	
30682	1e 14	14.572	-30	46	43.45	-1.00	8	-16.04	-16.04	-0.011	8	11	21.67	21.67	21.67	21.67	21.67
30686	1e 18	37.191	-61	31	5.62	0.04	8	-0.39	-0.39	-0.013	3	7e	21.66	21.66	21.66	21.66	21.66
30689	1e 20	51.168	-24	24	36.94	-0.26	0.20	-12.54	-12.54	-0.016	8	5	20.41	20.41	20.41	20.41	20.41
30691	1e 23	15.574	-45	55	53.12	-c.13	-4.63	-0.07	-0.07	4	52	21.63	21.63	21.63	21.63	21.63	
30697	1e 29	55.560	-42	21	2.24	0.27	-2.06	-0.11	-0.11	17	45	21.76	21.76	21.76	21.76	21.76	
30704	1e 37	12.257	-71	28	4.61	0.15	-15.76	-0.142	-0.142	10	5	24.41	24.41	24.41	24.41	24.41	
30706	1e 47	35.414	-62	14	51.43	0.004	-1.76	-0.029	-0.029	3	92	21.81	21.81	21.81	21.81	21.81	
30716	1e 6	4.345	-37	59	3.45	0.70	-9.06	-0.004	-0.004	11	7	21.04	21.04	21.04	21.04	21.04	
30724	1e 20	25.452	-40	42	43.10	0.26	-12.07	0.032	0.032	10	14	21.54	21.54	21.54	21.54	21.54	
30735	1e 31	30.714	-46	12	32.55	-0.13	4	-3.61	-3.61	-0.009	6	25	21.34	21.34	21.34	21.34	21.34
30739	1e 43	56.776	-56	25	5.84	1.12	-13.54	-0.049	-0.049	2	92	21.86	21.86	21.86	21.86	21.86	
30746	1e 54	50.758	-73	2	43.83	1.88	-13.14	-0.071	-0.071	4	42	21.45	21.45	21.45	21.45	21.45	
30751	1e 56	55.132	-35	24	47.51	0.06	-2.44	-0.039	-0.039	4	26	21.82	21.82	21.82	21.82	21.82	
30754	20	3	50.450	-66	16	43.41	19.88	-14.05	0.0	3	52	21.57	21.57	21.57	21.57	21.57	
30755	20	3	23.665	-63	1	33.24	-c.08	1.03	-0.037	6	22	21.32	21.32	21.32	21.32	21.32	
30763	20	19	4.166	-42	12	31.55	0.31	-9.05	-0.010	-0.010	4	22	22.02	22.02	22.02	22.02	22.02
30764	20	21	42.269	-56	53	50.02	0.186	-8.50	-0.082	-0.082	3	56	21.76	21.76	21.76	21.76	21.76
30765	20	34	3.525	-47	26	2.93	0.546	6.95	-0.064	-0.064	12	7	22.17	22.17	22.17	22.17	22.17
30775	20	40	28.662	-66	23	5.42	-0.612	1.65	-0.044	-0.044	4	26	21.13	21.13	21.13	21.13	21.13
30776	20	40	22.652	-52	6	4.55	1.751	-5.46	-0.033	-0.033	6	15	20.41	20.41	20.41	20.41	20.41

PROYECTO SAN JUAN NEPHILIANA CLASE FUNDAMENTAL ESTADÍSTICA (UPPER CLASSIFICATION)

NO. NÚM. EK4	CLASIFICACIÓN RANKING	UNIFORME DECIMAL	FP (RAI) 1550.0	FP (RAI) 1550.0	(L-C)H -0.001	(L-C)H -0.001	N -0.001	EPCH 1550.0	N -0.001	EPCH 1550.0	
30704	20 30 50.080	-58 38 46.40	0.31 4	-2.2 1	-0.07 0	4	54	71.05	C.07	5	47
30707	20 30 44.041	-17 15 4.15	0.47 5	-36.3 5	-0.05 6	5	16	71.04	-C.34	5	15
30708	20 30 46.018	-30 45 41.15	-0.24 5	-11.3 5	0.00 7	7	4	71.04	C.02	11	4
30709	21 12 12.022	-13 27 17.15	C.51 3	-1.3 4	0.05 4	4	35	71.04	C.04	6	33
30710	21 17 34.154	-41 1 15.55	0.60 1	-0.2 5	0.00 5	5	37	71.04	C.07	5	36
30712	21 42 20.184	-45 35 35.77	1.54 1	79.5 5	-0.11 8	4	28	71.04	C.02	6	27
30810	21 35 55.866	-17 36 56.24	1.70 1	-23.9 3	-0.17 0	3	46	71.04	-C.08	6	44
30812	21 41 58.427	-33 15 17.86	0.26 5	-9.0 1	0.00 7	11	5	69.66	C.42	13	5
30820	21 46 25.922	-65 51 48.68	-C.41 5	-0.3 7	-0.08 6	4	46	71.03	C.30	6	36
30824	24 50 14.450	-37 36 3.25	0.87 1	-1.6 5	-0.00 6	5	25	71.03	-C.08	5	22
30824	21 54 31.762	-55 13 53.62	0.63 5	-0.3 3	-0.05 7	3	76	71.03	C.05	3	77
30825	21 59 33.052	-56 55 33.05	48.21 8	-255.5 4	-0.00 2	3	83	71.03	C.18	4	75
30825	22 5 5.486	-47 12 14.54	1.28 1	-14.8 7	-0.02 6	7	17	71.03	C.47	6	16
30832	24 5 26.264	-33 14 6.26	0.61 4	-3.2 5	-0.02 2	15	4	70.12	C.51	18	3
30835	22 14 32.566	-80 41 24.35	1.98 6	-3.9 3	-0.07 6	2	108	71.03	-C.15	5	44
30841	22 19 5.650	-60 30 35.03	-0.79 5	-3.6 7	-0.11 6	6	5	70.94	C.01	11	9
30841	22 25 43.747	-35 43 7.96	0.31 2	-16.3 5	0.01 4	8	16	70.94	C.31	16	16
30844	22 26 17.342	-43 45 6.41	0.26 4	-0.2 4	-0.02 7	12	5	72.91	C.15	15	3
30856	22 39 41.444	-47 6 48.26	1.35 2	-0.6 6	-0.01 9	4	21	71.01	C.02	6	21
30860	22 45 32.767	-51 34 46.24	1.17 0	-6.3 7	-0.00 2	14	2	70.94	-C.22	4	3
30865	22 51 12.632	-70 20 29.10	-C.76 8	7.3 1	-0.09 1	3	57	71.04	C.35	4	51
30865	22 57 56.340	-53 1 21.83	-0.69 2	-0.7 6	-0.05 4	6	17	71.04	C.02	8	16
30876	22 13 58.250	-62 16 26.86	2.52 5	-2.6 4	-0.04 2	3	50	71.04	C.24	5	48
30877	23 14 31.466	-56 30 36.45	-C.32 2	8.9 4	-0.06 7	5	21	72.15	-C.46	6	21
30879	23 16 7.705	-32 46 16.84	0.17 3	-6.3 7	-0.02 5	9	4	73.64	-C.37	42	2
30882	23 23 45.239	-52 55 55.03	0.36 7	13.1 4	0.02 6	5	10	72.28	-C.04	11	10
30886	23 30 17.668	-38 5 42.35	0.72 8	2.0 5	0.00 8	6	6	71.70	C.41	5	7
30886	23 35 5.669	-45 46 5.12	0.65 6	-0.9 4	0.00 7	4	27	71.70	C.01	7	27
30891	23 56 20.774	-53 1 30.51	0.59 2	6.5 7	-0.01 3	4	34	71.70	C.11	7	33
30893	23 57 15.574	-65 51 15.05	0.91 2	-1.9 5	-0.09 8	2	35	71.70	C.01	6	36
30904	22 55 3.312	-77 20 30.15	-1.57 3	-16.9 9	-0.15 6	6	5	71.17	-C.17	13	9
30916	1 40 5.652	-65 1 22.73	2.75 2	2.3 6	-0.11 2	3	52	71.17	C.06	5	25
30917	5 4 29.049	-82 32 26.44	-0.75 6	0.7 7	0.08 4	2	70	71.17	-C.47	5	45
30918	9 4 20.762	-65 27 58.13	-3.21 6	5.3 2	3.4 0	2	61	71.17	-C.30	5	41
30919	12 45 3.427	-64 51 6.65	5.08 3	2.5 6	-0.20 0	2	111	71.17	-C.25	6	46
30920	15 1 26.052	-67 56 52.77	-17.37 5	-7.0 1	-0.43 5	5	10	72.15	-C.42	11	10
30921	16 41 50.352	-66 16 55.61	1.02 5	0.0	-0.09 7	3	46	71.43	-C.07	12	14
30922	16 25 46.666	-67 35 5.92	-7.78 5	-15.1 3	-0.40 6	4	10	71.43	C.15	14	7
30924	22 41 4.413	-61 36 41.05	-2.84 6	0.6 3	-0.07 1	2	65	73.08	-C.31	5	23
30925	23 21 22.170	-67 45 27.44	-3.24 6	1.10	-0.37 3	2	64	71.44	-C.02	9	24

SAN JUAN ATLANTIC CIRCLE FUNDAMENTAL CAT PLACUTE (UPPER CULMINATION)

TABLEAUX DES COORDONNÉES DE LA PLANÈTE VENUS POUR L'ÉPOCH 1850 (TROISIÈME COLMATION)

NUM. PRO. NUMBER	COORDINATES RAD. & SEC.		RAD. & SEC.		RAD. & SEC.		RAD. & SEC.		RAD. & SEC.		RAD. & SEC.		RAD. & SEC.		
	X	Y	Z	R	DEC.	RA	DEC.	RA	DEC.	RA	DEC.	RA	DEC.	RA	DEC.
31194	1 27 36.012	-42 44 26.49	-0.3935	18.04	+0.0000	2	12.05	C.0.2	+0.0000	C.0.2	+0.0000	24	+0.0000	74.02	+0.0000
31195	1 24 22.450	-22 25 17.55	-C.106	-10.5	-0.0011	5	12.06	C.0.16	-0.0004	C.0.16	-0.0004	32	-0.0004	72.04	-0.0004
31202	1 40 6.000	-46 45 25.76	-C.0.02	0.007	-0.0015	5	11.75	C.0.02	0.0000	C.0.02	0.0000	25	0.0000	71.70	0.0000
31204	1 42 22.527	-60 5 36.01	-C.0.040	15.02	0.0001	8	12.07	-C.0.04	0.0002	C.0.04	0.0002	15	0.0002	72.05	0.0002
31206	1 36 57.562	-40 28 12.11	-C.0.025	0.0002	-0.0002	14	12.05	C.0.02	0.0002	C.0.02	0.0002	15	0.0002	70.00	0.0002
31224	1 39 51.636	-52 44 27.11	-C.221	1.90	-0.0087	6	11.15	C.0.05	-0.0055	C.0.05	-0.0055	8	-0.0055	71.15	-0.0055
31225	1 35 45.016	-55 2 50.48	-C.167	0.55	-0.014	5	12.03	C.0.03	0.0000	C.0.03	0.0000	5	0.0000	72.03	0.0000
31226	1 38 12.312	-41 3 45.75	-C.376	-0.376	-0.0015	7	11.15	C.0.22	0.0000	C.0.22	0.0000	12	0.0000	72.00	0.0000
31227	1 43 52.254	-62 16 36.42	-C.0.234	0.33	-0.0004	2	11.64	C.0.15	0.0000	C.0.15	0.0000	4	0.0000	71.64	0.0000
31228	1 49 23.441	-45 57 53.54	-C.366	-0.366	-0.0009	4	11.62	C.0.12	-0.0009	C.0.12	-0.0009	4	0.0000	71.64	0.0000
31264	10 15 24.521	-41 4 55.06	-0.373	0.25	-0.0008	4	11.27	C.0.12	-0.0008	C.0.12	-0.0008	7	0.0000	71.27	0.0000
31265	10 20 10.666	-41 23 56.20	-0.256	5.13	-0.0010	6	11.60	C.0.13	-0.0010	C.0.13	-0.0010	7	0.0000	71.53	0.0000
31269	10 21 17.658	-37 45 15.85	-1.375	-5.88	-0.0023	6	11.52	-C.0.41	-0.0023	-C.0.41	-0.0023	11	0.0000	70.05	0.0000
31272	10 30 50.020	-46 44 33.16	-0.136	0.05	-0.0087	11	11.46	C.0.05	-0.0087	C.0.05	-0.0087	10	0.0000	71.46	0.0000
31281	11 5 1.124	-70 26 25.65	-C.478	-0.63	-0.0002	3	10.66	C.0.38	-0.0002	C.0.38	-0.0002	5	0.0000	70.66	0.0000
31285	11 6 26.766	-58 42 13.82	-0.088	-0.24	-0.0032	3	11.86	-C.0.01	-0.0032	-C.0.01	-0.0032	5	0.0000	71.86	0.0000
31289	11 10 15.561	-48 45 45.55	-C.990	3.45	-0.015	0	12.25	-C.0.13	-0.015	-C.0.13	-0.015	27	0.0000	72.21	0.0000
31291	11 21 58.124	-42 23 35.42	-0.112	-0.47	-0.0044	11	11.86	C.0.21	-0.0044	C.0.21	-0.0044	7	0.0000	70.88	0.0000
31294	11 24 22.662	-25 24 55.66	-0.258	-0.19	-0.0003	8	11.46	-C.0.06	-0.0003	-C.0.06	-0.0003	2	0.0000	70.46	0.0000
31312	12 36 37.525	-45 52 15.86	-0.710	5.29	-0.0006	3	12.35	-C.0.11	-0.0006	-C.0.11	-0.0006	45	0.0000	72.35	0.0000
31325	13 4 35.152	-53 11 33.36	-C.436	-3.21	-0.0021	5	11.46	C.0.48	-0.0021	C.0.48	-0.0021	6	0.0000	72.54	0.0000
31343	13 14 15.307	-43 42 57.34	-0.066	-0.89	-0.0021	3	11.62	-C.0.35	-0.0021	-C.0.35	-0.0021	40	0.0000	71.91	0.0000
31347	13 15 22.532	-60 43 36.67	-0.456	-1.71	-0.0049	3	12.07	-C.0.12	-0.0049	-C.0.12	-0.0049	5	0.0000	72.02	0.0000
31354	13 35 38.525	-56 30 58.42	-0.206	-0.80	-0.0031	4	11.15	C.0.06	-0.0031	C.0.06	-0.0031	32	0.0000	72.15	0.0000
31363	14 0 22.228	-76 33 24.72	-2.493	-3.51	-0.0046	5	12.06	-C.0.06	-0.0046	-C.0.06	-0.0046	33	0.0000	72.35	0.0000
31364	14 0 24.556	-41 16 55.46	-0.330	-2.34	-0.0024	5	12.16	C.0.11	-0.0024	C.0.11	-0.0024	32	0.0000	72.16	0.0000
31373	14 17 30.593	-37 29 23.66	-C.574	-1.55	-0.0029	4	11.59	-C.0.03	-0.0029	-C.0.03	-0.0029	26	0.0000	71.51	0.0000
31377	14 22 54.567	-44 55 46.85	-0.123	-1.55	-0.0021	5	11.23	C.0.11	-0.0021	C.0.11	-0.0021	9	0.0000	72.33	0.0000
31385	14 52 40.056	-32 35 14.44	0.165	-0.44	-0.0030	7	10.66	C.0.10	-0.0030	C.0.10	-0.0030	5	0.0000	70.92	0.0000
31396	15 8 26.767	-46 32 57.12	-0.973	-4.95	-0.016	3	11.71	-C.0.10	-0.016	-C.0.10	-0.016	36	0.0000	71.76	0.0000
31404	15 18 4.651	-40 28 4.92	-0.137	-1.17	-0.0008	4	5.2	C.0.28	-0.0008	C.0.28	-0.0008	5	0.0000	71.65	0.0000
31405	15 19 57.180	-26 40 50.37	-0.151	-2.50	-0.0004	12	7	C.0.10	-0.0004	C.0.10	-0.0004	7	0.0000	70.31	0.0000
31410	15 32 46.012	-44 13 51.02	-0.424	-5.16	-0.0004	7	12.66	-C.0.58	-0.0004	-C.0.58	-0.0004	10	0.0000	72.66	0.0000
31411	15 33 5.150	-52 42 54.53	-0.255	-3.77	-0.0024	4	11.53	C.0.16	-0.0024	C.0.16	-0.0024	2	0.0000	71.53	0.0000
31416	15 56 5.450	-41 36 50.45	-0.333	-1.52	-0.0008	7	12.01	-C.0.16	-0.0008	-C.0.16	-0.0008	5	0.0000	72.00	0.0000
31424	16 12 48.045	-78 34 25.65	-0.160	-3.65	-0.0022	2	7.4	C.0.06	-0.0022	C.0.06	-0.0022	41	0.0000	72.04	0.0000
31431	16 26 6.546	-24 35 50.07	-0.077	-1.75	-0.0011	11	8	C.0.12	-0.0011	C.0.12	-0.0011	7	0.0000	71.15	0.0000
31435	16 45 27.405	-57 16.37	0.531	-3.10	-0.0022	4	3.1	C.0.23	-0.0022	C.0.23	-0.0022	30	0.0000	71.04	0.0000
31439	16 46 26.675	-37 57 48.92	-0.098	-2.88	-0.0021	6	11.53	C.0.06	-0.0021	C.0.06	-0.0021	17	0.0000	71.53	0.0000
31443	16 53 59.775	-76 25.21	-0.897	-15.67	-0.0075	4	3.6	C.0.06	-0.0075	C.0.06	-0.0075	35	0.0000	72.10	0.0000

## FOUR IN SINE AND SECANT CIRCLE FUNDAMENTAL TRIGONOMETRIC FUNCTIONS (UPPER CIRCUMFERENCE)

	PN4 NUMBER	UNITS RADIAN DEGREES.	SINE	COSINE	TAN	COT	SEC	CSC	MU	N	TPCH 150°+
			0.001	0.001	0.001	0.001	0.001	0.001	0.001	0.001	0.001
31444	16	54 45.564	-0.75 23 21.76	-0.10 1.01	-0.05 0.9	0.05 0.9	0.05 0.9	0.05 0.9	0.05 0.9	0.05 0.9	0.05 0.9
31452	17	13 46.265	-0.72 23 25.12	-0.10 1.02	-0.07 0.91	0.07 0.91	0.07 0.91	0.07 0.91	0.07 0.91	0.07 0.91	0.07 0.91
31456	17	44.625	-0.71 25.57	-0.10 1.03	-0.08 0.92	0.08 0.92	0.08 0.92	0.08 0.92	0.08 0.92	0.08 0.92	0.08 0.92
31471	18	2 44.625	-0.70 25.54	-0.11 1.04	-0.09 0.93	0.09 0.93	0.09 0.93	0.09 0.93	0.09 0.93	0.09 0.93	0.09 0.93
31472	18	7 31.663	-0.69 24.76	-0.11 1.04	-0.10 0.93	0.10 0.93	0.10 0.93	0.10 0.93	0.10 0.93	0.10 0.93	0.10 0.93
31474	18	12 54.716	-0.68 25.15	-0.12 1.05	-0.09 0.94	0.09 0.94	0.09 0.94	0.09 0.94	0.09 0.94	0.09 0.94	0.09 0.94
31490	18	45 14.645	-0.67 24.44	-0.12 1.06	-0.11 0.95	0.11 0.95	0.11 0.95	0.11 0.95	0.11 0.95	0.11 0.95	0.11 0.95
31495	19	5 36.622	-0.66 23.32	-0.12 1.07	-0.10 0.96	0.10 0.96	0.10 0.96	0.10 0.96	0.10 0.96	0.10 0.96	0.10 0.96
31501	19	46 21.456	-0.65 31.35	-0.13 1.08	-0.11 0.97	0.11 0.97	0.11 0.97	0.11 0.97	0.11 0.97	0.11 0.97	0.11 0.97
31502	19	15 2.616	-0.64 31.72	-0.06 0.98	-0.05 0.98	0.05 0.98	0.05 0.98	0.05 0.98	0.05 0.98	0.05 0.98	0.05 0.98
31504	19	23 47.575	-0.54 25 37.63	0.004 0.99	1.06 0.98	-0.038 0.98	0.038 0.98	0.038 0.98	0.038 0.98	0.038 0.98	0.038 0.98
31514	19	50 15.357	-0.61 16 8.02	0.122 0.99	1.08 0.99	-0.136 0.99	0.136 0.99	0.136 0.99	0.136 0.99	0.136 0.99	0.136 0.99
31520	19	51 48.957	-0.42 0.9	0.125 0.99	5.63 0.99	0.038 0.99	10.5 0.99	0.038 0.99	10.5 0.99	0.038 0.99	10.5 0.99
31524	20	15 21.432	-0.7 2.18	0.071 0.99	0.21 0.99	0.021 0.99	0.21 0.99	0.021 0.99	0.21 0.99	0.021 0.99	0.21 0.99
31530	20	17 38.425	-0.35 45	0.293 0.99	2.33 0.99	-0.028 0.99	7 0.99	0.028 0.99	7 0.99	0.028 0.99	7 0.99
31540	20	37 11.635	-0.5 36	0.294 0.99	4.28 0.99	-0.077 0.99	13 0.99	0.077 0.99	13 0.99	0.077 0.99	13 0.99
31542	20	45 6.262	-0.44 16 26.15	1.725 0.99	-10.35 0.99	-0.022 0.99	4 0.99	0.022 0.99	4 0.99	0.022 0.99	4 0.99
31554	21	8 41.303	-0.70 15 55.94	0.905 0.99	-2.73 0.99	-0.001 0.99	4 0.99	0.001 0.99	4 0.99	0.001 0.99	4 0.99
31557	21	44 28.755	-0.46 25 36.34	-0.183 0.99	-7.75 0.99	-0.019 0.99	8 0.99	0.019 0.99	8 0.99	0.019 0.99	8 0.99
31562	21	22 42.265	-0.54 52 29.96	0.135 0.99	4.33 0.99	-0.060 0.99	5 0.99	0.060 0.99	5 0.99	0.060 0.99	5 0.99
31564	21	29 13.447	-0.34 5 57.86	0.034 0.99	-0.24 0.99	-0.043 0.99	7 0.99	0.043 0.99	7 0.99	0.043 0.99	7 0.99
31567	21	30 5.625	-0.45 4 15.19	-0.172 0.99	-0.4 0.99	-0.002 0.99	4 0.99	0.002 0.99	4 0.99	0.002 0.99	4 0.99
31572	21	45 1.152	-0.71 31 55.86	-1.623 0.99	-2.94 0.99	-0.008 0.99	5 0.99	0.008 0.99	5 0.99	0.008 0.99	5 0.99
31581	22	3 6.457	-0.35 47 7.86	-0.168 0.99	-11.66 0.99	-0.029 0.99	4 0.99	0.029 0.99	4 0.99	0.029 0.99	4 0.99
31587	22	44 5.425	-0.47 44 37.86	2.780 0.99	-6.85 0.99	-0.090 0.99	5 0.99	0.090 0.99	5 0.99	0.090 0.99	5 0.99
31595	22	46 11.753	-0.35 25 15.96	0.232 0.99	-0.81 0.99	-0.024 0.99	4 0.99	0.024 0.99	4 0.99	0.024 0.99	4 0.99
31601	23	0 44.085	-0.35 1 12.76	0.580 0.99	8.54 0.99	0.031 0.99	11 0.99	0.031 0.99	11 0.99	0.031 0.99	11 0.99
31605	23	7 32.162	-0.45 31 4.35	1.301 0.99	-2.16 0.99	-0.021 0.99	4 0.99	0.021 0.99	4 0.99	0.021 0.99	4 0.99
31617	22	32 23.526	-0.42 53 36.27	0.406 0.99	0.54 0.99	-0.007 0.99	5 0.99	0.007 0.99	5 0.99	0.007 0.99	5 0.99
31618	22	38 0.543	-0.32 20 58.96	-0.728 0.99	-5.03 0.99	-0.011 0.99	11 0.99	0.011 0.99	11 0.99	0.011 0.99	11 0.99
31624	23	52 1.581	-0.40 34 43.67	3.201 0.99	3.31 0.99	0.011 0.99	4 0.99	0.011 0.99	4 0.99	0.011 0.99	4 0.99
31655	0	12 16.620	-0.68 38 27.64	4.372 0.99	0.01 0.99	0.088 0.99	0 0.99	0.088 0.99	0 0.99	0.088 0.99	0 0.99
31656	2	28 6.640	-0.65 56 32.73	0.282 0.99	-2.35 0.99	-0.192 0.99	2 0.99	0.192 0.99	2 0.99	0.192 0.99	2 0.99
31657	4	28 32.345	-0.63 6 36.02	-1.075 0.99	0.43 0.99	-0.079 0.99	2 0.99	0.079 0.99	2 0.99	0.079 0.99	2 0.99
31659	5	35 5C.764	-0.64 4E 57.74	-0C.74C 0.99	4.07 0.99	-0.157 0.99	3 0.99	0.157 0.99	3 0.99	0.157 0.99	3 0.99
31660	5	53 2.620	-0.65 55 56.95	-1.885 0.99	0.49 0.99	-0.213 0.99	2 0.99	0.213 0.99	2 0.99	0.213 0.99	2 0.99
31661	7	4 55.177	-0.6 57 27.44	0.735 0.99	0.39 0.99	-0.348 0.99	4 0.99	0.348 0.99	4 0.99	0.348 0.99	4 0.99
31662	10	34 8.536	-0.65 45 55.73	-0.158 0.99	0.37 0.99	-0.092 0.99	4 0.99	0.092 0.99	4 0.99	0.092 0.99	4 0.99
31663	10	59 42.375	-0.64 45 25.65	-4.432 0.99	-0.05 0.99	-0.097 0.99	3 0.99	0.097 0.99	3 0.99	0.097 0.99	3 0.99
31664	12	32 25.452	-0.65 21 53.97	-7.363 0.99	-2.03 0.99	-0.323 0.99	2 0.99	0.323 0.99	2 0.99	0.323 0.99	2 0.99

TURK H. SAN JUAN PERIODIC CYCLE FUNDAMENTAL ELEMENTS OF THE CUPPER COLUMBIA

FK+	UNIVERSAL RH. 1950.	UNIVERSAL DEC. 1950.	F(RA) 1950.	F(L)	(L-C) R.A. 0.01	Rt	RCCF ISCG+	(L-C) L. 0.01	R.L	N	EPCH 1950+
31606	15 21 26.275	-01 16 14.95	5.532	9.06	-0.024	2	11.5	71.46	-C.J.C	53	71.54
31607	15 46 56.135	-01 25 42.57	0.096	0.39	-0.042	2	10.0	71.57	-C.I.C	46	71.67
31608	16 31 0.142	-04 24 27.55	4.284	-2.38	-0.191	2	0.2	71.50	-L.C.E	35	71.55
31609	16 22 35.075	-06 13 26.75	-3.493	6.42	-0.075	2	45	71.51	C.E.T	7	71.68

FREQUENCY NUMBER	FUNDAMENTAL CYLINDRICAL COLUMNS (FLOWER CULMINATION)												EFFLU- ENCE
	UNIFORM LOAD	UNIFORM LOAD	UNIFORM LOAD	UNIFORM LOAD	UNIFORM LOAD	UNIFORM LOAD	UNIFORM LOAD	UNIFORM LOAD	UNIFORM LOAD	UNIFORM LOAD	UNIFORM LOAD	UNIFORM LOAD	
	1000	1000	1000	1000	1000	1000	1000	1000	1000	1000	1000	1000	1000
30164	1	23	11.656	-16	45	20.304	-0.001	-120.004	-0.001	74.004	4.004	4.004	***
30165	2	22	40.504	-75	15	46.354	4.004	-40.004	-40.004	72.002	8.002	8.002	***
30166	4	21	18.425	-80	15	50.752	0.001	63.1	60.003	71.001	6.001	6.001	***
30167	6	19	14.525	-70	45	45.152	-6.001	-3.001	-0.003	71.001	7.001	7.001	***
30168	8	42	10.841	-17	15	45.004	-3.001	2.002	-0.005	72.005	4.005	4.005	***
30169	10	34	4.652	-16	46	5.676	-C.775	2.011	-0.019	72.006	3.006	3.006	***
30170	12	45	20.164	-16	20	53.74	-1.298	1.60	-0.033	72.15	5.005	5.005	***
30171	14	35	10.915	-15	37	16.26	-2.106	0.40	0.012	70.50	4.004	4.004	***
30172	16	15	42.132	-15	2	4.63	-3.042	-0.10	0.002	72.75	3.003	3.003	***
30173	18	25	46.132	-15	27	4.63	-1.523	1.46	-0.011	72.54	3.003	3.003	***
30542	14	41	32.593	-16	50	5.63	-C.088	-1.82	-0.067	86	72.48	4.004	***
30611	16	25	42.762	-18	47	20.302	-4.043	-6.87	-0.165	72.51	4.004	4.004	***
30839	22	14	32.560	-80	41	44.35	1.986	-3.93	-0.099	92	71.60	4.004	***
30916	1	40	5.652	-15	1	44.73	2.756	2.36	-0.115	3.7	71.55	3.003	***
30917	5	4	25.045	-82	32	6.44	-C.756	0.77	0.029	84	71.05	3.003	***
30918	9	4	20.762	-15	27	58.13	-5.517	3.32	-0.409	74	71.21	3.003	***
30919	12	45	30.427	-14	51	8.65	5.083	2.56	-0.243	82	70.65	3.003	***
30920	15	1	26.052	-87	56	52.77	-17.375	-7.01	-0.532	4	72.91	3.003	0
30921	16	41	50.352	-80	16	55.61	1.025	0.0	-0.076	2	71.32	3.003	0
30922	18	25	46.666	-87	39	5.92	-7.709	-13.13	-0.351	3	72.52	3.003	0
30924	22	41	4.412	-81	38	41.05	-2.840	0.63	-0.042	2	58	71.66	***
30925	22	21	22.170	-87	45	27.44	3.248	1.10	-0.337	2	56	72.12	***
31124	16	12	48.045	-16	34	25.05	-0.106	-3.65	-0.084	3	27	72.57	***
31125	17	24	3.712	-80	45	5.71	-0.345	-4.10	-0.033	2	96	71.66	***
31126	10	12	16.820	-86	36	27.64	4.372	0.01	-0.412	3	2	72.02	***
31126	2	26	8.640	-85	56	32.73	0.282	-2.35	-0.182	2	101	71.47	***
31127	4	28	33.345	-83	0	36.03	-1.045	0.40	-0.039	2	56	71.46	***
31128	5	39	50.764	-84	48	57.74	-0.740	4.67	-0.090	2	72	71.85	***
31129	5	53	2.020	-85	55	50.95	-1.0885	0.49	-0.339	4	36	71.66	***
31129	7	4	55.177	-86	57	27.44	-0.735	0.39	-0.404	3	46	72.15	***
31162	10	34	8.536	-85	49	55.73	-C.156	0.37	-0.101	3	25	70.65	***
31164	10	59	42.375	-84	15	25.65	-6.432	-0.65	-0.131	2	85	71.33	***
31165	12	32	25.52	-15	21	52.07	-7.003	-2.03	-0.422	3	43	70.65	***
31166	15	31	26.275	-84	16	14.55	9.532	9.06	-0.117	4	64	70.24	***
31167	15	46	56.138	-81	26	47.51	6.696	0.35	-0.011	2	75	71.13	***
31168	20	31	0.723	-84	34	57.55	4.284	-2.38	-0.199	2	77	71.65	***
31169	22	22	35.665	-86	13	26.75	-3.493	6.22	-0.189	2	53	71.76	***

SEGUNDO CATALOGO CIRCULO MERIDIANO SAN JUAN (FKSZ)

R.A. CARESTIA y M. GALLEG0

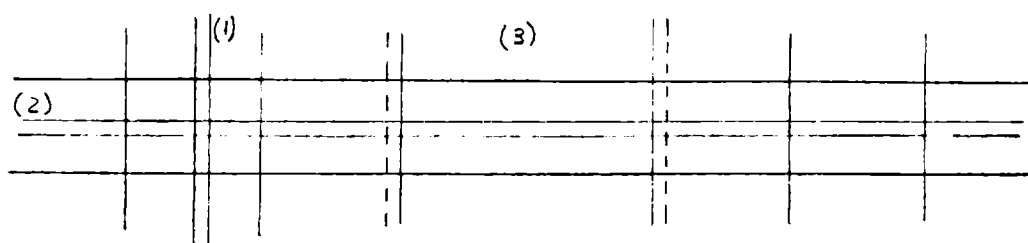
Observatorio Astronómico Félix Aguilar (U.N.S.J.)

PREFACIO:

Este catálogo fue observado con el Círculo Meridiano Reversible que se opera en el Observatorio Astronómico "Félix Aguilar", de la Universidad Nacional de San Juan. Contiene 617 estrellas del Catálogo Original recibido del Departamento de Astronomía de la Universidad de Chile denominado FKSZ (Fundamental Katalog Slabí Zbiozp). Las estrellas están distribuidas en la zona  $+30^\circ$  a  $-90^\circ$  en declinación. Las observaciones, se iniciaron en agosto de 1975 y se terminaron en noviembre de 1977 con un total de 2949 pasajes en Ascención Recta y de 2864 pasajes en Declinación. El promedio del error cuadrático medio en ascension recta de una observación es de 0 $^{\circ}021$  y de 0 $^{\circ}39$  en declinación.

INSTRUMENTOS Y ACCESORIOS

Círculo Meridiano Reversible: Construido por A. Repsold & Sohne, con un objetivo de 190 mm. de diámetro y 2,25 m de distancia focal; posee dos círculos graduados de 74 cms. de diámetro divididos de 4 en 4 minutos y leídos a través de cuatro microscopios colocados en el tambor del lado Este, de modo que para la posición Freno al Este, se trabaja con el círculo denominado A de platino iridiado, y para la posición Freno al Oeste, con el círculo B de plata. Los microscopios están provistos de dos pares de hilos de biseción, separados 1,5 rotaciones. El ocular está provisto de un micrómetro impersonal de ascención recta movido por un sincro-motor cuya velocidad es regulada según la declinación de la estrella, por un integrador diferencial ajustable por control remoto (sistema construido por el U.S. Naval Observatory). También posee un micrómetro de declinación con un doble hilo móvil. Los demás hilos del campo son fijos, (figura 1).



(1) doble hilo móvil de A.R. (2) doble hilo móvil de Dec. !(3)! campo toma de tiempos

Fig. 1

Cronógrafo y Reloj: Los tiempos fueron registrados con un Cronógrafo Inscriptor marca Hermann Wetzer K.G. comandado por un reloj de cuarzo marca Rohde & Schwarz tipo C.A.Q.A. de tiempo sidéreo.

#### PLAN GENERAL DE OBSERVACION

El FKSZ se dividió en cuatro zonas de observación para su mejor vinculación con el FK4, a saber:

ZONA N<sub>2</sub>: Estrellas comprendidas entre +30° y 0° en declinación.

ZONA N<sub>1</sub>: Estrellas comprendidas entre 0° y -31°5 en declinación.

ZONA S<sub>1</sub>: Estrellas comprendidas entre -31°5 y -60°0 en declinación.

ZONA S<sub>2</sub>: Estrellas comprendidas entre -60°0 y -90°0 en declinación.

Los programas de observación tenían una duración de 4 hs. aproximadamente y constaban de unas 40 estrellas discriminadas de la siguiente manera:

12 estrellas FK4 en la zona de observación.

6 estrellas FK4 ecuatoriales entre + 16°0 en declinación (tres y tres simétricas respecto al Ecuador).

2 estrellas polares en culminación superior.

2 estrellas polares en culminación inferior.

10 estrellas FKSZ de la zona.

Un mismo programa fue observado, en general, con freno al Este Círculo A y con freno al Oeste Círculo B.

#### DETERMINACION DE CONSTANTES INSTRUMENTALES

Constantes periódicas: El valor de la rotación del micrómetro de ascension recta (450710), y del micrómetro de declinación (18°3), el run y el eje promedio de tiempo se determinaron por los métodos clásicos, los dos últimos quincenalmente.

La flexión fue determinada por el método de los colimadores horizontales opuestos, dando como resultado promedio, cero.

Para el error de trazo se usaron los valores que obtuvo el astrónomo Dr. Meade L. Zimmer en el año 1914 y que figuran en "Resultados del Observatorio Nacional Argentino", volumen 35, Observatorio de Córdoba. En 1974 se hizo un nuevo estudio de los trazos, de grado en grado, por el Método de las Rosetas y no se encontraron variaciones significativas.

Constantes diarias: La determinación del eje sin colimación, inclinación y punto cenital, se efectuó antes y después de cada serie de observación, tomando para la colimación e inclinación el promedio de ambas determinaciones; para el punto cenital se interpoló en función del tiempo entre el valor del comienzo y del final de la serie.

La determinación del eje sin colimación, se hizo por inversión del instrumento sobre dos colimadores horizontales opuestos; cada determinación se realizó con el promedio de cuatro series de 10 biseciones a los colimadores.

La inclinación b, se determinó en función de la colimación y de las lecturas con el micrómetro de ascención recta al espejo nadiral de mercurio.

El punto cenital se obtuvo, adicionando al promedio de las 10 lecturas del micrómetro de declinación sobre el espejo nadiral de mercurio, el promedio de las 8 lecturas al círculo corregidas por error de trazo y run.

#### METODO OBSERVACIONAL

Toma de Tiempos: El sector fijo para la toma de tiempos es la indicada en Fig. 1. El tiempo de paso fue el promedio de 20 tops tomados electromecánicamente en puntos fijos del sector, mediante el micrómetro impersonal comandado por el motor-drive.

Lectura a la estrella en Declinación: En cada pasaje se hicieron biseciones a la estrella con el micrómetro de declinación, simétricas respecto al hilo sin colimación, cuyo promedio corregido por error de curvatura se adicionó al promedio de las ocho lecturas hechas en forma visual sobre el círculo, corregidas por error de trazo, run y flexión. Para cada pasaje se tomó la temperatura al décimo de grado centígrado, en un termómetro colocado a la altura del objetivo.

#### REDUCCION EN ASCENCION RECTA

Reducción Preliminar: Se usó la fórmula de Hansen

$$\tau = b \sec \gamma + n (\tan \delta - \tan \gamma) + c \sec \delta$$

obteniéndose la A.R. preliminar observada ( $\alpha_0$ ) como

$$\alpha_0 = \theta + \Delta\theta + \tau$$

la constante  $n$  de Bessel, se obtuvo como promedio de los valores arrojados por las estrellas FK4 polares, (2 en culminación superior y 2 en culminación inferior) combinadas individualmente con una estrella ecuatorial dentro de la misma serie.

La colimación  $c$  se obtuvo como diferencia de la lectura correspondiente al eje sin colimación y el eje promedio de toma de tiempo incluyendo el efecto de aberración diurna.

$\Delta\theta$  es el promedio de la corrección del reloj arrojados por las estrellas ecuatoriales FK4 de la serie.

La inclinación  $b$  se determinó en base al baño nadiral de mercurio en la forma explicada anteriormente.

La ascension recta calculada ( $\alpha_c$ ) es la aparente calculada en base al procedimiento de "Scott and Hughes" partiendo del catálogo FK4 1950.0 y del catálogo FKSZ 1950.0 provisto por el Departamento de Astronomía de la Universidad de Chile.

Para todas las estrellas observadas en una serie se obtuvo

$$(O - C)' = \alpha_0 - \alpha_c$$

Reducción al Sistema FK4: Los  $(O-C)'$  de las estrellas FKSZ fueron reducidos al sistema FK4 en base a las estrellas FK4 zonales según la expresión

$$(O-C) = (O-C)' - \overline{(O-C)'}_z - p(\sec \delta - \overline{\sec \delta}_z)$$

$\overline{(O-C)'}_z$  = promedio de los  $(O-C)'$  preliminares de las estrellas zonales FK4

$\overline{\sec \delta}_z$  = promedio de  $\sec \delta$  de las estrellas zonales FK4.

El coeficiente  $p$  se determinó aplicando una solución por mínimos cuadrados al sistema de ecuaciones dado por las estrellas FK4 zonales:

$$p(\sec \delta_z - \overline{\sec \delta}_z) = (O-C)'_z - \overline{(O-C)'}_z$$

#### REDUCCION EN DECLINACION

Reducción Preliminar: La distancia cenital medida a la estrella, fue obtenida como diferencia entre la lectura al cenit y la lectura a la estrella como se indicó anteriormente y fue corregida por refracción usando la fórmula de Pulkovo.

En base a una latitud media fija y a la distancia cenital corregida, se calculó una declinación preliminar ( $\alpha_0$ ), tanto para las estrellas FKSZ como para las estrellas FK4 de la zona observada en la misma serie. Se obtuvieron las diferencias  $(O-C)'$  entre esta declinación preliminar y la declinación aparente ( $\delta_c$ ) calculada como se indicó para  $\alpha_c$ :

$$(O-C)' = \delta_0 - \delta_c$$

Reducción al Sistema FK4: A los  $(O-C)'$  de las estrellas FKSZ, se sustraio el promedio de los  $(O-C)'$  de las estrellas FK4 zonales, obteniéndose

$$(O-C) = (O-C)' - \overline{(O-C)'}_z$$

#### CATALOGO

Los valores  $(O-C)$  R.A. y  $(O-C)$  D consignados en el catálogo para cada estrella son el promedio de los  $(O-C)$  de todas las observaciones individuales hechas con ambos frenos y ambos círculos graduados. El error medio cuadrático fue calculado con las diferencias entre ese promedio y cada uno de los valores individuales. Fundamentamos este proceder, porque en general todas las observaciones individuales de una estrella fueron repartidas por igual entre ambos frenos y ambos círculos.

EQUIPO DE OBSERVACION

Las personas que en algún momento compusieron el equipo de observación, son las siguientes: R.A. Carestia, G.G. Gutiérrez, D.H. Garay, W.L. Castro, R.E. Orrego, M. Gallego, R. Jakowczyk, M.A. Montoya, A. Rocher, R. Herrera y E.R. Galarza.

EXPLICACION

<u>Columna</u>	<u>Denominación</u>	<u>Significado</u>
1	FKSZ NUMBER	Número de estrellas dado por el Catálogo Original enviado por el Departamento de Astronomía de la Universidad de Chile.
2	ORIGINAL R.A.1950.0	Ascension recta media 1950.0 del Catálogo Original en horas, minutos y segundos.
3	ORIGINAL DEC.1950.0	Declinación media 1950.0 del Catálogo Original en grados, minutos y segundos.
4	PM(R.A.)	Movimiento propio secular 1950.0 en ascension recta del Catálogo Original en segundos de tiempo.
5	PM(D)	Movimiento propio secular 1950.0 en declinación del Catálogo Original en segundos de arco.
6	(O-C) R.A.	Corrección a la ascension recta del Catálogo Original FKSZ en el sistema FK4, en segundos de tiempo para la época media de observación.
7	ME .001	Error medio cuadrático reducido al Ecuador, $\epsilon_{\alpha} \cos \delta$ , de la posición del Catálogo computado con la desviación de cada observación, respecto a la media aritmética en segundos de tiempo, $\epsilon_{\alpha} = \sqrt{v^2 / (n * (n-1))}$ .
8	N	Número de observaciones en ascension recta.
9	EPOCH 1900+	Epoch media de las observaciones en ascension recta.
10	(O-C) D	Corrección a la declinación del Catálogo Original FKSZ en el sistema FK4 en segundos de arco para la época media de observación.

EXPLICACION

Columna	Denominación	Significado
11	ME .01	Error medio cuadrático, $\epsilon_\delta$ , de la posición del Catálogo, computado con la desviación de cada observación respecto a la media aritmética en segundos de arco, $\epsilon_\delta = \sqrt{\{v^2/(n*(n-1))\}}$ .
12	N	Número de observaciones en declinación.
13	EPOCH 1900+	Epoca media de las observaciones en declinación.

EXPLANATION

Column	Denomination	Meaning
1	FKSZ NUMBER	Star number as given by Original Catalogue send by Departamento de Astronomía, Universidad de Chile.
2	ORIGINAL R.A.1950.0	Mean right ascension 1950.0 Original Catalogue in hours, minutes and seconds.
3	ORIGINAL DEC.1950.0	Mean declination 1950.0 Original Catalogue en degree, minutes and seconds.
4	PM(R.A.)	Centennial proper motion in right ascension 1950.0 Original Catalogue in seconds of time.
5	PM(D)	Centennial proper motion in declination 1950.0 Original Catalogue in seconds of arc.
6	(O-C) R.A.	Correction in right ascension to the FKSZ Original Catalogue in the FK4 System in seconds of time, at mean epoch observation.
7	ME .001	Mean square error reduced to Equator, $\epsilon_\alpha \cos \delta$ , of the position of the Catalogue computed with the desviations of each observation towards arithmetic mean in seconds of time, $\epsilon_\alpha = \sqrt{v^2/(n*(n-1))}$ .
8	N	Number of right ascension observations.
9	EPOCH 1900+	Mean epoch of the right ascension observations.
10	(O-C) D	Correction in declination to the FKSZ Original Catalogue in the FK4 System in seconds of arc, at mean epoch observation.
11	ME .01	Mean square error, $\epsilon_\delta$ , of the position of the Catalogue, computed with the desviation towards arithmetic mean in seconds of arc, $\epsilon_\delta = \sqrt{v^2/(n*(n-1))}$ .

EXPLANATION

Column	Denomination	Meaning
12	N	Number of declinations observations.
13	EPOCH 1900+	Mean epoch of declinations observations.





$\mu_{\text{R.A.}}$	$\delta_{\text{Dec.}}$													
00 12 45.4	-12 45.9	-2 45.31	20 45.11	3 45.11	-1 45.11	7 45.10	4 45.10	1 45.10	-1 45.10	7 45.10	4 45.10	1 45.10	-1 45.10	7 45.10
00 12 45.5	-12 45.45	-3 45.45	18 45.45	1 45.45	-1 45.45	5 45.45	2 45.45	0 45.45	-2 45.45	10 45.45	3 45.45	1 45.45	-3 45.45	10 45.45
00 12 45.6	-12 45.40	-3 45.40	18 45.40	1 45.40	-1 45.40	5 45.40	2 45.40	0 45.40	-2 45.40	10 45.40	3 45.40	1 45.40	-3 45.40	10 45.40
00 12 45.7	-12 45.35	-3 45.35	18 45.35	1 45.35	-1 45.35	5 45.35	2 45.35	0 45.35	-2 45.35	10 45.35	3 45.35	1 45.35	-3 45.35	10 45.35
00 12 45.8	-12 45.30	-3 45.30	18 45.30	1 45.30	-1 45.30	5 45.30	2 45.30	0 45.30	-2 45.30	10 45.30	3 45.30	1 45.30	-3 45.30	10 45.30
00 12 45.9	-12 45.25	-3 45.25	18 45.25	1 45.25	-1 45.25	5 45.25	2 45.25	0 45.25	-2 45.25	10 45.25	3 45.25	1 45.25	-3 45.25	10 45.25
00 12 46.0	-12 45.20	-3 45.20	18 45.20	1 45.20	-1 45.20	5 45.20	2 45.20	0 45.20	-2 45.20	10 45.20	3 45.20	1 45.20	-3 45.20	10 45.20
00 12 46.1	-12 45.15	-3 45.15	18 45.15	1 45.15	-1 45.15	5 45.15	2 45.15	0 45.15	-2 45.15	10 45.15	3 45.15	1 45.15	-3 45.15	10 45.15
00 12 46.2	-12 45.10	-3 45.10	18 45.10	1 45.10	-1 45.10	5 45.10	2 45.10	0 45.10	-2 45.10	10 45.10	3 45.10	1 45.10	-3 45.10	10 45.10
00 12 46.3	-12 45.05	-3 45.05	18 45.05	1 45.05	-1 45.05	5 45.05	2 45.05	0 45.05	-2 45.05	10 45.05	3 45.05	1 45.05	-3 45.05	10 45.05
00 12 46.4	-12 45.00	-3 45.00	18 45.00	1 45.00	-1 45.00	5 45.00	2 45.00	0 45.00	-2 45.00	10 45.00	3 45.00	1 45.00	-3 45.00	10 45.00
00 12 46.5	-12 44.95	-3 44.95	18 44.95	1 44.95	-1 44.95	5 44.95	2 44.95	0 44.95	-2 44.95	10 44.95	3 44.95	1 44.95	-3 44.95	10 44.95
00 12 46.6	-12 44.90	-3 44.90	18 44.90	1 44.90	-1 44.90	5 44.90	2 44.90	0 44.90	-2 44.90	10 44.90	3 44.90	1 44.90	-3 44.90	10 44.90
00 12 46.7	-12 44.85	-3 44.85	18 44.85	1 44.85	-1 44.85	5 44.85	2 44.85	0 44.85	-2 44.85	10 44.85	3 44.85	1 44.85	-3 44.85	10 44.85
00 12 46.8	-12 44.80	-3 44.80	18 44.80	1 44.80	-1 44.80	5 44.80	2 44.80	0 44.80	-2 44.80	10 44.80	3 44.80	1 44.80	-3 44.80	10 44.80
00 12 46.9	-12 44.75	-3 44.75	18 44.75	1 44.75	-1 44.75	5 44.75	2 44.75	0 44.75	-2 44.75	10 44.75	3 44.75	1 44.75	-3 44.75	10 44.75
00 12 47.0	-12 44.70	-3 44.70	18 44.70	1 44.70	-1 44.70	5 44.70	2 44.70	0 44.70	-2 44.70	10 44.70	3 44.70	1 44.70	-3 44.70	10 44.70
00 12 47.1	-12 44.65	-3 44.65	18 44.65	1 44.65	-1 44.65	5 44.65	2 44.65	0 44.65	-2 44.65	10 44.65	3 44.65	1 44.65	-3 44.65	10 44.65
00 12 47.2	-12 44.60	-3 44.60	18 44.60	1 44.60	-1 44.60	5 44.60	2 44.60	0 44.60	-2 44.60	10 44.60	3 44.60	1 44.60	-3 44.60	10 44.60
00 12 47.3	-12 44.55	-3 44.55	18 44.55	1 44.55	-1 44.55	5 44.55	2 44.55	0 44.55	-2 44.55	10 44.55	3 44.55	1 44.55	-3 44.55	10 44.55
00 12 47.4	-12 44.50	-3 44.50	18 44.50	1 44.50	-1 44.50	5 44.50	2 44.50	0 44.50	-2 44.50	10 44.50	3 44.50	1 44.50	-3 44.50	10 44.50
00 12 47.5	-12 44.45	-3 44.45	18 44.45	1 44.45	-1 44.45	5 44.45	2 44.45	0 44.45	-2 44.45	10 44.45	3 44.45	1 44.45	-3 44.45	10 44.45
00 12 47.6	-12 44.40	-3 44.40	18 44.40	1 44.40	-1 44.40	5 44.40	2 44.40	0 44.40	-2 44.40	10 44.40	3 44.40	1 44.40	-3 44.40	10 44.40
00 12 47.7	-12 44.35	-3 44.35	18 44.35	1 44.35	-1 44.35	5 44.35	2 44.35	0 44.35	-2 44.35	10 44.35	3 44.35	1 44.35	-3 44.35	10 44.35
00 12 47.8	-12 44.30	-3 44.30	18 44.30	1 44.30	-1 44.30	5 44.30	2 44.30	0 44.30	-2 44.30	10 44.30	3 44.30	1 44.30	-3 44.30	10 44.30
00 12 47.9	-12 44.25	-3 44.25	18 44.25	1 44.25	-1 44.25	5 44.25	2 44.25	0 44.25	-2 44.25	10 44.25	3 44.25	1 44.25	-3 44.25	10 44.25
00 12 48.0	-12 44.20	-3 44.20	18 44.20	1 44.20	-1 44.20	5 44.20	2 44.20	0 44.20	-2 44.20	10 44.20	3 44.20	1 44.20	-3 44.20	10 44.20
00 12 48.1	-12 44.15	-3 44.15	18 44.15	1 44.15	-1 44.15	5 44.15	2 44.15	0 44.15	-2 44.15	10 44.15	3 44.15	1 44.15	-3 44.15	10 44.15
00 12 48.2	-12 44.10	-3 44.10	18 44.10	1 44.10	-1 44.10	5 44.10	2 44.10	0 44.10	-2 44.10	10 44.10	3 44.10	1 44.10	-3 44.10	10 44.10
00 12 48.3	-12 44.05	-3 44.05	18 44.05	1 44.05	-1 44.05	5 44.05	2 44.05	0 44.05	-2 44.05	10 44.05	3 44.05	1 44.05	-3 44.05	10 44.05
00 12 48.4	-12 44.00	-3 44.00	18 44.00	1 44.00	-1 44.00	5 44.00	2 44.00	0 44.00	-2 44.00	10 44.00	3 44.00	1 44.00	-3 44.00	10 44.00
00 12 48.5	-12 43.95	-3 43.95	18 43.95	1 43.95	-1 43.95	5 43.95	2 43.95	0 43.95	-2 43.95	10 43.95	3 43.95	1 43.95	-3 43.95	10 43.95
00 12 48.6	-12 43.90	-3 43.90	18 43.90	1 43.90	-1 43.90	5 43.90	2 43.90	0 43.90	-2 43.90	10 43.90	3 43.90	1 43.90	-3 43.90	10 43.90
00 12 48.7	-12 43.85	-3 43.85	18 43.85	1 43.85	-1 43.85	5 43.85	2 43.85	0 43.85	-2 43.85	10 43.85	3 43.85	1 43.85	-3 43.85	10 43.85
00 12 48.8	-12 43.80	-3 43.80	18 43.80	1 43.80	-1 43.80	5 43.80	2 43.80	0 43.80	-2 43.80	10 43.80	3 43.80	1 43.80	-3 43.80	10 43.80
00 12 48.9	-12 43.75	-3 43.75	18 43.75	1 43.75	-1 43.75	5 43.75	2 43.75	0 43.75	-2 43.75	10 43.75	3 43.75	1 43.75	-3 43.75	10 43.75
00 12 49.0	-12 43.70	-3 43.70	18 43.70	1 43.70	-1 43.70	5 43.70	2 43.70	0 43.70	-2 43.70	10 43.70	3 43.70	1 43.70	-3 43.70	10 43.70
00 12 49.1	-12 43.65	-3 43.65	18 43.65	1 43.65	-1 43.65	5 43.65	2 43.65	0 43.65	-2 43.65	10 43.65	3 43.65	1 43.65	-3 43.65	10 43.65
00 12 49.2	-12 43.60	-3 43.60	18 43.60	1 43.60	-1 43.60	5 43.60	2 43.60	0 43.60	-2 43.60	10 43.60	3 43.60	1 43.60	-3 43.60	10 43.60
00 12 49.3	-12 43.55	-3 43.55	18 43.55	1 43.55	-1 43.55	5 43.55	2 43.55	0 43.55	-2 43.55	10 43.55	3 43.55	1 43.55	-3 43.55	10 43.55
00 12 49.4	-12 43.50	-3 43.50	18 43.50	1 43.50	-1 43.50	5 43.50	2 43.50	0 43.50	-2 43.50	10 43.50	3 43.50	1 43.50	-3 43.50	10 43.50
00 12 49.5	-12 43.45	-3 43.45	18 43.45	1 43.45	-1 43.45	5 43.45	2 43.45	0 43.45	-2 43.45	10 43.45	3 43.45	1 43.45	-3 43.45	10 43.45
00 12 49.6	-12 43.40	-3 43.40	18 43.40	1 43.40	-1 43.40	5 43.40	2 43.40	0 43.40	-2 43.40	10 43.40	3 43.40	1 43.40	-3 43.40	10 43.40
00 12 49.7	-12 43.35	-3 43.35	18 43.35	1 43.35	-1 43.35	5 43.35	2 43.35	0 43.35	-2 43.35	10 43.35	3 43.35	1 43.35	-3 43.35	10 43.35
00 12 49.8	-12 43.30	-3 43.30	18 43.30	1 43.30	-1 43.30	5 43.30	2 43.30	0 43.30	-2 43.30	10 43.30	3 43.30	1 43.30	-3 43.30	10 43.30
00 12 49.9	-12 43.25	-3 43.25	18 43.25	1 43.25	-1 43.25	5 43.25	2 43.25	0 43.25	-2 43.25	10 43.25	3 43.25	1 43.25	-3 43.25	10 43.25
00 12 50.0	-12 43.20	-3 43.20	18 43.20	1 43.20	-1 43.20	5 43.20	2 43.20	0 43.20	-2 43.20	10 43.20	3 43.20	1 43.20	-3 43.20	10 43.20
00 12 50.1	-12 43.15	-3 43.15	18 43.15	1 43.15	-1 43.15	5 43.15	2 43.15	0 43.15	-2 43.15	10 43.15	3 43.15	1 43.15	-3 43.15	10 43.15
00 12 50.2	-12 43.10	-3 43.10	18 43.10	1 43.10	-1 43.10	5 43.10	2 43.10	0 43.10	-2 43.10	10 43.10	3 43.10	1 43.10	-3 43.10	10 43.10
00 12 50.3	-12 43.05	-3 43.05	18 43.05	1 43.05	-1 43.05	5 43.05	2 43.05	0 43.05	-2 43.05	10 43.05	3 43.05	1 43.05	-3 43.05	10 43.05
00 12 50.4	-12 43.00	-3 43.00	18 43.00	1 43.00	-1 43.00	5 43.00	2 43.00	0 43.00	-2 43.00	10 43.00	3 43.00	1 43.00	-3 43.00	10 43.00
00 12 50.5	-12 42.95	-3 42.95	18 42.95	1 42.95	-1 42.95	5 42.95	2 42.95	0 42.95	-2 42.95	10 42.95	3 42.95	1 42.95	-3 42.95	10 42.95
00 12 50.6	-12 42.90	-3 42.90	18 42.90	1 42.90	-1 42.90	5 42.90	2 42.90	0 42.90	-2 42.90	10 42.90	3 42.90	1 42.90	-3 42.90	10 42.90
00 12 50.7	-12 42.85	-3 42.85	18 42.85	1 42.85	-1 42.85	5 42.85	2 42.85	0 42.85	-2 42.85	10 42.85	3 42.85	1 42.85	-3 42.85	10 42.85
00 12 50.8	-12 42.80	-3 42.80	18 42.80	1 42.80	-1 42.80	5 42.80	2 42.80	0 42.80	-2 42.80	10 42.80	3 42.80	1 42.80	-3 42.80	10 42.80
00 12 50.9	-12 42.75	-3 42.75	18 42.75	1 42.75	-1 42.75	5 42.75	2 42.75	0 42.75	-2 42.75	10 42.75	3 42.75	1 42.75	-3 42.75</	

















Objeto	Objetivo	Centroide	PM (ra)	PM (dec)	Extensión	Período	V	H-V	I-V	B-V	A	Magn.	Periodo
00614	11 44 56.474	-01 5 25.29	0.000	4.443	0.000	?	?	?	?	?	4	16.1	
00615	11 44 49.175	-01 3 25.29	0.000	3.979	0.000	11	4	16.1	12	11	16.01		
00616	11 25 24.205	-01 25 35.12	0.000	4.002	0.000	12	5	16.1	12	11	16.01		
00617	11 30 23.875	-01 22 16.03	0.026	-1.248	0.032	5	4	17.10	4	17.10	17.03		
00618	11 32 30.542	-01 26 30.00	0.042	-1.213	0.025	16	2	17.12	23	23	17.03		
00619	11 34 42.112	-01 41 40.55	0.020	0.979	0.015	5	4	17.15	13	4	17.15		
00620	11 37 53.486	-01 35 24.00	0.029	-1.029	0.022	4	2	16.64	-16.16	10	16.64		
00621	11 38 21.487	-01 53 55.21	0.032	-1.422	0.031	2	16.1	-16.48	17	2	16.64		
00622	11 39 47.431	-01 21 5 0.21	0.009	0.960	0.001	22	2	17.64	26	3	17.64		
00623	11 42 42.321	-01 16 11 4.16	0.000	0.910	0.030	4	2	16.64	-16.42	10	17.07		
00624	11 47 4.451	-01 50 16 38.24	0.026	1.466	0.001	5	6	15.51	-1.12	28	15.51		
00625	11 50 22.505	-02 14 20.00	0.032	0.22	0.010	21	4	17.12	-0.00	9	16.70		
00626	11 54 37.761	-02 44 25 20.29	0.000	-3.02	0.021	8	5	15.86	0.74	5	15.86		
00627	11 53 55.006	-02 45 41.81	0.030	0.32	0.009	6	5	17.04	-0.12	14	17.04		
00628	11 26 6.446	-01 14 37 2.70	0.011	1.071	0.007	5	6	17.16	-0.35	14	17.16		
00629	11 35 27.642	-01 35 20 12.00	0.040	2.34	0.063	12	10	16.66	-3.52	13	16.66		
00630	11 34 31.74	-01 00 32 15.00	0.021	-0.33	0.086	14	6	16.56	-1.17	12	16.56		
00631	11 42 1.175	-01 21 52 4.51	0.030	2.41	0.105	22	2	17.11	-1.23	21	17.11		
00632	11 25 1.055	-01 37 25.04	0.026	1.13	0.013	12	6	17.15	-0.47	22	17.15		
00633	11 32 22.221	-01 02 24 4.00	0.000	-0.001	0.000	4	2	17.03	-2.58	10	17.03		
00634	11 44 46.495	-01 50 16 38.24	0.026	1.466	0.001	5	6	15.51	-1.12	28	15.51		
00635	11 42 5.223	-02 14 21.32	0.000	-1.49	0.121	21	4	17.12	-0.00	9	16.70		
00636	11 42 2.223	-02 14 21.32	0.000	-1.49	0.121	21	4	17.12	-0.00	9	16.70		
00637	11 42 4.442	-02 14 21.32	0.000	-1.49	0.121	21	4	17.12	-0.00	9	16.70		
00638	11 16 55.562	-01 16 20 16.40	0.002	-0.43	0.010	10	76.06	-0.65	13	16.00			
00639	11 46 30.165	-01 14 55 16.12	0.024	-1.32	0.142	10	76.06	-0.65	13	16.00			
00640	11 22 37.621	-00 52 20 40.95	0.062	3.02	0.060	9	7	16.56	-1.65	7	16.56		
00641	11 25 42.207	-01 47 50.49	0.017	2.40	0.021	10	76.06	-0.26	13	16.00			
00642	11 25 6.576	-01 25 15.12	0.026	0.19	0.013	12	2	17.03	-0.31	40	16.00		
00643	11 23 5.056	-01 16 24.33	0.032	-1.09	0.039	6	5	16.44	-0.64	20	16.00		
00644	11 32 54.645	-01 15 55 17.64	0.034	0.15	-0.619	2	17.31	13	1	17.03			
00645	11 37 17.223	-01 04 32 47.33	0.021	-2.91	-0.124	8	6	16.87	1.46	3	17.21		
00646	11 36 52.184	-01 03 37 0.62	0.029	3.242	4.01	0.004	9	5	17.06	-2.44	24	16.97	
00647	11 36 53.225	-01 03 20 2.20	-0.004	-0.44	-0.004	9	5	17.06	-0.46	24	16.97		
00648	11 42 24.014	-01 16 21.32	0.029	3.07	3.06	0.009	16	4	17.18	1.46	3	17.18	
00649	11 44 35.616	-01 21 36.72	0.031	2.39	0.007	11	6	17.02	-1.25	15	17.02		
00650	11 44 47.635	-01 21 39.40	-0.004	-1.07	-0.224	2	16.46	-1.46	11	11	17.02		
00651	11 45 45.567	-01 26 12.04	0.027	2.27	-0.001	12	2	17.03	-0.77	12	17.03		
00652	11 33 45.026	-01 16 14.74	0.017	-1.24	0.010	12	5	16.64	0.22	27	16.64		
00653	11 33 46.222	-01 16 22 4.94	0.037	-0.010	0.000	12	5	16.64	0.22	27	16.64		

THE SPANISH POPULATION IN THE UNITED STATES (1910)

THE BRITISH AND FRENCH CANALS.



SISTEMA DE COORDENADAS PLANETARIAS (TRIGONOMETRICAS)									
	RAZON	DEC. RA	DEC. DEC.	PM (RA)	PM (DEC)	(C-C)RA	(C-C)DEC	PT	N
	RAZON	DEC. RA	DEC. DEC.	PM (RA)	PM (DEC)	(C-C)RA	(C-C)DEC	PT	N
00915	23 45 42.5	15 45 00.0	-16 16 14	0.120	2.039	2	7	76.450	-5.45
00916	23 25 25.0	15 45 00.0	-14 12 27.0	0.076	1.42	-0.004	6	75.62	-6.11
00917	23 32 25.0	15 45 00.0	-17 15 01.0	0.110	1.01	0.034	11	75.62	-5.82
00918	23 34 41.0	15 45 00.0	-15 2 34.0	0.150	-2.023	0.021	5	77.30	4
00919	23 35 27.0	15 45 00.0	-14 31 44.0	0.149	2.044	-0.050	5	76.25	6
00920	23 41 16.0	15 45 00.0	-16 35 26.0	0.070	0.021	-0.008	14	76.25	3.15
00921	23 41 16.0	15 45 00.0	-21 57 00.0	0.054	-1.028	0.018	7	76.450	4
00922	23 41 32.0	15 45 00.0	-16 57 46.0	0.150	0.203	-0.007	11	76.450	-5
00923	23 44 26.0	15 45 00.0	-20 8 31.0	0.110	-1.073	0.008	6	76.450	-0.35
00924	23 44 26.0	15 45 00.0	-16 4 24.71	1.492	2.055	-0.252	5	76.450	1.7
00925	23 45 45.0	15 45 00.0	-15 5 35.0	0.057	-2.039	0.067	11	76.450	5
00926	23 46 25.0	15 45 00.0	-16 5 35.0	0.070	-1.044	0.010	7	77.15	1.5
00927	23 51 44.0	15 45 00.0	-11 43 21.0	0.127	0.060	0.012	10	76.450	2
00928	23 52 32.0	15 45 00.0	-14 4 20.0	0.070	-1.054	-0.002	6	76.450	1
00929	23 54 24.0	15 45 00.0	-13 55 27.0	0.100	-3.026	0.050	7	76.450	1.1
00930	23 57 59.0	15 45 00.0	-14 55 27.0	0.026	0.30	-0.121	10	76.450	3
00931	23 58 15.0	15 45 00.0	-15 2 49.0	0.157	3.04	0.415	12	76.450	4

**PROYECTO MERIT. NUEVAS TECNICAS PARA LA DETERMINACION DE LA ROTACION DE LA TIERRA**

Lic. Raúl A. PERDOMO

Observatorio Astronómico, Universidad Nacional de La Plata

**RESUMEN:**

En la década pasada se desarrollaron nuevas técnicas para la determinación del Movimiento del Polo y la velocidad de rotación de la Tierra. Se describen brevemente los principios básicos y principales logros alcanzados por las mismas (técnicas astronómicas clásicas, satélites Doppler, Laser con satélites, Laser con la Luna y Radiointerferometría). El Proyecto MERIT es un programa de colaboración internacional para intercomparar las mencionadas técnicas con vistas a mejorar y reorganizar los servicios existentes. Se describen detalladamente las razones y objetivos de esta campaña.

**INTRODUCCION**

Desde fines del siglo pasado se realizan determinaciones sistemáticas de tiempo y latitud en distintos observatorios del mundo, mediante la observación de estrellas con instrumentos astronómicos. Los resultados individuales son remitidos al International Polar Motion Service (I.P.M.S.) y al Bureau International de L'Heure (B.I.H.) donde son procesados para obtener las coordenadas del polo de rotación de la Tierra y el TU1. En la pasada década se desarrollaron nuevas técnicas con esta finalidad. Se dan una explicación de cada una de ellas y una descripción del proyecto MERIT, un programa de colaboración internacional "to Monitor Earth Rotation and Intercompare the Techniques of observation and analysis".

**1. Movimiento del Polo y Rotación de la Tierra:**

El movimiento de la Tierra alrededor de su centro de masa puede descomponerse en dos partes, el movimiento del eje de rotación en el espacio, y el movimiento de la tierra respecto de éste. Las causas principales del primero son las fuerzas externas y su manifestación visible es la variación de las coordenadas de los objetos celestes (por el movimiento del sistema de referencia), su formulación teórica es conocida. El movimiento de la Tierra respecto de su eje de rotación es más complejo en virtud de la cantidad de variables de carácter geofísico involucradas, su consecuencia observable es la variación de las coordenadas geográficas y la duración de una rotación sidérea; debe ser determinado observacionalmente. Los efectos más no

bles y sus causas posibles, pueden resumirse de la siguiente forma (1):

a) Una oscilación libre de período aproximado de 430 días y semi amplitud del orden de ".2. El momento de inercia de la Tierra respecto del eje polar de inercia, es mayor que respecto de los ejes ecuatoriales, por la no esfericidad de la Tierra, y el eje instantáneo de rotación no coincide con el eje polar de inercia. En este caso, la teoría predice un movimiento circular de uno respecto del otro.

b) Una oscilación forzada de período anual y semi amplitud del orden de ".1, causada por cambios estacionales en la distribución de las masas de aire, ciclo de la vegetación, etc.

c) Una variación secular. Distintos autores señalan ".003/año, otros ponen en duda su existencia.

d) Variaciones irregulares de origen desconocido.

Las variaciones en la velocidad angular de rotación permanecieron ocultas hasta la década del 30 en que fue posible contar con relojes de suficiente precisión. Las características principales son: (2):

a) Una variación anual en la duración de una revolución sidérea de semi amplitud algo menor que 1 ms. También asociada a fenómenos meteorológicos estacionales (fundamentalmente, intercambios de cantidad de movimiento entre la atmósfera y los océanos).

b) Una variación secular provocada por el efecto disipativo del rozamiento en el fondo del mar, corrientes oceánicas, etc, ( $s.002/siglo$ ).

c) Variaciones irregulares provocadas por causas desconocidas.

## 2. Servicios Internacionales. Técnicas Astronómicas Clásicas:

Como se mencionó en la introducción, dos centrales mundiales, B.I.H. e I.P.M.S., se encargan de procesar los resultados de tiempo y la titud de los distintos observatorios participantes, para obtener las coordenadas de las estaciones participantes en una época origen, y el TU1, tiempo rotacional de la Tierra, respecto de una escala uniforme derivada del tiempo atómico. La precisión estimada en cada caso, es de ".01 (unos 30 cm sobre la superficie de la Tierra) y  $s.001$  respectivamente, con una resolución de 5 días. Los resultados finales de cada año son publicados en B.I.H. -Annual Report y Annual Report of the I.P.M.S.

Las estaciones astronómicas que contribuyen con sus resultados son aproximadamente 50. Los instrumentos de que se valen son, básicamente los siguientes: Anteojo Cenital Visual (determinaciones de latitud mediante la observación de distancias cenitales meridianas de pares de estrellas); Anteojo de Pasajes (determinaciones de tiempo mediante la observación de tiempos de paso por el meridiano); Tubo Cenital Fotográfico y Astrolabio (determinaciones de tiempo y latitud con observaciones cenitales y a una altura fija, respectivamente).

## 3. Nuevas Técnicas:

En el año 1972, el B.I.H. incorporó al conjunto de las observacio

nes astronómicas clásicas, las obtenidas por medio del rastreo de satélites Doppler. En la pasada década se emplearon otras técnicas, a nivel experimental, con la misma finalidad.

a) Radiointerferometría:

El sistema operativo de esta técnica consiste en la observación simultánea de una misma radiofuente desde dos antenas separadas. La diferencia de camino entre las señales recibidas en ambos extremos de la línea de base provoca una diferencia de fase entre las mismas, que es función de la longitud de base, la frecuencia de la señal y el ángulo entre la base y la dirección a la radiofuente (3).

Las coordenadas de las radiofuentes lejanas definen un sistema de referencia inercial respecto del cual cambia la orientación de la base como consecuencia del movimiento de la Tierra. Una vez deducido el movimiento del conjunto en el espacio (variación de las coordenadas por precesión y nutación), lo que resta es provocado por el movimiento del polo y la rotación de la Tierra (4).

Desde el punto de vista instrumental, los interferómetros se pueden separar en dos grandes grupos: conectados (CEI) ó de base larga (VIBI). (5). Los primeros están físicamente conectados, mediante cables ó radioenlace, las distancias máximas alcanzables en cada caso, son de algunas decenas y algunos cientos de km. respectivamente. Las señales de HF recibidas son convertidas en IF mediante un mismo oscilador local y correlacionadas en tiempo real.

En los del tipo VIBI, no existe ninguna vinculación directa entre los extremos de la línea, como tampoco existe límite para la longitud de la misma. Las señales son tratadas en forma independiente y grabadas con marcas de tiempo de los relojes locales perfectamente sincronizados. Con posterioridad se correlacionan las respectivas grabaciones.

b) Rastreo de satélites:

Las técnicas satelitarias reposan en el supuesto conocimiento de la órbita del satélite. En tales circunstancias, el movimiento del satélite, descripto en un sistema inercial, es seguido desde cierto número de estaciones cuyas coordenadas en tal sistema inercial, varían por el movimiento de la Tierra. Las discrepancias entre los valores calculados y observados de la posición del satélite, se interpretan como errores en los parámetros usados en la transformación. En la práctica, estas discrepancias pueden relacionarse con las coordenadas del polo de distintas manera, por ejemplo, en términos de los elementos orbitales. (6).

Sin profundizar mayormente el problema, resulta evidente que la máxima dificultad proviene del supuesto original, el perfecto conocimiento de la órbita en un sistema inercial. Sin embargo, para la determinación del movimiento del polo, tal conocimiento solo es estrictamente necesario en el período durante el cual se realizan las observaciones para dar una posición del polo (menor que 5 días) (7). La situación es distinta si se trata de la determinación de TU1. En efecto, la forma de determinar la rotación es tomar como referencia la posición

en el espacio del plano orbital del satélite a lo largo del tiempo. Tal posición es afectada por distintos fenómenos de carácter secular poco conocidos (algunos términos del potencial de la Tierra, frenado atmosférico, etc.).

En efecto, las observaciones de las distintas estaciones se utilizan para ajustar conjuntamente los parámetros orbitales y las variaciones de las coordenadas por el movimiento del polo. Un error en el tiempo solo causa un mal posicionamiento del plano orbital en un sistema inercial, sin alterar, por ello, la orientación de la tierra en tal sistema ni la determinación del movimiento del polo, aunque obviamente no es posible determinar TUI (8).

Las técnicas más usadas para el rastreo de satélites son dos: recepción de satélites Doppler y disparos Laser. Las características más importantes de cada una de ellas pueden resumirse así:

Los satélites Doppler emiten señales en dos frecuencias fijas (para eliminar el efecto ionosférico que depende de la frecuencia). La frecuencia recibida por el receptor terrestre varía continuamente por efecto Doppler. El receptor cuenta el número de ciclos recibidos entre  $t_1 + dt_1$  y  $t_2 + dt_2$  (tiempos de la estación), que es igual al enviado entre  $t_1$  y  $t_2$  (tiempo del satélite). Como  $dt_1$  y  $dt_2$  (tiempos que tarda la señal en recorrer la distancia satélite-receptor) dependen de las distancias al comienzo y fin del conteo de ciclos, es posible establecer ecuaciones de diferencias de distancia en función de la cuenta observada (9). El sistema Doppler tiene la virtud de ser operable en cualquier condición climática.

El rastreo de satélites mediante disparos Laser consiste en medir el tiempo empleado por un pulso Laser en reflejarse en el satélite y ser recibido en la misma estación emisora. Los pulsos Laser son dirigidos ópticamente para lograr dispersiones del haz del orden de  $10''$ , el mismo sistema óptico recibe el rebote en el satélite. La precisión de una medida es algo mejor que la del sistema Doppler (alrededor de 1m.), en cambio el sistema Laser está limitado en su capacidad operativa por las condiciones atmosféricas. Una importante característica de este sistema es el carácter pasivo del elemento del satélite que participa en la medida (retroreflectores).

Es oportuno señalar las características que hacen del Laser (Light Amplification by Stimulated Emission of Radiation) el elemento más apropiado para esta aplicación. El Laser es un emisor de radiación de muy elevada intensidad, obtenida por el proceso de emisión estimulada gran direccionalidad, fase y frecuencia muy bien definidas. (10).

### c) Distancia Tierra-Luna con disparos Laser:

La misión Apolo 11 (1969) condujo a la superficie lunar el primer panel de retroreflectores. Con posterioridad fueron instalados otros cuatro: Luna 17 (1970), Apolos 14 y 15 (1971) y Luna 21 (1973). (11).

De lo dicho anteriormente, podría pensarse que la determinación de la distancia Tierra-Luna no es más que un caso particular de aplicación de la técnica descripta para los satélites, sin embargo, el problema tiene características muy especiales: en lo técnico, porque la

distancia a la Luna exige una gran potencia de disparo, una muy baja dispersión del haz, una técnica de apuntado y seguimiento sofisticada y ajustable para las distintas condiciones del día luna. (12). En lo técnico, porque el movimiento de rotación de la Luna, sus parámetros orbitales, perturbaciones, intercambios de energía en el sistema Tierra-Luna, etc. (13), están directamente involucrados en las medidas.

El sistema es particularmente interesante por su potencialidad en contribuir al conocimiento de la teoría lunar. La estabilidad de su plano orbital permite estudiar la rotación de la Tierra durante algo así como 10 años, sin introducir errores sistemáticos apreciables.

#### 4. Proyecto MERIT:

Como puede inferirse de lo expuesto, resulta impostergable conocer la real capacidad de operación, y la precisión relativa de los distintos sistemas. Es así como en el transcurso del simposio n° 82 de la U.A.I. sobre rotación de la Tierra, se dieron los primeros pasos mediante la constitución de un grupo de trabajo para el estudio del problema. La propuesta del grupo mencionado (proyecto MERIT) fue aprobada en las Asambleas Generales de la U.A.I. (Montreal, 1979) y de la U.G. G.I. (Canberra, 1979). El sistema operativo y los objetivos perseguidos pueden resumirse de la siguiente manera: el programa ha sido dividido en dos etapas, una campaña corta y una campaña principal, ambas subdivididas en distintas fases (preparación, observación, análisis y conclusiones).

La fase observacional de la campaña corta se encuentra en pleno desarrollo (1° de agosto al 31 de octubre de 1980). Los objetivos de la misma son:

- a) Chequear y mejorar las respectivas organizaciones para la campaña principal.
- b) Impulsar el desarrollo de las nuevas técnicas.
- c) Proveer información comparativa para la preparación de la campaña principal.
- d) Obtener un sistema homogéneo y consistente de posiciones de las estaciones participantes.
- e) Chequear la posibilidad de detectar fluctuaciones de corto período y proveer un servicio rápido para las mismas.

La fase observacional de la campaña principal se desarrollará desde mediados de 1983 a 1984 (al menos, un año). Las tareas a desarrollar durante la fase preparatoria se establecerán en función de los datos y resultados obtenidos durante la campaña corta. Los objetivos generales de esta etapa son los siguientes:

- a) Comparar las distintas técnicas y su real capacidad operativa con vistas a organizar los servicios internacionales.
- b) Obtener una cantidad y variedad de datos sobre la rotación de la Tierra que contribuyan a mejorar conocimientos de fenómenos geofísicos y astronómicos de gran importancia.

## 5. Conclusiones:

La determinación del movimiento del polo mediante técnicas satelitarias ha alcanzado un importante grado de madurez. La precisión obtenida es del mismo orden que la del B.I.H., y seguramente se incrementará en la medida que se perfeccionen los modelos del potencial terrestre, presión de radiación solar, albedo, frenado atmosférico, etc.

Los trabajos realizados mediante VLBI son escasos y discontinuos aunque muy promisorios (un orden mejor que el B.I.H.? ). Con CEI, el equipo de NRAO (largo de base 35 km.) determina variaciones de tiempo y latitud en forma continuada, pero una sola base no permite separar los tres parámetros a determinar. Se prevee una intensificación de aportes radiointerferométricos en los próximos años.

Con respecto al Laser con la Luna, solamente una estación (Mc Donald-Texas) ha operado regularmente, aunque varias más se encuentran en una etapa experimental. La técnica ha resultado más complicada de lo esperado, pero el grado de complejidad depende en buena parte del destino que se pretenda dar a su utilización futura. (12).

La obtención de resultados en forma continua y simultánea, en el marco del programa MERIT, proveerá una base firme para vislumbrar el futuro de los servicios que determinan el movimiento de rotación de la Tierra. La diversidad de técnicas y sistemas de referencia empleados, permiten augurar un mejoramiento en la precisión y resolución de los resultados, en el curso de la presente década.

## REFERENCIAS

1. Markowitz, W.: 1976, *Sky and Telescope* 52, p. 99.
2. Melchior, P.: 1972, "Physique et Dynamique Planétaires", Vander-e  
diteur, Louvain-Bruxelles, vol. 1.
3. Elsemore, B.: 1979, "Time and the Earth's Rotation", I.A.U. symp.  
82, p. 177.
4. Johnston, K.: 1979, "Time and the Earth's Rotation", I.A.U. symp.  
82, p. 183.
5. Counselman, C.: 1976, *Ann. Rev. Astron. Astrophys.*, 14, p. 197.
6. Lambeck, K.: 1972, "Rotation of the Earth", I.A.U. symp. 48, p. 123.
7. Smith, D.; Kolenkiewicz, R.; Dunn, R.; Torrence, M.: 1979, "Time  
and the Earth's Rotation", I.A.U. symp. 82, p. 231.
8. Anderle, R. and Beuglass, L.: 1970, *Publ. Géodes.*, 96, p. 125.
9. Ashkenazi, V.; Gough, R.; Sykes, R.: 1977, "Determinación de Posi-  
ciones Geodésicas por medio de Satélites Doppler", e-  
ditor-Instituto Geográfico Militar Argentino.
10. Garavaglia, M.: 1976, "El Laser", serie de Física, monografía nº  
12, editor Organización de los Estados Americanos.
11. Bender, P.; Currie, D.; Dicke, R.; Eckhardt, D.; Faller, J.; Kaula  
W.; Mulholland, J.; Plotkin, H.; Poultney, S.; Silver-  
berg, E.; Wilkinson, D.; Williams, J.; Alley, C.: 1973  
*Science* 182, p. 229.

12. Silverberg, E.: 1979, "Time and the Earth's Rotation", I.A.U.  
symp. 82, p. 247.
13. Kovalevsky, J.: 1974, "New Problems in Astrometry", I.A.U. symp.  
61, p. 269.

CORRECCIONES PRELIMINARES A LA ASCENCION RECTA Y DECLINACION  
DE RADIOFUENTES OPTICAS

W. MANRIQUE, A. SERAFINO, E. ACTIS, J. BALDIVIESO y E. ALONSO

Observatorio Astronómico "Félix Aguilar",  
Universidad Nacional de San Juan

**RESUMEN:** La necesidad de poseer posiciones lo más precisas posibles de las denominadas radiofuentes ópticas, ha inducido a una campaña mundial de observaciones sistemáticas de estos objetos. El Astrolabio Danjon del Observatorio "Félix Aguilar" participa de esta campaña. Se presentan algunos resultados provisorios.

1. INTRODUCCION

La vinculación de los sistemas de referencia, "óptico" y "radio" ha sido objeto de diferentes estudios y especialmente anunciado por la Unión Astronómica Internacional en el Simposio N° 61 realizado en Perth, agosto de 1973.

Según lo informado por Mlle. Debarbat del Observatorio de París, luego del Coloquio N° 48 de la U.A.I. realizado en Viena en 1978, la Comisión 24 de la U.A.I. ha creado un grupo de trabajo para la identificación de radiofuentes ópticas apropiadas para la vinculación de los sistemas de referencia. Este grupo ha preparado ya una lista preliminar.

Por tal razón ha aparecido la necesidad de obtener posiciones lo más precisas posibles de estos objetos, lo que ha inducido al Departamento de Astrometría Fundamental del observatorio de París a proponer una campaña mundial de observaciones sistemáticas y conjuntas, con Astrolabios, lo que permitiría cubrir una gran parte, para la vinculación ya citada.

El Astrolabio Danjon del Observatorio de San Juan, participa de esta campaña observando sistemáticamente todos los objetos posibles dentro de los programas ya establecidos.

Como desde 1968, estamos observando dos de los objetos clasificados como radiofuentes ópticas, presentamos resultados provisorios de las correcciones  $\Delta\alpha$  a las ascensiones rectas y  $\Delta\delta$  a las declinaciones con el objeto de tratar de detectar eventuales movimientos.

2. CALCULO

Para el cálculo se han empleado los métodos y fórmulas clásicas ya expuestos en otros trabajos y que fueron desarrolladas por B. Guinot y S. Debarbat:

$$\Delta \alpha = \frac{M_E - M_W}{30 |\operatorname{Sen} Z| \cos \varphi} \quad \Delta \delta = - \frac{M_E + M_W}{2 \cos S}$$

donde  $M_E$  y  $M_W$  son los promedios de los residuos pesados correspondientes a los pasajes este y oeste, corregidos para referirlos a un origen común (grupo medio).

Se han utilizado 30 residuos al Este y Oeste en promedio y por año.

### 3. REFERENCIAS

	ζ PUPPIS		γ VELORUM	
AÑOS	Δα	Δδ	AÑOS	Δα
1969	-0 <sup>s</sup> .013	---	1969	-0 <sup>s</sup> .040
1970	-0.005	---	1970	-0.033
1971	-0.007	---	1971	-0.028
1972	-0.008	---	1972	-0.026
1973	-0.001	---	1973	-0.025
1974	-0.009	---	1974	-0.028
1975	-0.007	---	1975	-0.024
1976	-0.007	---	1976	-0.024
1977	-0.004	---	1977	-0.024
1978	-0.007	---	1978	-0.009
1979	-0.007	---	1979	-0.014
				-0.07

### 4. REFERENCIAS

- Debarbat, S.; Guinot, B.: La Méthode des Hoteurs Égales en Astronomie, Gordon and B.
- Guinot, B.; Debarbat, S.; Krieger-Fiel, J.: Bull. Astron. 23 PP. 307-325.
- Manrique, W.; Serafino, A.; Actis, E.; Baldivieso, J.: 1976, Firth Catalogue Astrolabe of San Juan.

RESULTADOS DE TIEMPO Y LATITUD EN LA ESTACION ASTRONOMICA  
RIO GRANDE

C.A. MONDINALLI y R.A. PERDOMO

Observatorio Astronómico, Universidad Nacional  
de La Plata

*RESUMEN:* Se analizan los resultados obtenidos desde marzo/79 hasta junio/80. Se incluyen algunos aspectos del funcionamiento de la Estación y del instrumental.

*Key words:* Astrometría, Astrolabio, observaciones de Tiempo y Latitud.

## 1. INTRODUCCION

Desde marzo de 1979 hasta agosto de 1980 se habían observado en la EARG 263 fundamentales (Tiempo y Latitud) en 171 noches. Parte de este período estuvo destinado a la selección y entrenamiento de los observadores, de tal manera que, para efectuar el análisis del intervalo hubo que previamente adoptar un criterio para ponderar los resultados.

## 2. SELECCION DEL MATERIAL OBSERVACIONAL

Se utilizó en primera instancia como factor de ponderación el acuerdo interno de cada grupo mediante el error medio cuadrático de la unidad de peso ( $\sigma$ ). Su valor medio para un Astrolabio, incluídos los errores de catálogo, oscila entre  $0.^{\circ}25$  y  $0.^{\circ}45$  (1), de acuerdo a la menor o mayor influencia de éstos.

Se eliminaron aquellos grupos con acuerdos internos inferiores a  $\sigma = 0.^{\circ}60$ , es decir aquellos grupos que por inexperiencia del observador o por otras causas acordaban mal internamente. Al conjunto de observaciones resultante de la aplicación del criterio anterior, 135 grupos, se las comparó, separando cada una de las incógnitas, con los valores calculados de la Latitud y el Tiempo a partir de las coordenadas del polo y los valores de TU1-TUC publicados por el BIH cada cinco días.

Para ir visualizando el tamaño de la muestra en la Tabla 1 se dan los totales:

TABLA I

FECHA	Nº NOCHES	Nº GRUPOS	Nº ESTRELLAS
16.3.79 al 31.8.80	171	263	6266
16.3.79 al 14.6.80	146	224	5281

Se calcularon los valores medios de O-C y la dispersión para los subconjuntos de grupos observados ( $n$ ) para distintos valores de  $\sigma$ , tal como se muestra en la Tabla II.

TABLA II

$\sigma$	n	LATITUD		TIEMPO	
		$\sigma$	$\sigma$	$\sigma$	$\sigma$
$\leq 0.^{\circ}60$	135	0.^{\circ}004 <sub>5</sub>	$\pm.^{\circ}20$	-0. <sup>s</sup> <sub>0</sub> 013 <sub>7</sub>	$\pm.^{\circ}035$
$\leq .50$	94	.005 <sub>6</sub>	$\pm .17$	- .016 <sub>5</sub>	$\pm .029$
$\leq .45$	72	.026 <sub>0</sub>	$\pm .13$	- .012 <sub>3</sub>	$\pm .021$
$\leq .40$	47	.004 <sub>5</sub>	$\pm .15$	- .011 <sub>3</sub>	$\pm .021$
$\leq .47$	76	0.^{\circ}024	$\pm.^{\circ}14$	-0. <sup>s</sup> <sub>0</sub> 0126	$\pm .020$

Con  $\sigma < 0.^{\circ}45$  se obtiene un número razonable de puntos, sin disminuir la precisión y éste parece un criterio aceptable teniendo en cuenta el acuerdo en ambas coordenadas.

Finalmente, analizando el conjunto de observaciones con  $\sigma < 0.^{\circ}45$  se eliminaron tres grupos en Tiempo con residuos muy fuertes contra la curva calculada del BIH (4 veces el valor de la dispersión) y se incorporaron siete grupos con  $0.^{\circ}45 < \sigma < 0.^{\circ}47$ . En Latitud se eliminaron e incorporaron los mismos grupos. Los valores definitivos figuran en la parte inferior de la Tabla II.

Efectuando el análisis por observador, de los residuos contra los valores calculados, en cada una de las coordenadas, obtenemos:

TABLA III

OBS	n	LATITUD		TIEMPO		N
		$\overline{O-C}$	$\overline{O-C}$	$\overline{O-C}$	$\overline{O-C}$	
B	21	-0".03 <sub>4</sub>	<u>.09</u>	-0".007 <sub>7</sub>	<u>.012</u>	26
C	20	<u>.02</u> <sub>2</sub>	.14	<u>-.015</u> <sub>8</sub>	.022	37
I	13	<u>+.04</u> <sub>2</sub>	.18	<u>-.009</u> <sub>2</sub>	.022	22
P	5	<u>+.11</u> <sub>8</sub>	19	<u>-.022</u> <sub>6</sub>	.019	38
R	3	<u>+.17</u> <sub>0</sub>	.06	<u>-.017</u> <sub>5</sub>	.035	58
M	4	<u>-.01</u> <sub>0</sub>	.12	<u>-.001</u> <sub>8</sub>	.013	4
RP	7	<u>+.02</u> <sub>4</sub>	.05	<u>-.007</u> <sub>3</sub>	.016	7
L	3	<u>+.11</u> <sub>3</sub>	.08	<u>-.016</u> <sub>7</sub>	.021	32
	76	<u>+0".02</u> <sub>4</sub>	<u>.12</u>	<u>-0".011</u> <sub>5</sub>	<u>.020</u>	224

Con excepción de (B), (M) y (RP) excluidos obviamente, del resto de los observadores (C) e (I) muestran una relación entre N y n mucho mejor, (número total de grupos observados contra el número incluido), que (P), (R) y (L). Estos tres últimos, con un número pequeño de observaciones, muestran en general valores discrepantes de ambas coordenadas.

El análisis permitió poner en evidencia vicios de observación en (P), que corregidos, mejoraron considerablemente las observaciones. En cuanto a (L) luego de un año de inactividad, volvió a observar con acuerdos internos muy aceptables.

Efectuando el análisis por grupos se obtienen los valores siguientes:

TABLA IV

GRUPO	n	LATITUD		TIEMPO	
		$\bar{O-C}$	$\pm$	$\bar{O-C}$	$\pm$
1	4	-0 <sup>s</sup> 10 <sub>0</sub>	.07	-0 <sup>s</sup> 003 <sub>5</sub>	.031
2	3	- .12 <sub>7</sub>	.10	+ .012 <sub>0</sub>	.013
3					
4	3	+ .14 <sub>0</sub>	.07	+ .005 <sub>0</sub>	.022
5	9	- .02 <sub>9</sub>	.15	+ .006 <sub>6</sub>	.015
6	8	- .06 <sub>8</sub>	.06	+ .000 <sub>9</sub>	.012
7	16	+ .03 <sub>8</sub>	.13	+ .012 <sub>9</sub>	.020
8	11	- .00 <sub>8</sub>	.10	- .010 <sub>0</sub>	.009
9	12	+ .02 <sub>5</sub>	.13	- .010 <sub>5</sub>	.022
10	6	+ .09 <sub>2</sub>	.15	- .010 <sub>2</sub>	.010
11	4	- .04 <sub>8</sub>	.23	- .003 <sub>5</sub>	.010
	76		<u>.12</u>		<u>.016</u>

Pese al escaso número de observaciones los valores son consistentes a juzgar por las dispersiones en ambas coordenadas.

Lamentablemente, terminado el período de entrenamiento, el personal no pudo ser designado de inmediato resintiéndose considerablemente las observaciones. Esto explica lo ocurrido con el grupo 3.

La Figura 1 muestra los residuos en Tiempo y Latitud de los 76 grupos analizados contra los valores calculados en ambas coordenadas. Están representados como puntos de menor diámetro. Superpuesto en la figura se ha representado los valores del análisis por grupos de la Tabla IV. Sobre el eje de las abcisas se llevó la época promedio aproximada de observación de los distintos grupos y en ordenadas los valores O-C. Son los puntos de mayor diámetro.

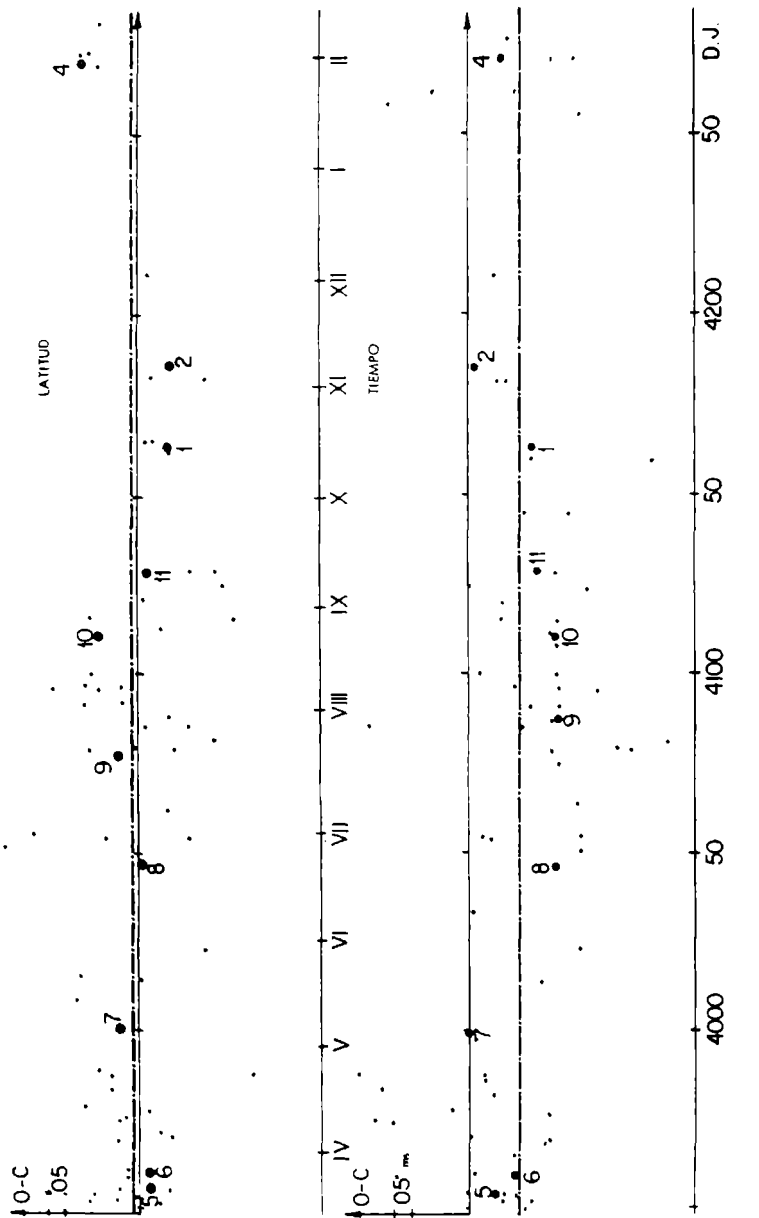


FIGURA 1

### 3. PROGRAMAS EN EJECUCION

A partir de junio/80 comenzó el envío regular de observaciones al BIH e IPMS en el esquema semanal. A partir del 1º de agosto los envíos se efectúan por telex para adecuarlos a la campaña corta del proyecto MERIT.

Paralelamente se continuaron observando las estrellas de Catálogo para determinar correcciones sistemáticas a los errores del FK4.

Se participará en el programa de observación de Radiofuentes brillantes con réplica óptica, auspiciado por la Comisión 24 de la UAI (2), tendiente a establecer una conexión entre los sistemas de referencia "óptico" y "radio". Sobre la lista de 46 radiofuentes galácticas 22 objetos que tienen magnitudes iguales o inferiores a 6.2, -de los cuales 9 son estrellas del FK4-, permitirán llevar a cabo una campaña sistemática de observación por parte de una docena de Astrolabios. Tres de esas radiofuentes podrán ser observadas desde Río Grande.

### 4. INSTRUMENTAL - PERSONAL

Desde junio/80 está utilizándose el impresor-promediador (3), con muy buenos resultados.

Se continuó con la comparación sistemática de la unidad de tiempo de la EARG (osciladores a cristal de cuarzo) con señales radiohorarias (LOL) y con Omega Trelew (VLF) en 13,6 KHz (4).

Un transporte de hora efectuado en julio/80 mediante el oscilador Ebauches 81300 permitió comprobar que la diferencia en tiempo de la EARG se mantuvo siempre mejor que un milisegundo con respecto a TUC.

En julio de 1980 se produjo la renuncia de uno de los observadores, el señor F. Costa. Fue reemplazado a partir del 1º de agosto por el señor L. Barbero, que había participado en 1979 del programa general de entrenamiento del personal.

### REFERENCIAS

- (1) Guinot, B.: Bull.Astron. 18, p. 302, 1954.
- (2) Bébarbat, S.: IAU Colloquium N° 48, p. 121, Viena 1978.
- (3) Pincioli, R.: Bol. N° 25 de la AAA, 1980.
- (4) Mondinalli, C. y Perdomo, R.: Bol. N° 25 de la AAA, 1980.

BINARIAS Y SISTEMAS

MULTIPLES ESTELARES



REINVESTIGACION DE LA VARIABLE DE ECLIPSE  $\mu^1$  SCORPII

Jorge SAHADE\* , Lía GARCIA de FERRER+

\* IAFE - + Observatorio Astronómico, La Plata

El sistema binario cerrado  $\mu^1$  Sco que consta de dos estrellas de magnitudes 3.0 y 3.3 cuyos tipos espectrales son B1.5 y B y tiene un período de 35 horas, ha sido observado en la Estación Astrofísica de Bosque Alegre y con el satélite Internacional Ultraviolet Explorer.

Hasta el momento se han analizado aproximadamente la mitad de los espectros de que se dispone y se ha encontrado que:

a) la curva de velocidad radial obtenida sería algo diferente a la obtenida por Struve en 1940.

b) no habría variaciones en la intensidad de las líneas al pasar de una cuadratura a otra.

c) un examen del espectro ultravioleta permitió detectar la presencia de dos tipos diferentes de líneas estelares y de otras líneas que generalmente se consideran de origen interestelar.

**EL SISTEMA ECLIPSANTE AU MONOCEROTIS**

**Osvaldo FERRER**

**Observatorio Astronómico, La Plata**

Este sistema formado por una estrella B5V y una F0, ha sido observado espectroscópicamente desde el Observatorio Interamericano de Cerro Tololo, en una dispersión de 43 Å/mm. Las líneas del H muestran una distribución de velocidades radiales diferente de la de las líneas del He I, principalmente durante la primera mitad del ciclo orbital. La línea Ha presenta una emisión ancha y una absorción central que desaparece hacia la fase 0.75.

## MORFOLOGIA ESPECTRAL EN COLLINDER 228

Hugo LEVATO\* y Stella MALARODA+

Observatorio Astronómico, La Plata

\* CONICET y + CIC

Se han obtenido espectrogramas en dos dispersiones (125 Å/mm y 39 Å/mm) de más de 40 miembros o probables miembros del cúmulo abierto Collinder 228. Todos los espectros fueron ensanchados entre 0.9 y 1.2 mm. En el proceso de clasificación se ha advertido la presencia de varios objetos binarios de dos espectros. Además, las líneas de hidrógeno son en general muy anchas dándole a los espectrogramas una apariencia particular.

Se discuten además distancia, diagrama HR y su relación con los Trumpler 14 y 15.

VARIACIONES EN LA INTENSIDAD DEL DOBLETE ULTRAVIOLETA  
DEL MG II EN ESTRELLAS SIMBIOTICAS

Jorge SAHADE\* y Estela BRANDI+

\* IAFE y + Observatorio Astronómico de La Plata

En imágenes obtenidas con el satélite IUE, se han detectado variaciones en la intensidad de las líneas del Mg II  $\lambda\lambda$  2795-2803 Å, en algunas estrellas simbióticas. Seguramente se trata de un fenómeno semejante al observado en el sistema binario  $\mu^1$  Scorpis y debe estar correlacionado en la región del visible, con variaciones en la emisión del hidrógeno.

OBSERVACIONES IUE DE ESTRELLAS SIMBIOTICAS

Jorge SAHADE\* y Estela BRANDI+

\* IAFE y + Observatorio Astronómico de  
La Plata

Las observaciones realizadas con el satélite IUE sugieren que las estrellas simbióticas pueden clasificarse en dos amplios grupos. Uno de los grupos se caracteriza por emisiones intensas que provienen de un amplio rango de energías de excitación, mientras que el otro muestra un intenso continuo con líneas de absorción y muy pocas con sistemas binarios y que ellos probablemente difieren en las características y extensión de la cromósfera-corona que está presente en el sistema.

ANALISIS DE LA FOTOMETRIA EN EL LEJANO ULTRAVIOLETA DE  
BETA LYRAE

E. LAPASSET

Observatorio Astronómico, Córdoba

El modelo de disco opaco para la componente secundaria de Beta Lyrae demuestra ser válido, no sólo para las curvas de luz N y V, sino también para el lejano ultravioleta; para ello es necesario considerar la dominante radiación por líneas de emisión de la secundaria en el UV, la que ha sido observada espectroscópicamente. Se encuentra una notable evidencia fotométrica de una corona de líneas de emisión en las curvas de luz de 1550 y 1430 Å. En la banda de 1910 Å la emisión de las envolventes externas del sistema aporta alrededor de la mitad de la luz total; en las demás bandas no se detecta con certeza.

Primeramente, se ajustaron las curvas de luz en el UV por un método de correcciones diferenciales, hallándose una geometría muy similar a la anteriormente deducida de las bandas B y V. Luego se encontró una solución general para seis bandas (5500, 4350, 2460, 1910, 1550 y 1430 Å) con una configuración geométrica común a todas. La luminosidad de la secundaria resultó ser entre 10 y 20 veces mayor que la primera en las longitudes de onda más cortas. Esto parece concordar con la suposición de que una estrella de la secuencia principal no es una estrella colapsada o agujero negro, es la masa central del disco.

OBSERVACIONES DE AU MIC DURANTE LA CAMPAÑA INTERNACIONAL  
DEL IUE

Hugo MARRACO\*, Homero LUNA\* y Francisco LOPEZ GARCIA+

\* Observatorio Astronómico, La Plata  
+ Observatorio Astronómico, San Juan

Durante la campaña internacional del satélite IUE que se realizó en la primer semana de agosto de 1980, hemos observado la estrella variable de tipo flare AU Mic. Se han encontrado cuatro flares en siete horas de observaciones fotométricas y polarimétricas, que aún están en su etapa de reducción. Todas las observaciones fueron realizadas con el fotómetro fotoeléctrico y polarimétrico digital rotatorio del Observatorio de La Plata, adherido al telescopio reflector Perrin de 76 cm, de la Estación El Leoncito en la Pcia. de San Juan.

OBSERVACIONES POLARIMETRICAS DE HD 162679

Homero LUNA

Observatorio Astronómico, La Plata

Variaciones de la polarización lineal de HD 162679 de período 9 horas han sido registradas durante 1979 y 1980. Estas variaciones apuntan a suponer que esta estrella es binaria con un período deducido polarimétricamente. Las observaciones espectroscópicas, todavía escasas no confirman su naturaleza binaria, aunque la ausencia de eclipses y la poca variación en las velocidades radiales hacen pensar en una inclinación baja. La interpretación de las variaciones polarimétricas llevarán a obtener el valor de la inclinación, y confirmar o desechar esta hipótesis. Si la inclinación del sistema está acorde con las observaciones espectroscópicas y fotométricas y responde a un modelo coherente de un sistema binario, estaríamos en presencia de un sistema en el cual solo es factible obtener los parámetros orbitales por métodos polarimétricos.

FOTOMETRIA FOTOELECTRICA UBV DE V758 CENTAURI

S.L. LIPARI

Observatorio Astronómico, Córdoba

Se presentan 502 observaciones fotoeléctricas UBV individuales de la binaria eclipsante V758 Centauri, obtenidas en Bosque Alegre (Córdoba) en el período marzo-julio de 1980. En base a mínimos observados en cada color, se redeterminó el período y las efemérides correspondientes. Las curvas de luz obtenidas para este sistema -originalmente considerado del tipo EW- permitirían clasificarlo como perteneciente al tipo EB. Actualmente se prosigue con el análisis de las curvas de luz para obtener los correspondientes elementos orbitales.

METODO DE CURVAS DE LUZ SINTETICAS APLICADO A UZ OCTANTIS

Emilio LAPASSET y Roberto SISTERO

Observatorio Astronómico, Córdoba

Los métodos computacionales modernos de Wilson y Devinney están siendo utilizados para el análisis de las curvas de luz en fotometría UBV de la binaria eclipsante UZ Octantis. Como en otros trabajos anteriores y con el objeto de asegurar la unicidad de la solución, se probó en diferentes configuraciones iniciales. Sin embargo, en este caso no se ha logrado una convergencia de las soluciones; se encuentra que el parámetro  $q$  (relación de masas) es muy difícil de ajustar, oscilando a través de las distintas iteraciones alrededor del valor dado inicialmente. Varias "soluciones" han sido descartadas por no ajustar con precisión a las observaciones. En particular, el ajuste del mínimo secundario que evidencia ser un eclipse total, se considera determinante para una solución satisfactoria, que hasta el momento no se ha conseguido. Se continúa investigando con valores de  $q$  más pequeños.

PORCENTAJE DE BINARIAS EN LA ASOCIACION DE SCO-CEN

Hugo LEVATO\*, Stella MALARODA+, Nidia MORRELL+ y  
Gladys SOLIVELLA

Observatorio Astronómico, La Plata

\* CONICET, + CIC

Se han obtenido a lo largo de seis años alrededor de 8 espectrogramas por estrella de una lista de 83 pertenecientes a la Asociación de Scorpio-Centauro. Todos los espectros fueron medidos y las velocidades radiales heliocéntricas fueron llevadas al sistema de Lick a través de más de 60 espectrogramas de  $\gamma$  Hydreae y Vega. Los resultados fueron analizados primero en forma estadística utilizando un análisis de varianza que arrojó como resultado que 63 estrellas tienen velocidad radial variable, o sea un 76%. La determinación de órbitas preliminares será el siguiente paso.



COSMOLOGIA



SCALAR PARTICLES CREATION RATE IN AN EXPANDING UNIVERSE

M. CASTAGNINO \*, L. CHIMENTO \*\* and D. HARARI #

\* (Dept. de Matemática, Facultad de Cs. Exactas y Naturales, Univ. de Bs.As.)

\*\* (Dept. de Física, Fac. de Cs. Exactas y Naturales, Univ. de Bs.As.)

# (Becario de la Comisión de Investigaciones Científicas de la Pcia. de Buenos Aires).

Quantum field theory in curved space-time, where the gravitational field is treated as a classical solution of Einstein field equations and matter and radiation fields are quantized in that background, predicts the creation of particles in non-static situations, such as in an expanding universe (see refs. 1, 2 y 3 for recent reviews).

One of the crucial problems of this theory is that of defining the particle concept, which in the flat space case is given by the plane wave decomposition into positive and negative frequency parts of the field. This trouble can be avoided defining the particle number only in asymptotically static cases ("in-out" theories), but this procedure does not allow to reintroduce the created matter as a source in Einstein equations, in order to study its effects on the evolution of the universe. Thus it is generally preferred to work with quantities such as the energy-momentum tensor, defined directly from the field independently of the existence of a basis with well defined particle number for the quantum states. However, these quantities are generally divergent, and must be renormalized with ad-hoc methods (4).

In this work, on the contrary, we make use of the particle model for curved space-time recently proposed by one of the authors (M. Castagnino) and R. Weder (5), called the "quantum equivalence principle" in order to develop the general formalism to find the number of created particles as a function of time in an expanding universe.

The quantum equivalence principle allows an invariant descomposition of a field into its positive and negative frequency parts assuming that the Green functions for the Klein-Gordon equation in curved space coincide with the respective flat space-time Green function in a normal coordinate system (i.e. in the freely falling system that most closely resembles to cartesian coordinates). At ref. (6), by means of this principle, the boundary conditions over each Cauchy surface for the positive and negative frequency solutions are obtained up

to second order in an expansion in powers of the hubble coefficient  $H = \dot{a}/a$  for a Robertson-Walker spatially flat metric

$$ds^2 = g_{ij} dx^i dx^j = dt^2 - \sum_{\alpha=2}^3 a^2(t) dx^\alpha dx^\alpha \quad (1)$$

We consider a scalar field  $\phi(x)$  satisfying the Klein-Gordon equation generalised to curved space

$$(\Delta - m^2 - \xi R) \phi(x) = 0 \quad (2)$$

Where  $\Delta = -g_{ij} \nabla_i \nabla_j$  is the Laplace operator, with  $g_{ij}$  the metric tensor,  $\nabla_i$  the covariant derivative and  $R = 6(H+2H^2)$  the scalar curvature.  $\xi$  is an arbitrary parameter that must be taken equal to  $1/6$  in order to make the equation conformally invariant in the massless case. We find the appropriate linear combination of orthonormalized solution of eq. (2) that satisfies the quantum equivalence principle over each Cauchy surface  $\Sigma_\tau$ :  $\{t = \tau = \text{const.}\}$ . Thus we obtain the appropriate basis  $\{\psi_k(x), \psi_k^*(x)\}$  such as to interpret the coefficients

of the field decomposition

$$\phi(x) = \int d^3k [a_k \psi_k(x) + a_{-k}^* \psi_{-k}^*(x)]$$

as creation and annihilation operators. We then find the Bogoliubov transformation relating the positive frequency solutions at  $\Sigma_\tau$  with positive and negative frequency solutions at another surface  $\Sigma_{\tau_0}$

$$\psi_k^{(\tau)}(x, t) = \alpha_k(\tau_0, \tau) \psi_k^{(\tau_0)}(x, t) + \beta_k(\tau_0, \tau) \psi_{-k}^{(\tau_0)*}(x, t)$$

and then the number of created particles between  $\tau_0$  and  $\tau$

$$N_k(\tau) = N_k(\tau_0) + |\beta_k|^2 [1 + 2N_k(\tau_0)] \quad (3)$$

$$|\beta_k(\tau, \tau_0)|^2 = L^2(\tau) + L^2(\tau_0) - 2L(\tau)L(\tau_0) \cos \left[ 2 \int_{\tau_0}^{\tau} \omega_k dt \right] \quad (4)$$

with

$$L(k, t) = \frac{1}{4\omega_k^2} \left( \frac{m^2}{2} H^2 + \frac{R}{6} \left( \frac{m^2}{2} + \omega_k^2 \right) \right)$$

$\omega_k = [\frac{k^2}{a^2} + m^2]^{1/2}$  is the energy,  $k/a$  the linear momentum and  $m$  the mass of the particle. This result is valid when the condition  $H/\omega_k$  is satisfied, because otherwise the expansions made to obtain the boundary conditions would be meaningless.

The present creation rate is negligible compared to the already existent matter density. Indeed we observe that for most common cosmological models  $a(t) = At^\epsilon$  with  $\epsilon < 1$ , then if  $\tau \ll \tau_0$ , we have  $L(\tau_0) \gg L(\tau)$ . Thus the number of created particles between two very

widely separated instants occurs mainly in the neighbourhood of the initial one, and does not depend on the particular evolution throughout the time range. We then evaluate the flux of created particles in terms of  $R_0$  and  $a_0/a$ , the scalar curvature at  $\tau_0$  and the ratio of the radius of the universe at  $\tau_0$  and at the present time. Considering  $\tau_0 \ll \tau$  and having into account that for the interesting cases  $m \ll k/a_0$  (the particles were ultrarelativistic at the creation instant) we obtain

$$\Phi(T) dT = \frac{\hbar}{16(2\pi)^3 c^2} \left(\frac{R_0}{6}\right)^2 \cdot \left(\frac{a_0}{a}\right)^4 \cdot \frac{dT}{T^2 + m^2 T} \quad (5)$$

giving the present flux per kinetic energy ( $T$ ) interval, per unit solid angle.

Experimental evidence for diffuse cosmic X and  $\gamma$  ray background (7) reveals a spectrum given by  $\phi(\epsilon) = 25 \text{ eV}^{-2} \text{ cm}^{-2} \text{ s}^{-1}$ , the same dependence on the energy as our formula (5) in the massless case. Assuming the standard hot big-bang model for the evolution of the universe, taking the age of the universe as Hubble time  $t_H = H^{-1} \sim 10^{18} \text{ s}$ , we put  $\frac{a_0}{a} = \frac{2}{t_D^{1/2}} \cdot \frac{t_D^{1/3}}{t_H^{1/2}}$  where  $t_D$  denotes the time when matter and radiation became decoupled, approximately  $10^{13} \text{ s}$ . Assuming  $R_0 \sim \frac{1}{\tau_0^2}$ , without specifying strictly the time dependence of the radius of the universe in the neighbourhood of  $\tau_0$ , and equating (5) to the experimental data (although our model is for scalar particles) we obtain  $\tau_0 \sim 3 \times 10^{-43} \text{ s}$ , which is of the order of Planck time,

$$t_p = \left(\frac{G\hbar}{c^5}\right)^{1/2} \sim 10^{-43} \text{ s.} \quad \text{Heuristic arguments show (8) that this semi-classical theory can be applied just until Planck time without being necessary to quantify gravitation.}$$

The condition  $M/\omega_k < 1$  is also verified in the situation considered. Nevertheless the result is not acceptable, because if the particles would have been created before the decoupling of radiation with matter the created photons would become thermalized, and they would be present today at the 3K radiation background.

Although this negative result we expect that further improvements of the model, and its applications to higher spins, would eventually allow to formulate a more realistic cosmological model.

#### REFERENCES

1. Parker, L.: in *Asymptotic Structure of Space-Time*, ed. by F. Esposito and L. Witten, Plenum Press, N.Y., p. 107, 1977.
2. Isham, C.J.: *Ann. N.Y. Acad. Sci.* 302, Part III, 1977.
3. Gibbons, G.W.: in *General Relativity, an Einstein Centenary Survey*, ed. by S. Hawking and W. Israel, Cambridge University Press, Cambridge, p. 639, 1979.
4. Ford, L.H.: *Phys. Rev. D* 14, 3304, 1976.
5. Castagnino, M. and R. Weder: The quantum equivalence principle and

- finite particle creation in expanding universes. J. Math. Phys. (in press 1980).
- 6. Castagnino, M., A. Foussats, R. Laura y O. Zandrón: The quantum equivalence principle and the particle model in curved space-times (Sent to J. Gen. Rel. and Grav. 1980).
  - 7. Dyer, C.S.; A. Engel and J. Quenby: Astrophysics and Space Science, 19, 359, 1972.
  - 8. Hawking, S.W.: Comm. Math. Phys. 43, 199, 1975.

CURVAS DE CRECIMIENTO  
DEL SOL



## CURVAS DE CRECIMIENTO EMPIRICAS PARA EL SOL

M.M. VILLADA y Luis A. MILONE

Observatorio Astronómico de la Universidad Nacional  
de Córdoba

La curva de crecimiento empírica está afectada en forma negativa por los errores en los anchos equivalentes medidos y en los valores de las fuerzas de oscilador.

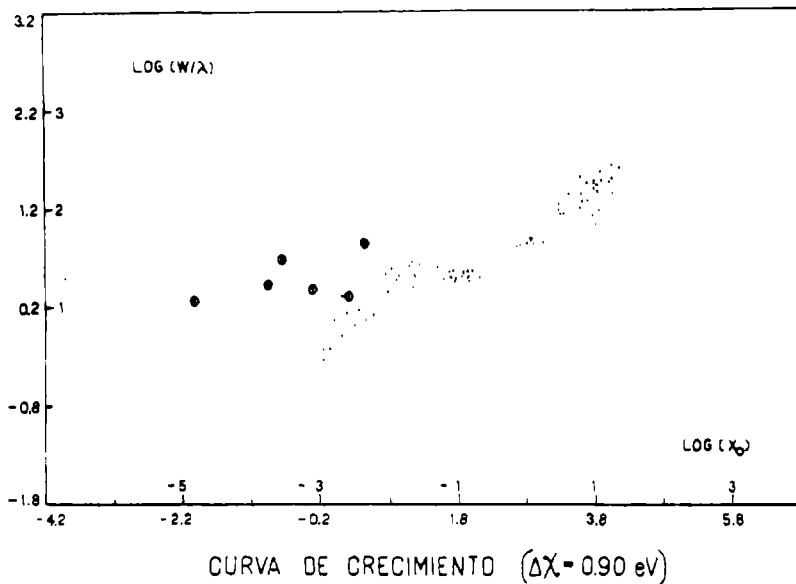
Con la finalidad de estimar cualitativamente los montos de estos errores, en el presente trabajo se han elegido los anchos equivalentes y las fuerzas del oscilador que representan el conjunto de valores más confiable de que se dispone en la actualidad.

Para los anchos equivalentes se utilizó la publicación de Moore, Minnaert y Houtgast (1966). Estos anchos equivalentes han sido obtenidos de espectros con una dispersión de 0.3 Å/mm. Las fuerzas de oscilador empleadas son las publicadas en las tablas de Kurucz y Peytremann (1975), siendo éstas las más modernas y/o extensas que se dispone. Estos autores utilizaron el modelo Thomas-Fermi-Dirac para representar las funciones de onda de los átomos complejos. Los parámetros libres de estos modelos los ajustaron tratando de representar de la mejor manera posible los niveles de energía de los distintos elementos. Como subproducto obtuvieron las fuerzas de oscilador correspondiente a las diferentes transiciones, que resultan así, valores semiempíricos.

Se eligió el Fe I para construir las curvas y considerando la disposición de las líneas en las tablas de Moore (1945), se agruparon éstas en seis familias de multipletos, con un promedio de 100 líneas cada una y cubriendo el rango de 0 a 5 eV en los potenciales de excitación:

Primera familia de multipletos:	multiplete 1 al 8 con	$\bar{x}_1 = 0.05$ eV;
		72 ls.
Segunda	" " "	: " 12 al 29 " $\bar{x}_2 = 0.95$ eV;
		151 ls.
Tercera	" " "	: " 60 al 102 " $\bar{x}_3 = 2.20$ eV;
		156 ls.
Cuarta	" " "	: " 383 al 397 " $\bar{x}_4 = 3.00$ eV;
		69 ls.
Quinta	" " "	: " 1077 al 1102 " $\bar{x}_5 = 4.21$ eV;
		113 ls.
Sexta familia de multipletos:	multiplete 1303 al 1314 con	$\bar{x}_6 = 5.02$ eV;
		46 ls.

En total se utilizaron 607 líneas.

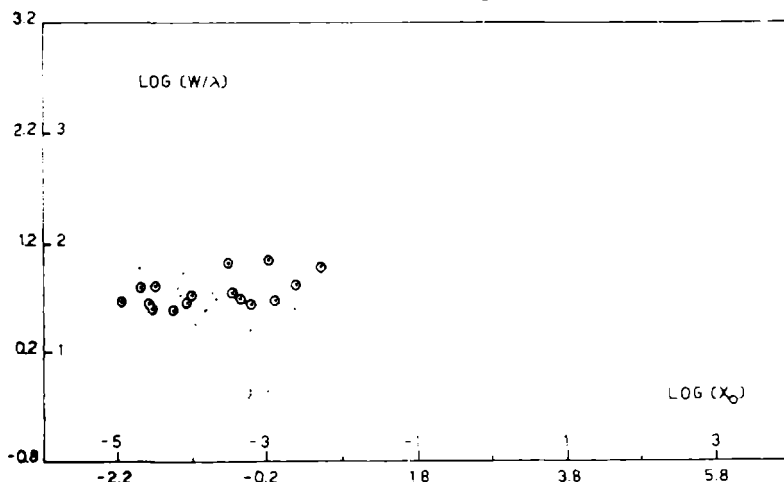


Curva de crecimiento para líneas de FeI, pertenecientes a los multipletos del N° 12 al 29.

En la Fig. N° 1 se observa la curva empírica para  $\Delta\chi = 0.90 \text{ eV}$ ;  $\Delta\chi$  es la diferencia de los potenciales medios de excitación entre la familia de multipletos con  $x_2 = 0.95 \text{ eV}$  y la que se tomó como base para construirla,  $x_1 = 0.05 \text{ eV}$ .

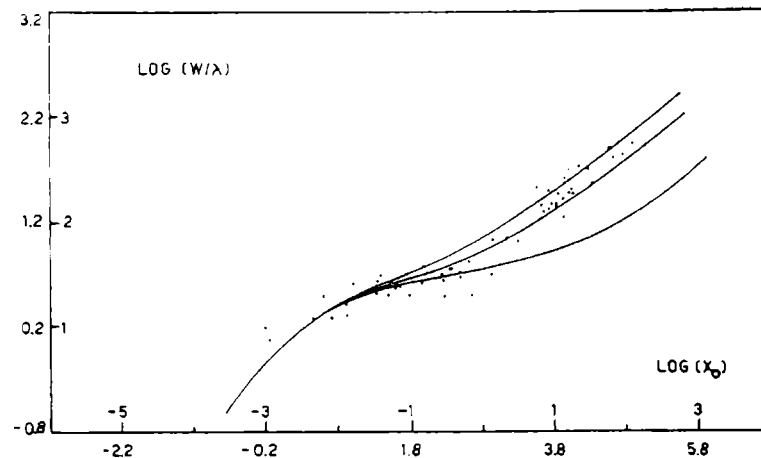
Los puntos centrados en círculos corresponden a líneas blendadas. Salvo éstos, el resto se ajusta bastante bien a una curva; podemos interpretar entonces, que la dispersión en esta zona de la curva puede ser debida, al menos parcialmente, a que las líneas débiles en la región ultravioleta del espectro están fuertemente blendadas. Es de notar que los autores Moore, Minnaert y Houtgast (1966), indican que debido a su forma de calcular los anchos equivalentes, éstos pueden estar sobrevaluados en dicha zona.

CURVA DE CRECIMIENTO ( $\Delta\chi = 2.95 \text{ eV}$ )



Curva de crecimiento para líneas de FeI, pertenecientes a los multipletos del N° 383 al 397.

Este problema es más evidente en la Fig. N° 2, que es la curva para  $\Delta\chi = 2.95$  eV. Esta dispersión que se encuentra para las líneas en el ultravioleta nos previene del cuidado que se debe poner al trabajar con anchos equivalentes, pues estas curvas corresponden al Sol, cuyos espectros son los obtenidos en las mejores condiciones y con las más altas dispersiones.

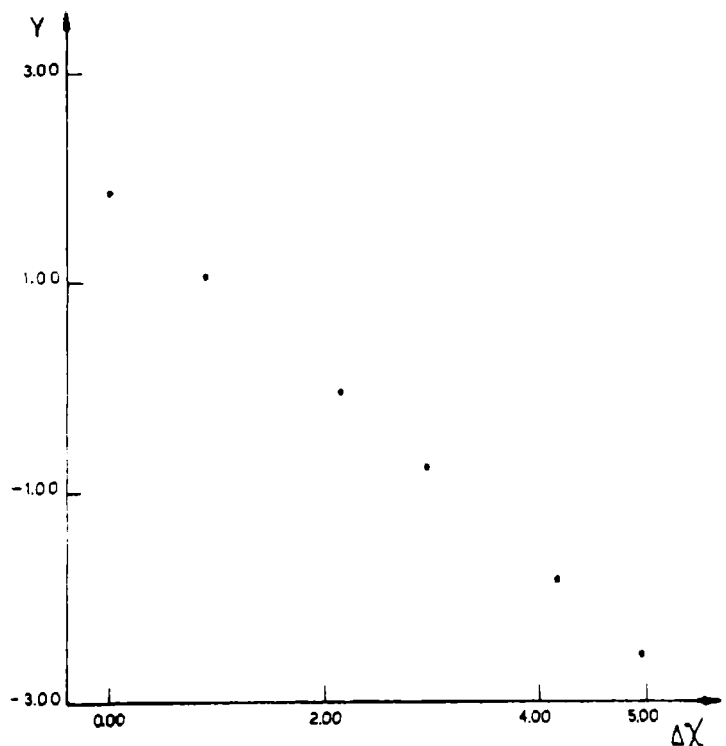


CURVA DE CRECIMIENTO ( $\Delta\chi=0$ )

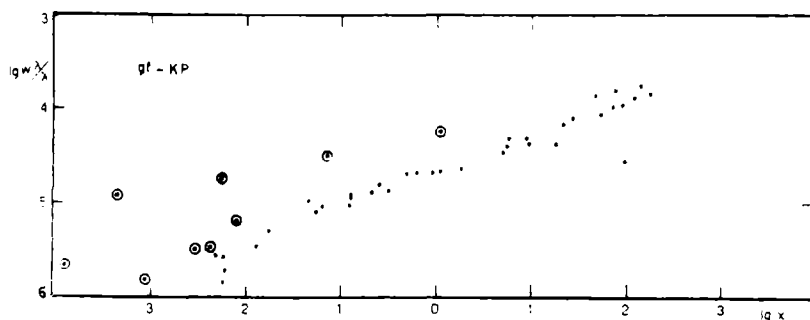
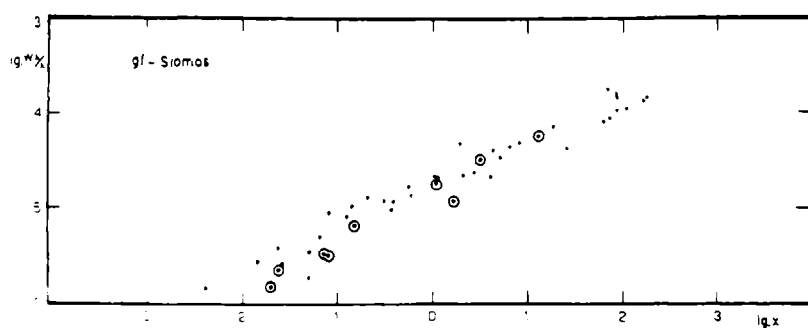
Curva de crecimiento para líneas de FeI, pertenecientes a los multipletos del N° 1 al 8. Las curvas en trazo continuo corresponden a curvas teóricas en la aproximación de Schuster-Schwarzschild.

En la Fig. N° 3 se encuentra la curva empírica para  $\Delta\chi = 0$  superpuesta con curvas de crecimiento teóricas obtenidas en la aproximación Schuster-Schwarzschild. Del corrimiento vertical se obtuvo la velocidad cuadrática media que nos condujo a una velocidad de turbulencia de 1.4 km/s, en buen acuerdo con el valor que encuentran otros autores (Gray, 1973).

En la Fig. N° 4, la ordenada Y se refiere a la diferencia entre el logaritmo del producto  $\lambda_{gf}$  y el valor teórico correspondiente. Cada punto representa una familia de multipletos. Se obtiene una función lineal del número de átomos que forman la línea, ordenada al origen, y cuya pendiente está relacionada con  $1/T_{ex}$ . Los puntos pueden ser representados con un alto grado de aproximación, por una recta, lo cual nos dice que las observaciones quedan bien representadas con una única temperatura de excitación media. Teniendo en cuenta que el rango de potenciales de excitación es bastante amplio, podríamos pensar que estamos considerando líneas que se forman a distintas profundidades en la atmósfera. Luego, como la temperatura de excitación debe ir creciendo con la profundidad, cabría esperar que esta relación diese una curva con pendiente creciente, lo cual, como ya se dijo, no encontramos.



Representación de  $Y = \log z_0 - \log \lambda_{gf}$  versus la diferencia de potenciales de excitación. Siendo las observaciones bien representadas por una recta, se determina una única  $T_{ex}$ .



Curvas de crecimiento empíricas utilizando valores de gf de Siomas (1974) y de Kurucz y Peytremann (1975).

En la Fig. N° 5 se pueden ver las curvas de crecimiento obtenidas, utilizando valores de gf de Kurucz y Peytremann (1975) y valores de un trabajo de Siomas (1974), que son valores empíricos obtenidos con técnica de rayo Laser.

Los puntos marcados con círculos se corresponden en ambas curvas. La dispersión en la curva con los valores de Kurucz y Peytremann es mayor que la obtenida con valores de Siomas. Es de notar que algunos valores de Kurucz y Peytremann pueden presentar errores groseros, que en este caso se detectan por comparación, pero que pueden dificultar la construcción de una curva de crecimiento empírica en otros casos. Curiosamente, si se eliminan aquellos puntos que están afectados por errores groseros en la fuerza de oscilador de Kurucz y Peytremann, los restantes muestran menor dispersión si se utilizan éstas que si se emplean las de Siomas.

#### Bibliografía

- Moore, Ch., Minnaert, M.G.J., Houtgast, J.: 1966, "The Solar Spectrum 2935 Å to 8770 Å".
- Kurucz, R.L.; Peytremann, E.: 1975, "A table of semiempirical gf values".
- Moore, Ch.: 1945. "A multiplet table of astrophysical interest".
- Gray, D.F.: 1973, "Astrophysical Journal", 184, 461.
- Siomas, K.: Tesis, Koln.



ELEMENTOS QUIMICOS

EN ESTRELLAS



IDENTIFICACION DE ELEMENTOS EN HD 213918

Stella MALARODA

CIC

HD 213918 es una estrella débil de He perteneciente a la Asociación Lacertae OBI. En el presente informe de trabajo, se detallan los elementos identificados en su atmósfera. Dicho estudio fue realizado en base a tres espectros de alta dispersión (16.9 Å/mm) calibrados obtenidos en Kitt Peak durante el año 1976.



ESTRELLA SANDULEAK - SEGGEWISS



COMENTARIOS ADICIONALES SOBRE LA ESTRELLA  
SANDULEAK-SEGGEWISS (NGC 6231-92)

Luis A. MILONE

Observatorio Astronómico, Córdoba

La estrella extremadamente enrojecida NGC 6231-92, parece ser F5 Ia. Si está más distante que el cúmulo abierto NGC 6231, se trata entonces de un objeto muy brillante con  $M_V = -8.6 - 9$ . Esta estrella muestra, además,

$$\frac{E(U-B)}{E(B-V)} = 0.95 \quad , \quad y \quad \frac{E(B-V)}{E(R-I)} = 2.22,$$

lo que aparta de las relaciones normales. La emisión que muestran algunas de sus líneas espectrales, así como el enrojecimiento anormal, apuntan a la posibilidad de que esta estrella esté rodeada por una envoltura.



ESTRUCTURA GALACTICA



OBSERVACION DE HI EN FILAMENTOS OBSCUROS

J.C. CERSOSIMO y W.G.L. POPPEL

IAR

Se están efectuando observaciones de alta resolución en velocidades radiales con el nuevo receptor de 21 cm del IAR. En algunos casos los perfiles presentan notables variaciones de forma en pequeñas distancias angulares para velocidades positivas. Ello indicaría la vinculación de los filamentos con el Cinturón de Gould.



RELEVAMIENTO DE NUBES DE ALTA VELOCIDAD

E. BAJAJA, C. CAPPA, J. CERSOSIMO, N. LOISEAU, C. MARTIN,  
R. MORRAS, C. OLANO y W.G.L. POPPEL

IAR

Un extenso relevamiento del cielo austral, observado en la línea de 21 cm del HI y con alta sensibilidad, está siendo llevado a cabo en el IAR. La primera etapa del mismo comprende todo el cielo al sur de  $\delta < -30^\circ$  y es observada cada  $2^\circ$  en declinación y cada  $2^\circ/\cos \delta$  en ascension recta. Dicho relevamiento cubre un rango de velocidades comprendidas entre  $+630$  y  $-630$   $\text{km s}^{-1}$  y es observado con una resolución de velocidad de  $16 \text{ km s}^{-1}$ .



## FUENTES DE RAYOS X



OBSERVACIONES EN CONTINUO DE RADIO EN 1420 MHZ EN LA DIRECCION  
DE H 1538-32

F.R. COLOMB y G.M. DUBNER

IAR

Se realizaron observaciones en continuo de radio en 1420 MHz en la dirección de la fuente de rayos X blandos H 1538-32, posible viejo remanente de supernova. Se discute la existencia de una cáscara que rodea dicha fuente.

OBSERVACIONES DE HI CONECTADAS CON UN ESTALLIDO EN RAYOS X  
DETECTADO EN LA ZONA DE LUPUS

F.R. COLOMB\* y G.M. DUBNER\*\*

(\* Miembro de la Carrera del Investigador Científico del CONICET) y  
(\*\* Becaria del CONICET)

Instituto Argentino de Radioastronomía

ABSTRACT:

Neutral hydrogen observations has been made in the direction of an X-ray flare detected in the Lupus region. The flare position lies within the boundaries of a hole in the HI emission. Several physical parameters are derived and probable interpretations are discussed. The conclusion is that the hole is the result of the ionization produced by two early-type stars: HD 135348 and HD 135164. The first one could be the optical counterpart of the flare.

I. INTRODUCCION

En la Circular N° 3420 de IAU (1969), L. Kaluzienski y S. Holt informaron la detección de un estallido en rayos X, centrado en  $\alpha = 15^{\text{h}} 13^{\text{m}}$ ,  $\delta = -43^{\circ} 2$  (1950.0). Este alcanzó una intensidad pico de 0.33 Crab el 26 de octubre de 1979, cayendo por debajo de niveles detectables el día 27.

En vista de que nuestros mapas de emisión en 21 cm de la zona mostraban la presencia de un agujero casi coincidente con la posición informada, se decidió observar la zona en más detalle a fin de investigar si existía alguna vinculación entre los dos fenómenos.

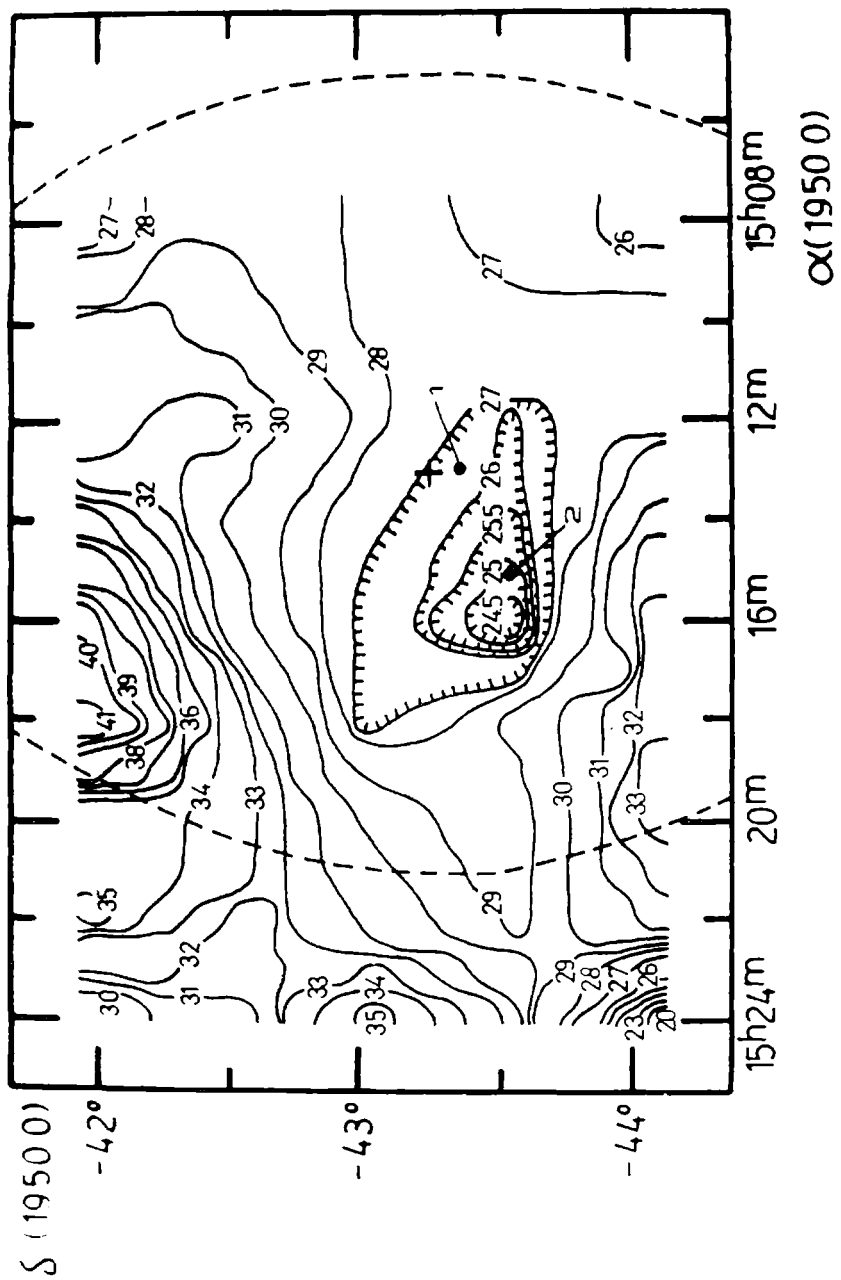
II. OBSERVACIONES Y RESULTADOS

Las observaciones se llevaron a cabo con el telescopio de 30 m del IAR. A la frecuencia de la línea de 21 cm, éste tiene un ancho de haz de 34' de arco. La primera etapa del receptor consta de un amplificador paramétrico Micromega operado a temperatura ambiente. La temperatura de ruido total del sistema es de 90 K.

El banco de filtros usado consiste de 112 canales de  $\approx 9.5$  KHz de ancho de banda (2 km/s a la frecuencia de la línea de 21 cm). La resolución en velocidad es de 2 km/s.

Las observaciones se realizaron en la forma "commutado en carga", con un tiempo de integración de 3 minutos, lo cual daba un rms de 0.1K.

El área observada fue  $227^{\circ} \leq \alpha \leq 231^{\circ}$ ,  $-44^{\circ} \leq \delta \leq 42^{\circ}$  según una grilla de  $0.5' \times 0.5'$ .



La Figura 1 muestra el diagrama de contornos del hidrógeno neutro en el intervalo de velocidad (-22,0) km/s. En ella se ha representado con una cruz y una curva de trazos, la posición y caja de error (2° de radio) respectivamente del pulso detectado en rayos X. Puede observarse la existencia de un agujero en la emisión del hidrógeno neutro. De acuerdo a nuestras observaciones de la región en conjunto, puede asegurarse que este agujero está sumergido en una región donde la densidad se ve aumentada por la cáscara envolvente del remanente de supernova Lupus Loop (Colomb y Dubner, 1980).

Por otro lado, las mediciones en continuo de radio en 1420 MHz, muestran que la máxima diferencia de emisión entre puntos dentro y fuera del agujero es de 2 unidades de flujo, descartando así la posibilidad de que el mismo haya sido producido por absorción de una radiofuentे intensa.

Un estudio detallado de la extensión en velocidad del hueco, revela que éste está presente entre -17 km/s y -5 km/s, alcanzando el máximo diámetro a  $v = -9$  km/s. De aquí puede estimarse una distancia cinematográfica de 700 pc.

Usando esta distancia, y asemejando una forma aproximadamente elipsoidal al hueco estudiado, podemos hacer una estimación del tamaño lineal del mismo, aproximadamente 21.7 pc y 9.5 pc para los ejes mayor y menor respectivamente.

Si se supone que en caso de no existir el agujero, la misma área estaría rodeada por una isofota de  $30 \times 10^{19}$  át/cm<sup>2</sup>, puede estimarse la masa faltante en  $19 M_{\odot}$ .

### III. DISCUSION

Si suponemos que el agujero en HI se ha producido por el mismo tipo de mecanismo que está produciendo estallidos en rayos X, deberá encontrarse una fuente de energía capaz de proveer una energía mínima de  $5.2 \times 10^{47}$  erg para ionizar  $19 M_{\odot}$ .

Este pulso de rayos X detectado en particular, emitió un máximo de  $1.67 \times 10^{35}$  erg/s (a la distancia de 700 pc). Aún suponiendo en base a los datos disponibles que esa fuente actúe con dicha intensidad durante 24 hs seguidas, con un período de recurrencia de 7 días, cosa altamente improbable, debería haber estado actuando sobre ese gas aproximadamente  $7 \times 10^5$  años para ionizar toda esa cantidad, y ésta es casi la edad de ese remanente.

Por otro lado, no hay fuentes estacionarias detectadas emitiendo rayos X blandos -los únicos útiles para provocar ionización (Schwartz, 1973)- en la región. De modo que, salvo que las observaciones en la banda de  $\epsilon < 250$  eV aporten nuevos datos, no parece haber una relación causa-efecto entre el evento transitorio en rayos X y el agujero en 21 cm.

Otra posible explicación del mismo es que es el resultado de la ionización producida por dos estrellas tempranas, HD 135348 y HD 135764, representadas por puntos en la Fig. 1. La Tabla I resume las

características de las mismas, como así también los radios de Stromgren respectivos.

La baja medida de emisión de la zona  $\approx 2.2 \times 10^2$  pc/cm<sup>6</sup> explica el hecho de que no se haya observado ópticamente.

Por otro lado, Niemela (comunicación privada) ha registrado variaciones en la velocidad radial de la estrella HD 135348, pudiendo ser ésta, entonces, la contraparte óptica del pulso observado.

#### AGRADECIMIENTOS

Agradecemos a la Dra. Virpi Niemela por sus útiles sugerencias y por poner a nuestro alcance sus resultados observacionales. Asimismo agradecemos al personal técnico del IAR.

#### REFERENCIAS

- Colomb, F.R. y Dubner, G.D., 1980, Boletín de la Asociación Argentina de Astronomía, N° 25, 48.
- Kaluzienski, L. y Holt, S., 1979, IAU Circ. N° 3420.
- Schwartz, J., 1973, Astrophys.J. 182, 449.

TABLA I

Nº de *	Nº HD	$\alpha$ (1900.0) (h m s)	$\delta$ (1900.0) (° "')	$m_V$	Tipo espectral (1)	$d$ (pc)	radio de (pc) Strongren (2)
1	135348	15 09 29.2	-43 06 48	6.4	B2/3 IV	692	14 / 8.5
2	135764	15 11 40.6	-43 15 53	10.1	B9/A1 V	692	0.5

## REFERENCIAS:

- (1) Michigan Spectral Catalogue, Vol. 2. 1979. N. Houk  
University of Michigan - Ann Arbor, Michigan.
- (2) Frentice, A.J.R., ter Haar, D., 1969, M.N.R.A.S.,  
146, 423.

GALAXIAS



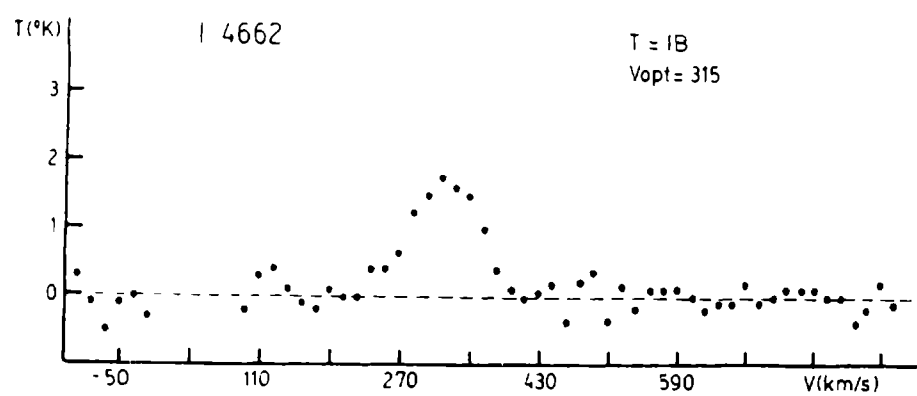
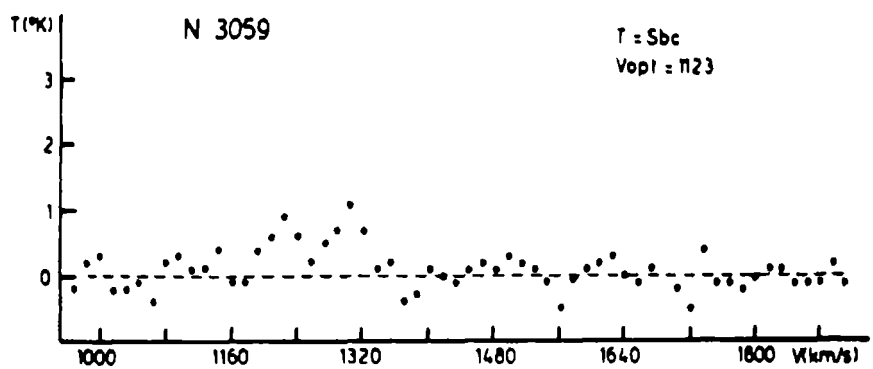
CINEMATICA DE NGC 4945,

G.J. CARRANZA y E.L. AGUERO

Observatorio Astronómico, Córdoba

Se encuentra en elaboración un análisis interferométrico del campo de velocidades de NGC 4945 basado en más de 150 velocidades radiales repartidas en su cuerpo principal y determinadas de varios interferogramas H $\alpha$  obtenidos en Bosque Alegre.





REFERENCIAS:

- Bajaja, E. 1979, Primera Reunión Astronómica Regional Latinoamericana, Publicaciones del Departamento de Astronomía de la Universidad de Chile, Vol. III, 64.
- Balik, B., Faber, S.M. 1976, Astron. J. 209, 710.
- Balkowski, C. 1979, Astron. & Astrophys. 78, 190.
- Bieging, J.H., Biermann, P. 1977, Astron. & Astrophys. 60, 361.
- Corwin, H.G., de Vaucouleurs, A., de Vaucouleurs G., 1977, Astron.J. 82, 557.
- Corwin, H.G., de Vaucouleurs, A., de Vaucouleurs, G., 1978, Astron. J. 83, 1566.
- Hubble, E. 1961, "The Hubble Atlas of Galaxies".
- Shostak, G.S. 1978, Astron. & Astrophys. 68, 321.
- Tully, R.B., Fisher, J.R. 1977, Astron. & Astrophys. 54, 661.
- de Vaucouleurs, G. 1963, Astrophys. Sup. 8, 31.
- de Vaucouleurs, G., de Vaucouleurs, A. 1975, Second Reference Catalogue of Bright Galaxies, The University of Texas Press, Austin and London.
- de Vaucouleurs, G. 1979, Astrophys. J. 227, 380.
- West, R.M. 1977, Astron. & Astrophys. Sup. 27, 73.
- Whiteoak, J.B., Gardner, F.F. 1977, Australian J. Phys. 30, 187.

## HI IN NGC 4594

E. BAJAJA \* y W.W. SHANE \*\*

\* (Instituto Argentino de Radioastronomía - CONICET) y

\*\* (Sterrewacht Leiden - Holanda)

High resolution 21 cm line observations of NGC 4594 have been carried out with the WSRT. The velocity range observed was 1090 to  $1710 \text{ km s}^{-1}$  on 32 channels,  $27 \text{ km s}^{-1}$  wide, spaced  $20 \text{ km s}^{-1}$ . This range covered the velocities observed on the east half of the galaxy.

The synthesised antenna pattern resulted very elongated in the north south direction ( $24'' \times 122''$ ) because of the low southern declination ( $-11^\circ 25'$ ). The observation, in consequence, consisted essentially in a scanning along the major axis of the galaxy. The antenna pattern also had large side lobes because of the impossibility of observing the galaxy during 12 hours continuously from Westerbork (max=8.6 hours).

After the convolution by appropriate functions, and the subtraction of continuum point sources and associated rings, a set of 32 channel maps was produced. A marginally detectable HI feature was put in evidence on a velocity-position map when the 32 channel map cross cuts, along the major axis, of the galaxy were put together.

The total HI mass for NGC 4594 derived from this map is about  $13 \times 10^8 \text{ M}_\odot$  (at a distance of 18.6 Mpc). The peculiar configuration of the HI indicates its concentration along a ring (or maybe two) but simple models do not reproduce all the basic features. The systemic velocity according to these results is close to  $1100 \text{ km s}^{-1}$ . The radius of the outermost HI ring (if not the only one) is about 15 kpc and its half power width 6 kpc. From these values it is evident that the gas is concentrated in the inner side of the dust ring. The highest HI observed velocity is 350 km/s.

ATLAS DE HIDROGENO NEUTRO EN LA NUBE MENOR  
DE MAGALLANES

E. BAJAJA y N. LOISEAU

IAR

RESUMEN:

Se ha completado un atlas del HI asociado con la Nube Menor de Magallanes basado en observaciones de aproximadamente 4000 puntos de la zona  $0^\circ < \alpha < 30^\circ$ ,  $-76^\circ < \delta < -70^\circ$ . Las observaciones fueron realizadas en tránsito, cada  $0^\circ.75$  en declinación, y con alta resolución en velocidad (2 km/s). Los datos fueron reducidos e interpolados, mediante procedimientos especialmente desarrollados para este trabajo, con el fin de obtener una red uniforme de perfiles en coordenadas rectangulares del cielo X, Y, con centro en  $\alpha = 15^\circ$  y  $\delta = -73^\circ$ . Las velocidades fueron corregidas por rotación galáctica tomando como velocidad galactocéntrica del Sol 225 km/s.

Con los perfiles interpolados se confeccionaron 20 isofotas X-V a velocidad constante, 15 isofotas Y-V a X constante y 10 isofotas X-V a Y constante.

Se presentan algunas de estas isofotas (Fig. 1, 2 y 3), como así también un mapa de contornos de velocidad mediana constante (Fig. 4 y 5).

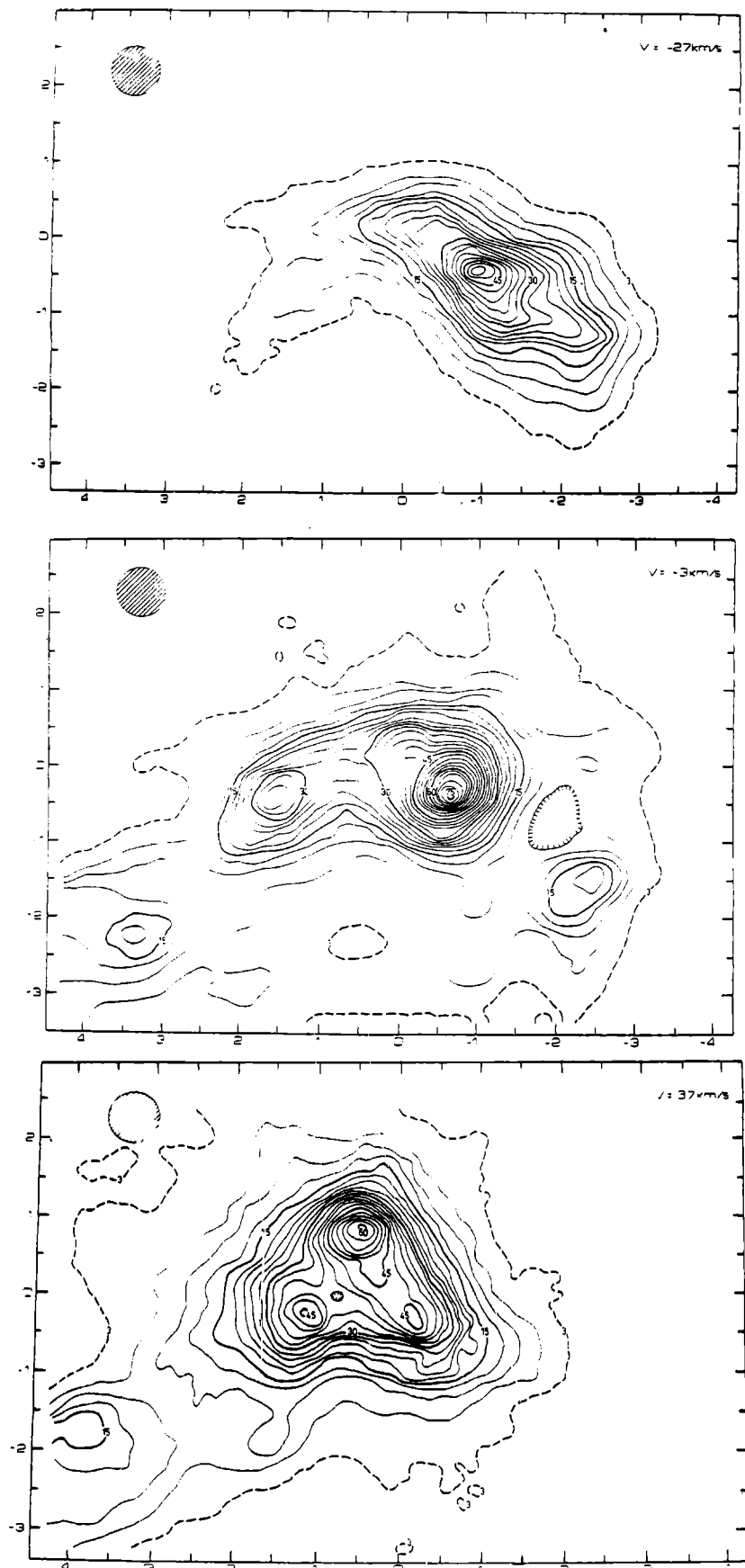


Fig. 1 - Isofotas X-Y a velocidad constante

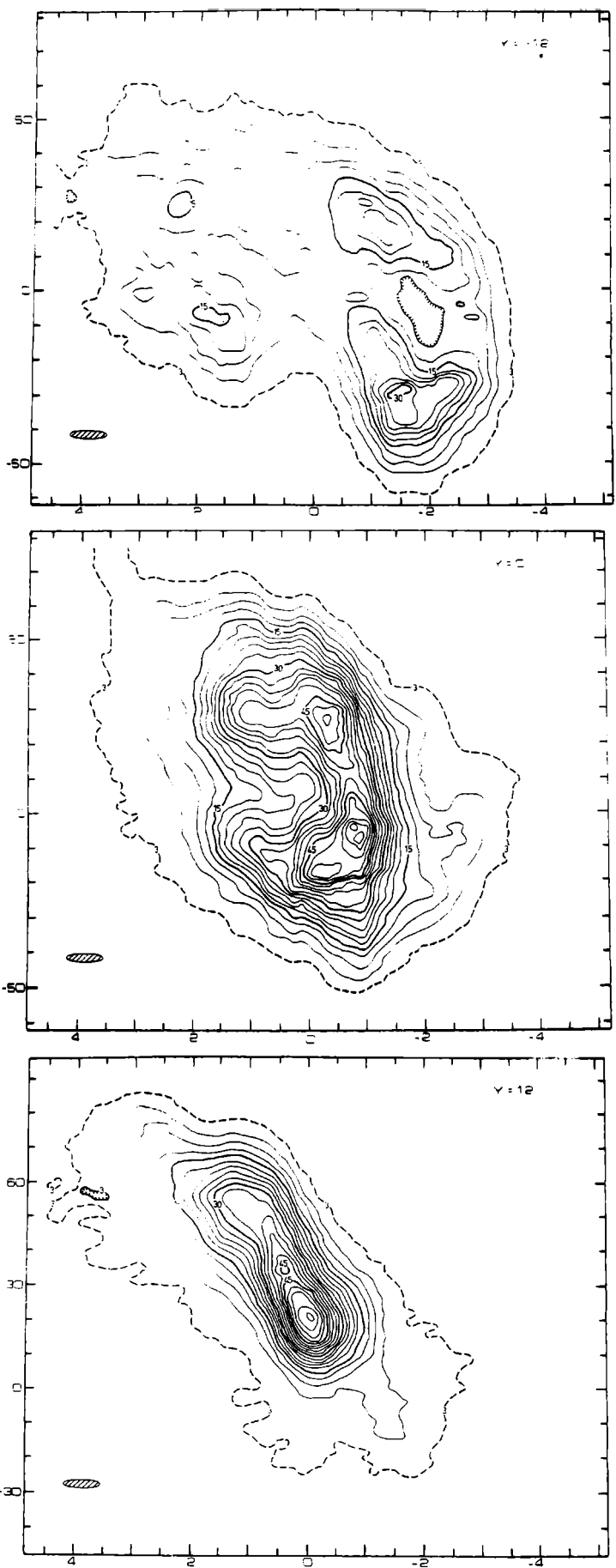


Fig. 2 - Isofotas  $V-X$  a  $Y$  constante

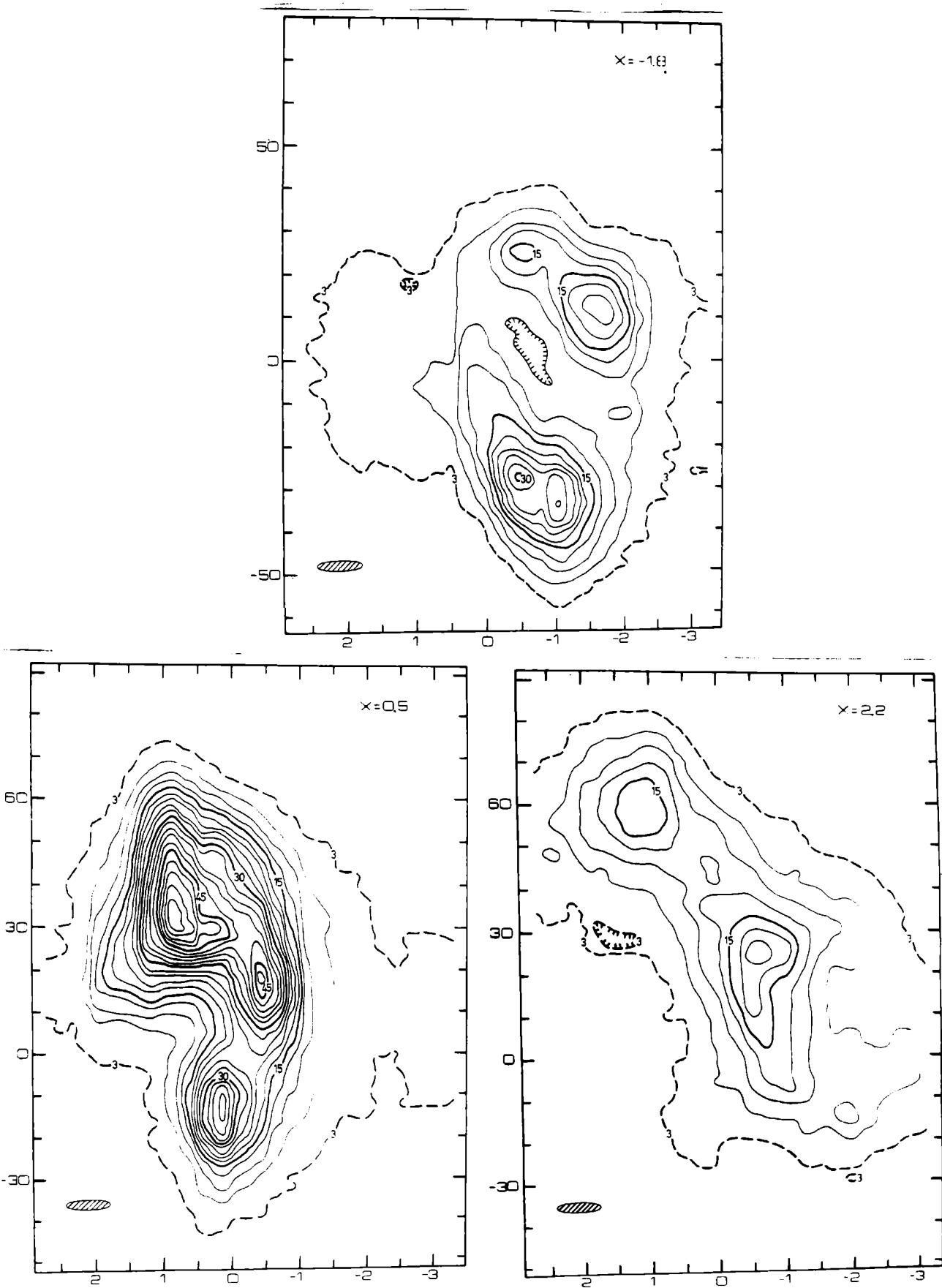


Fig. 3 - Isofotas V-Y a X constante

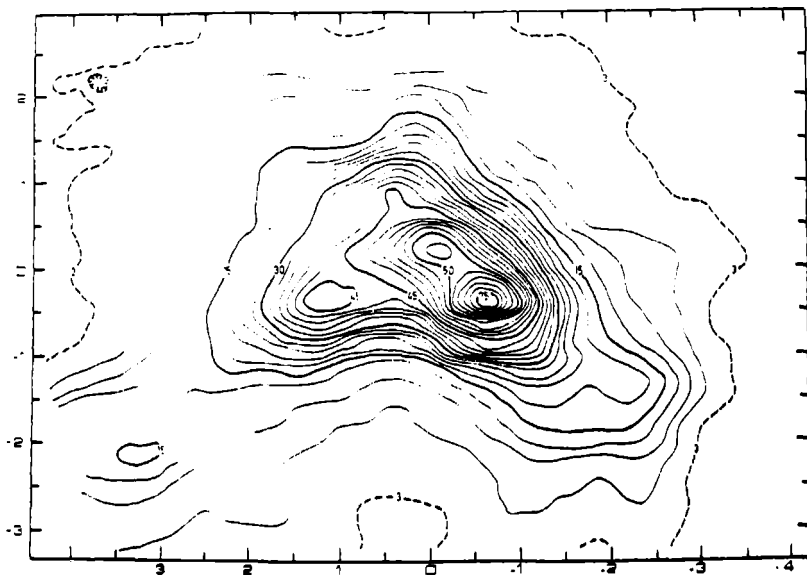


Fig. 4 - Contornos de  $N_H$  constante (en unidades de  
 $10^{20}$  átomos/cm $^2$ )

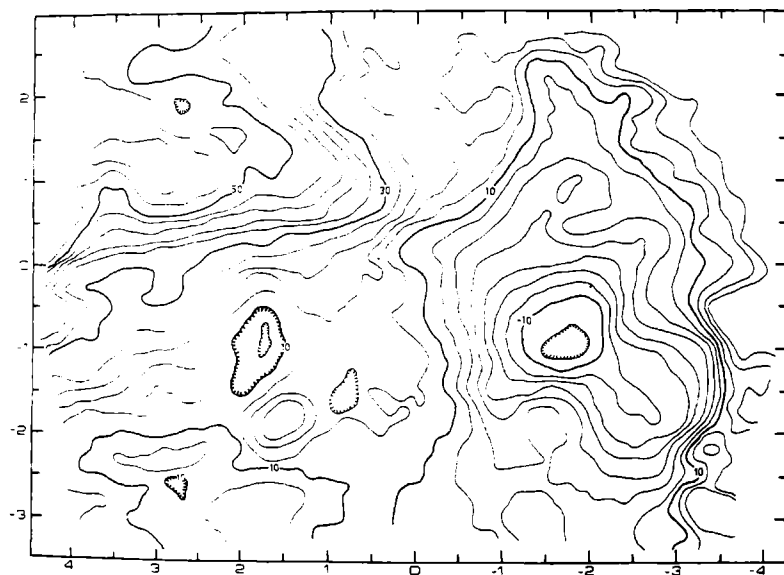


Fig. 5 - Contornos de velocidad mediana constante

RADIOCONTINUUM IN NEARBY GALAXIES

R. WIELEBINSKI

Max-Planck-Institut fur Radioastronomie, Bonn, FRG

The observed radiocontinuum in galaxies is the addition of thermal and nonthermal emissions. Thermal emission, due to hot gas ionized by stars, has a flat spectrum and is best observed at high radio frequencies. The nonthermal emission, due to relativistic electrons spiralling in magnetic fields of a galaxy, has a steep spectrum and dominates at lower radio frequencies. Relativistic electrons can originate in supernovae, pulsars, X-ray sources and OB-stars. The nonthermal emission process offers an additional possibility since the radio emission is linearly polarized. We can use the observations of polarized radiation to trace the magnetic fields in galaxies.

Observations of our Galaxy at lower radio frequencies led to a disk-halo model. In the disk we find numerous individual sources: supernova remnants, HII regions. These are best studied with arcminute angular resolution at higher radio frequencies (e.g. 5 GHz survey of Haynes et al., 1978, or 4.9 GHz survey of Altenhoff et al., 1979). The large scale radiocontinuum structure of the Galaxy is best revealed in all sky surveys, made with a degree resolution at lower radio frequencies (e.g. 150 MHz survey of Landecker and Wielebinski, 1970, and 408 MHz survey of Haslam et al., 1980). As seen in Figure 1 the contours of the 408 MHz radiocontinuum show clearly the disk component, the tangential points of the local spiral arm (Cygnus X at  $\ell=80^\circ$  and Vela X at  $\ell=260^\circ$ ) as well as many 'spurs' at high galactic latitudes. These 'spurs' are considered to be nearby features, possibly supernova remnants in our neighbourhood. Flare-like origin of these features cannot, however, be excluded. In addition to a uniform extragalactic component, there exists an electron halo around our Galaxy which however needs detailed analysis techniques (e.g. Webster, 1978) for its confirmation.

To study nearby galaxies in radio continuum we need at least arcminute resolution and a great receiver sensitivity. Aperture synthesis radio telescopes are responsible for most of the information at the lower frequencies. Care must be taken with synthesized maps often to restore the missing low order components correctly. High frequency maps of nearby galaxies come now from the 100-m Effelsberg radio telescope. At 10.6 GHz ( $\lambda 2.8$  cm) the 1.2 arcmin beam is matched with a millikelvin r.m.s. noise capability. Some nearby gal-

xies could be studied at a number of frequencies from 150 MHz to 23 GHz. A sample of radio maps of galaxies is shown in Figures 2 and 3.

The study of a galaxy at a number of frequencies allowd the separation of thermal and nonthermal emission. A study of a sample of nearby galaxies by Klein and Emerson (1980) led to the conclusion that the thermal emission is less dominant than previously suspected, making out only some  $\sim 20\%$  of the total at 10.6 GHz. Also the mean spectral index is  $0.7 + 0.15$  ( $S_{\text{av}}^{-\alpha}$ ) for this sample. Similar spectral index was found for radio galaxies, so that possibly very similar physical processes are at work. Similar studies by Hummel (1980) on a larger sample of smaller (and more distant) galaxies confirmed the above conclusions and showed that the disk radio power is directly related to optical luminosity. Thus the sources of relativistic electrons seem to be distributed more like the old disk population and not like young OB-stars. A more general conclusion of Hummel (1980) is that density waves don't seem to play a dominant role in the radio emission in galaxies.

The observations of edge-on galaxies allow us to study the e-electron halo problem. Now that some five galaxies could be studied at a number of frequencies we are able to say that some radio continuum is seen away from the disk and that the spectral index increases with distance above the plane. This increase can be due both to ageing of the particles and in the decrease of magnetic field. Such electron halos however are not going to retain the electrons but shed them into the intergalactic space.

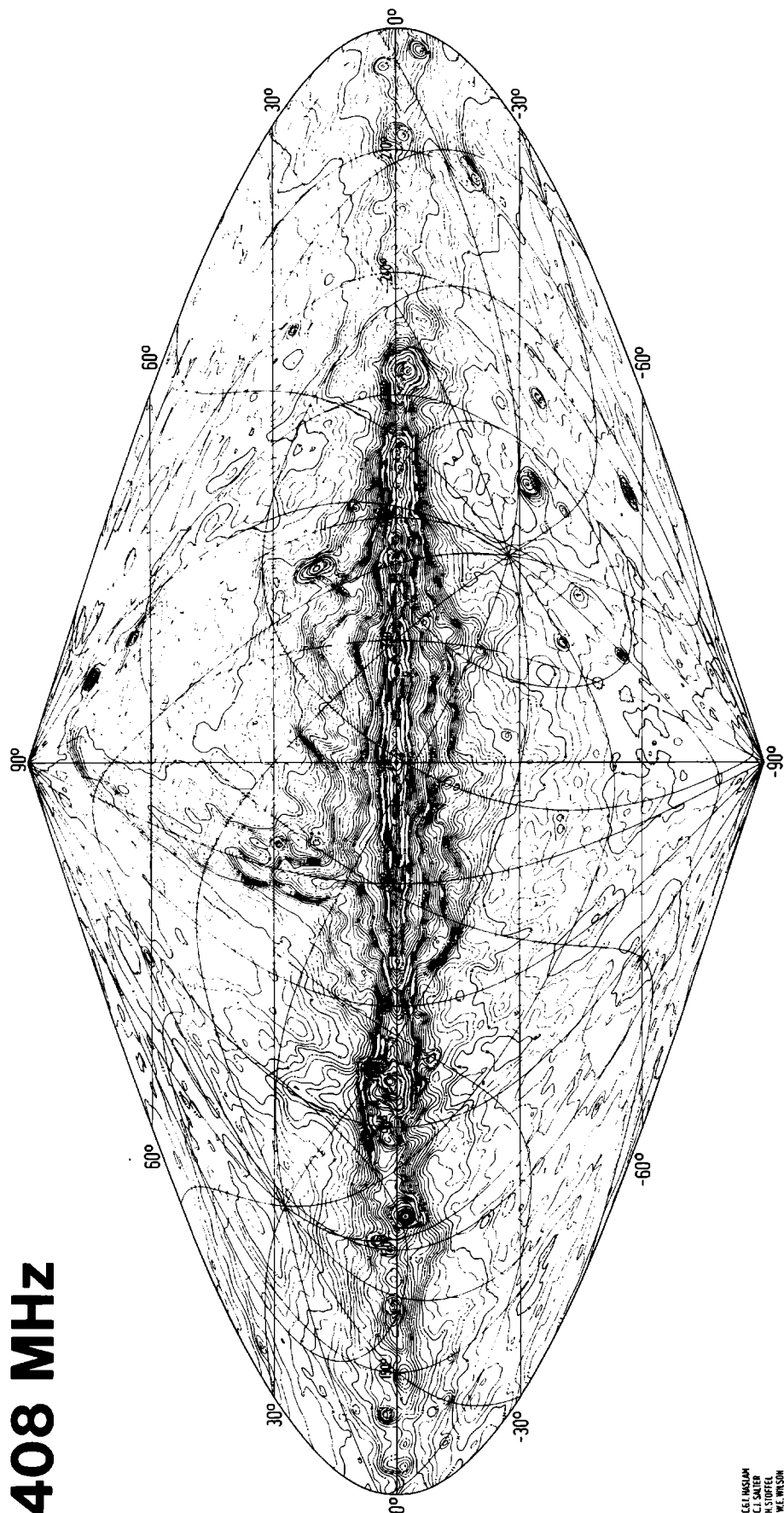
The linear polarization has now been mapped in five nearby galaxies. As an example in Figure 4 we see the result for M31. All the maps show the same pattern: The E-vectors are perpendicular to the spiral arms implying a rather uniform field along the spiral arms. This is an important results since so far we had only a few clues on the distribution of magnetic fields in galaxies. In view of the fact that density waves seem not to play a dominant role in the radiocontinuum emission, magnetic fields may be the answer.

#### REFERENCES

- Altenhoff, W.J.; Downes, D.; Pauls, T. and Schraml, J.: 1979, Astron. Astrophys. Suppl. 35, 23.  
Haslam, C.G.T. et al.: 1980, in preparation.  
Haynes, R.F.; Caswell, J.L. and Simons, L.W.J.: 1978, Australian J. Phys. Astrophys. Suppl. 45, 1.  
Hummel, E.: 1980, Astron. Astrophys. Suppl. 41, 151.  
Klein, U. and Emerson, D.T.E.: 1980, Astron. Astrophys. (in press).  
Landecker, T.L. and Wielebinski, R.: 1970, Australian J. Phys. Astrophys. Suppl. 16, 1.  
Webster, A.: 1978, Monthly Notices Roy. Astron. Soc. 185, 507.

**408 MHz**

BOL. N° 26. ASOC. ARG. DE ASTR.



L.F. HASLAM  
C.J. SALTER  
H. STOFFEL  
W.E. WATSON

Figure 1: The 408 MHz survey convolved to a  $2^\circ$  resolution  
(Haslam et al., 1980)

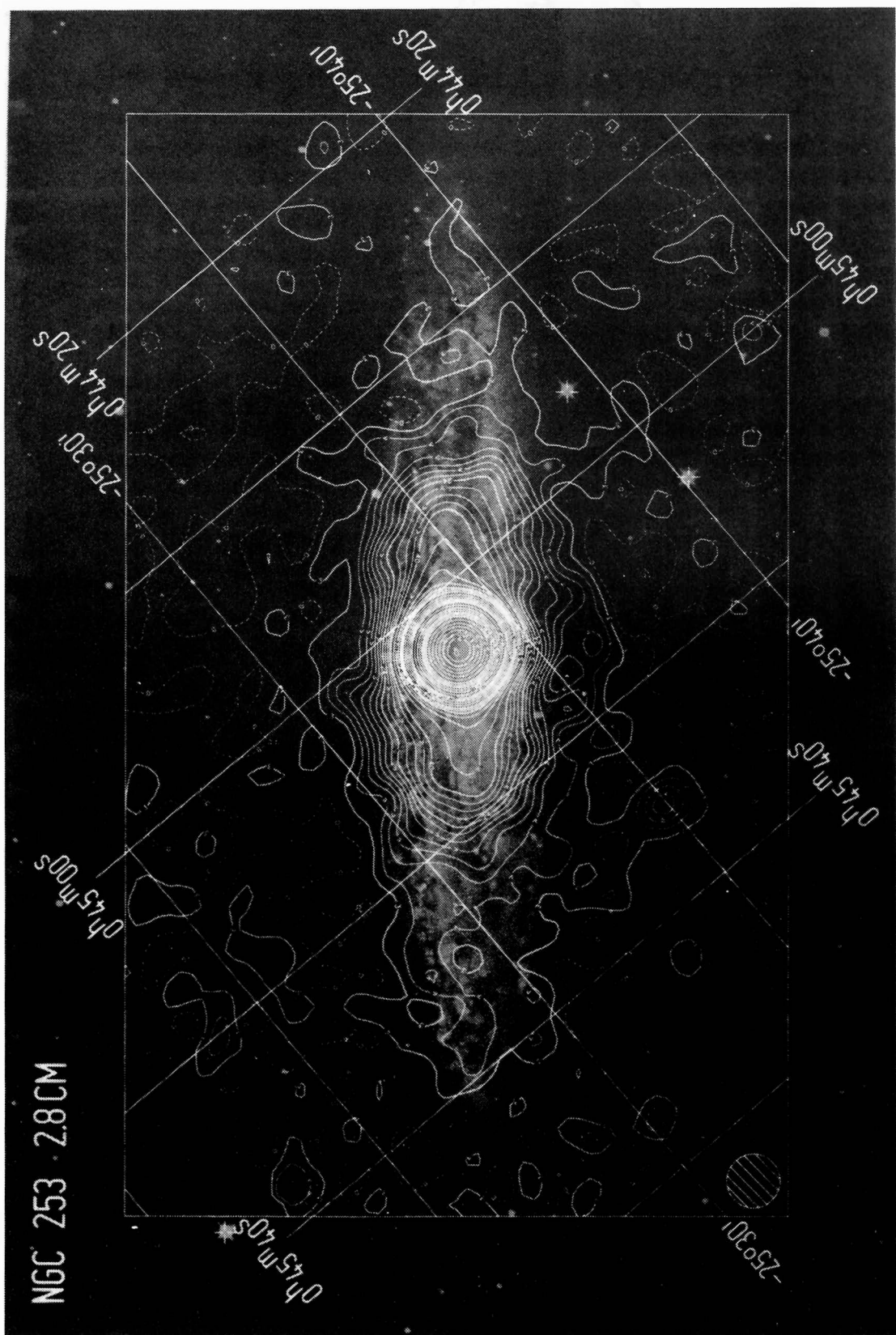
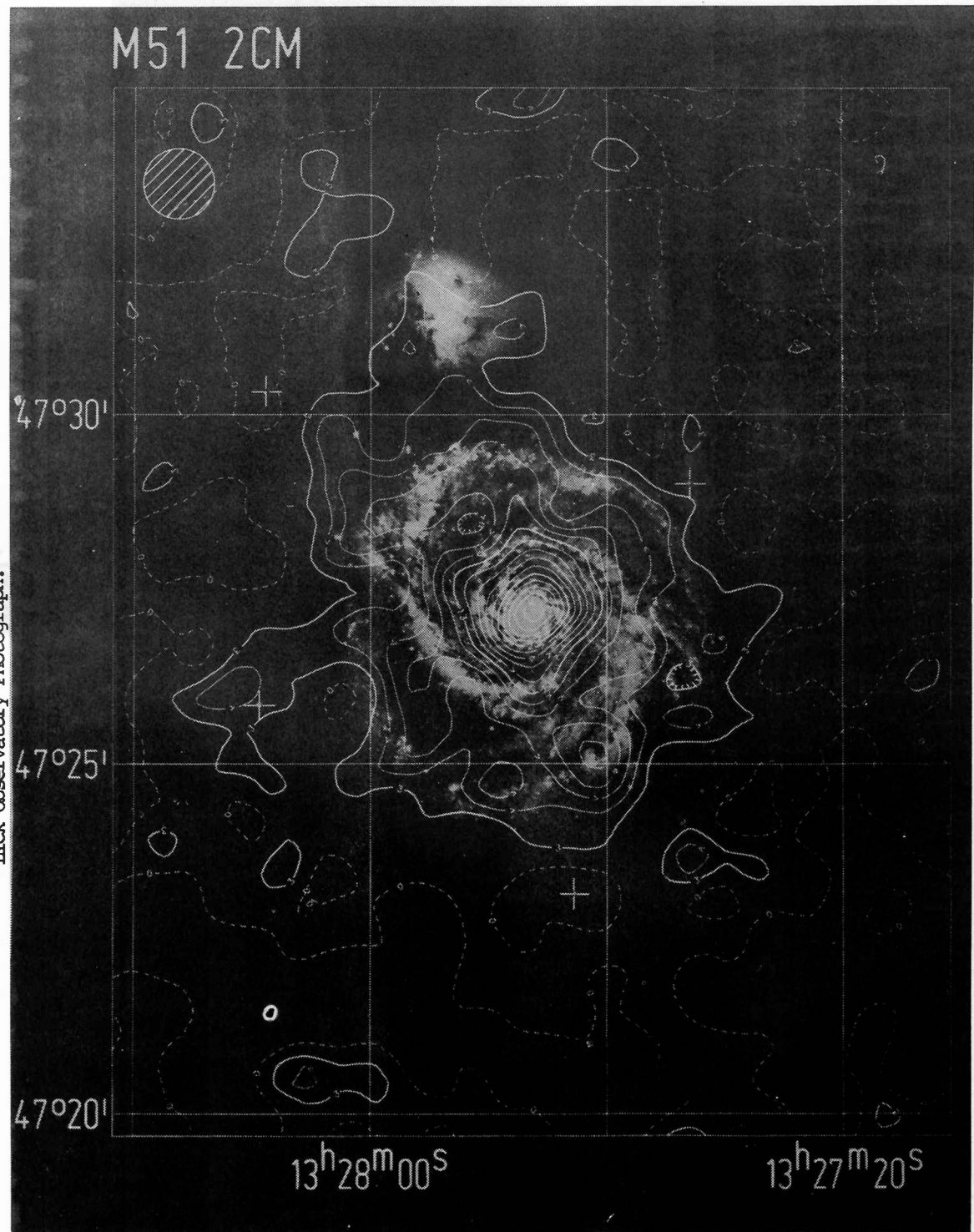


Figure 2: A  $\lambda 2.8$  cm radio map of NGC 253 (U. Klein) superimposed on an ESO Schmidt Plate.

**Figure 3:** A  $\lambda 2$  cm radio map of M51 (U. Klein) superimposed on a Lick Observatory Photograph.



BOL. N° 26. ASOC. ARG. DE ASTR.

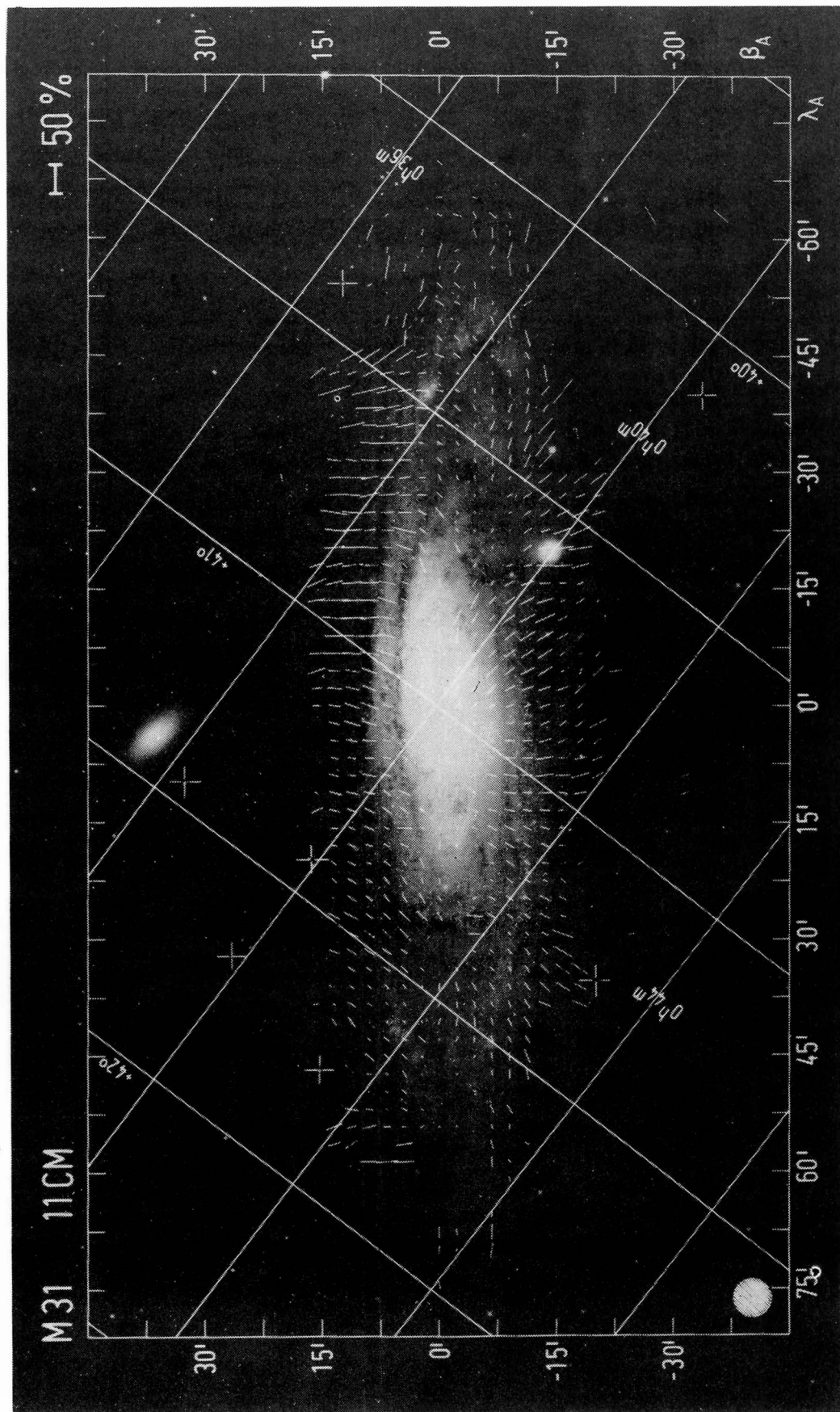


Figure 4: The E-vectors of the nonthermal emission of M31 at  $\lambda 11$  cm (R. Beck) superimposed on a Hale Observatories Plate (A.G. de Bruyn).

## INSTRUMENTACION



SISTEMA DE ADQUISICION DE DATOS DEL POLARIMETRO  
DEL O.A.L.P.

R.J. MARABINI y H. MARRACO

Observatorio Astronómico de La Plata

**RESUMEN:** El sistema consiste en una interfase, diseñada a base de CMOS, capaz de comunicarse con cualquier computadora, a la cual se pueda entrar y salir con datos por sistemas de entrada-salida o por interfaces adicionales. Nuestro sistema emplea una microcomputadora CBM 2001. El software consiste en una rutina de BASIC y una subrutina en absoluto. La capacidad del sistema de adquisición de datos, expandible, es actualmente de 96 dígitos decimales.

El polarímetro del Observatorio de La Plata imprime los valores prefijados y medidos sobre una banda de papel. Esta información tiene el formato de dieciseis caracteres numéricos por línea, siendo el total de seis líneas.

Estos 96 caracteres son multiplexados de tal forma que aparecen dieciseis dígitos de cuatro bits cada uno en código BCD, en paralelo.

La interfase desarrollada para intercomunicar el polarímetro con una microcomputadora CBM 2001, convierte la información paralelo en serie. En la figura 1 se puede ver el diagrama en block del sistema.

La etapa paralelo a serie envía un dígito de cuatro bits en paralelo a una etapa de tres estados que va directamente conectada a la puerta I/O de la microcomputadora en la barra de datos de ésta, D0, D1, D2, D3. La etapa de tres estados se habilita únicamente cuando el programa en absoluto solicita datos. Un contador se encarga de direccionar los distintos dígitos que deben salir a la barra I/O.

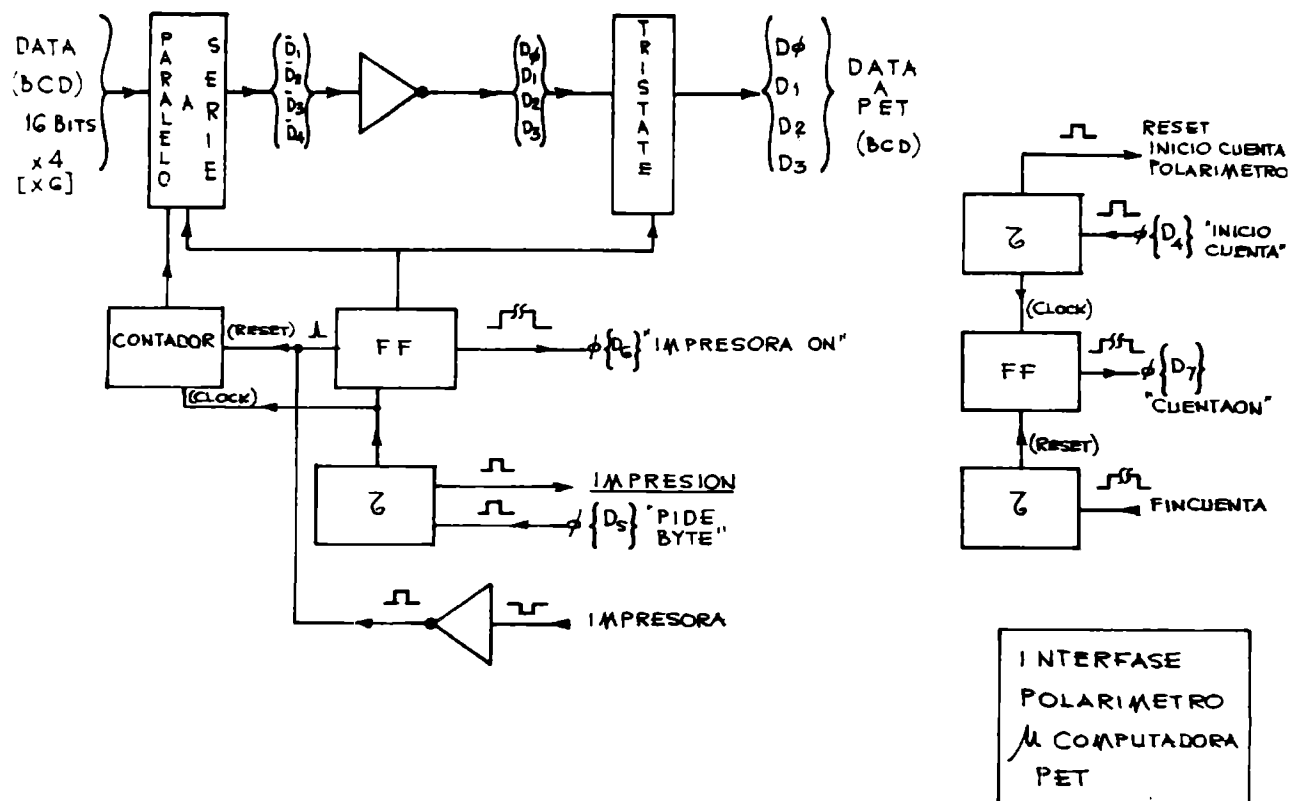
La información de control para interfase es extraída de la barra de datos D4, D5, D6 y D7, mediante multivibradores monoestables se conforma los pulsos incidentes.

El sistema opera cuando el programa pone un uno lógico en D5, que llamaremos "pide byte".

La salida "impresión" hace arrancar a la máquina impresora, y hace el reset del contador, que queda en cero, direccionalizando el primer dígito. Los siguientes "pide bytes" hacen avanzar el contador, enviando los siguientes datos.

El programa en absoluto no se ejecuta sino se tiene un uno lógico en D6, indicando que la máquina impresora por su parte está imprimiendo. La barra D4 comienza un conteo de lectura del polarímetro y la D7 impide que la computadora lo inicie si ya se está midiendo, pues se perdería la información recogida.

El programa desarrollado tiene por finalidad cargar las RAM de la micro computadora con los datos presentes en la puerta I/O y commandar la interfase para que éstos sean ubicados allí. El programa en sí tiene dos partes una en absoluto (lectura de datos) y otra en BASIC para poder pasar los datos a valor decimal y luego procesarlo de acuerdo al programa de reducción deseado. Figura 2.



DETECTOR PARA ESPECTROGRAFO CON RETICON DEL O.A.C.

Rodolfo José MARABINI

Observatorio Astronómico de La Plata

**RESUMEN:** Se presentan los aspectos generales de este equipo, diseñado y construido por primera vez en el país; y sus posibilidades en los usos espectrofotométricos. Una descripción de las partes que lo componen es dada y las ventajas que de éstas se puede obtener. Se muestran los resultados de laboratorio, obtenidos con el espectrógrafo nebuloso del Observatorio Astronómico de Córdoba. El software fue desarrollado para procesar los datos en Basic, pero la adquisición de datos se hace en lenguaje absoluto de máquina, éste es aplicable a las microcomputadoras OPI-OHIO-APPLE-PET, siendo necesario el empleo de una sencilla interface.

### 1. DETECTOR

El detector Reticon consiste en un arreglo lineal de N diodos donde N puede ser 128, 256, 512 y 1024, etc., que al ser expuestos a la luz reaccionan alterando su estado de cargas eléctricas.

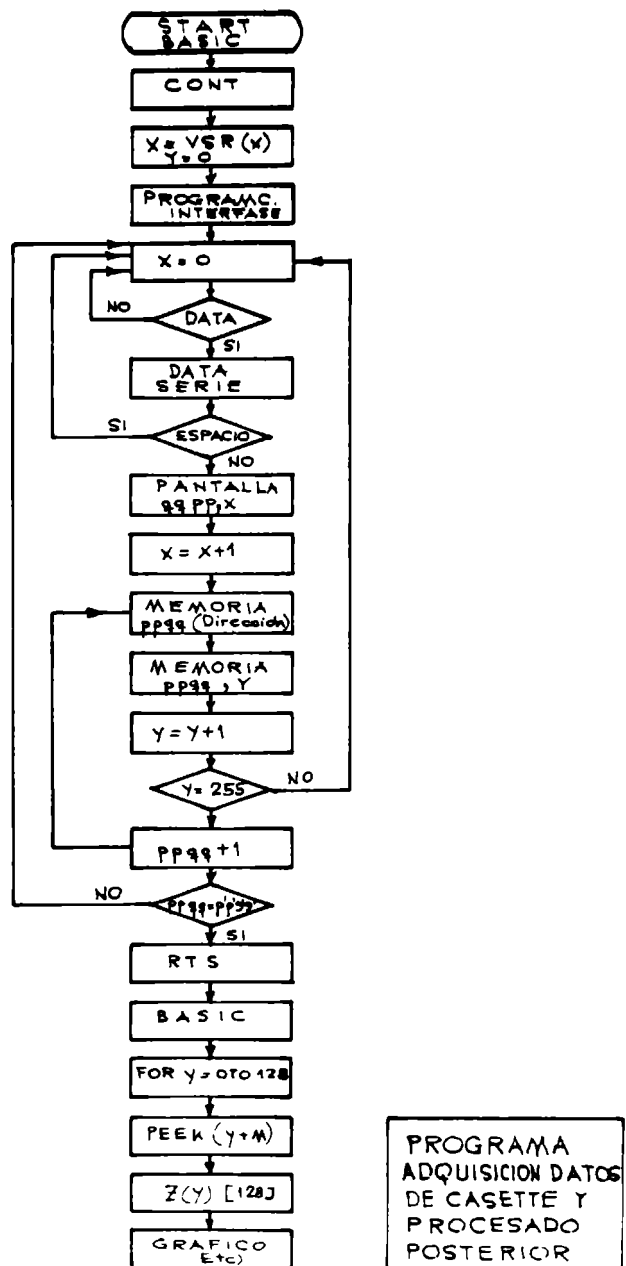
Cada diodo es cargado a una tensión fija y la acción de la luz libera cargas que hacen disminuir el valor inicial. Durante un tiempo, que llamaremos de integración, cada diodo o pixel, es sometido a la incidencia de los fotones a detectar. Al final de este lapso se mide la carga resultante, como una diferencia de potencial, mediante un electrómetro o amplificador de muy alta impedancia de entrada. El Reticon usado para este equipo que llamaremos RET-128S, tiene 128 pixels de 25 micrones por 2,5 milímetros de ancho cada uno, el largo total útil es de 3 milímetros.

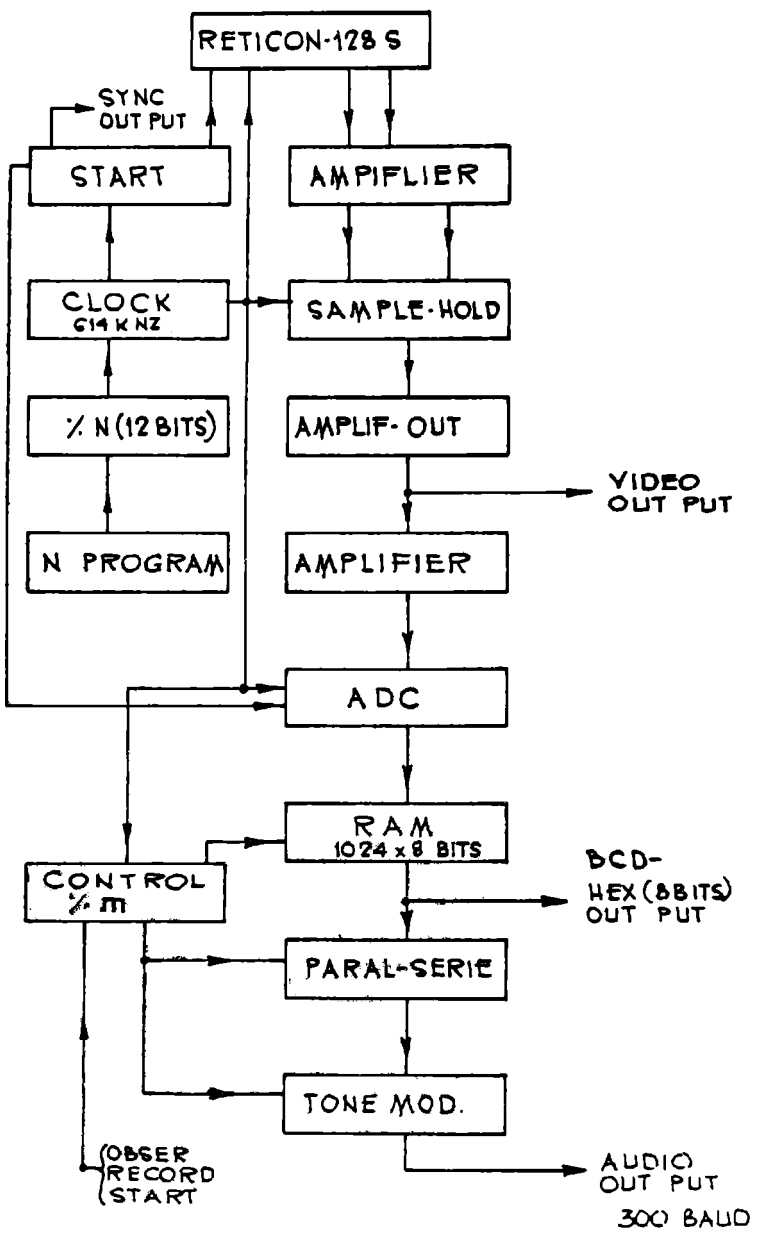
A los fines de extraer la información de cada pixel es necesario aplicar al detector un sistema de señales de comando.

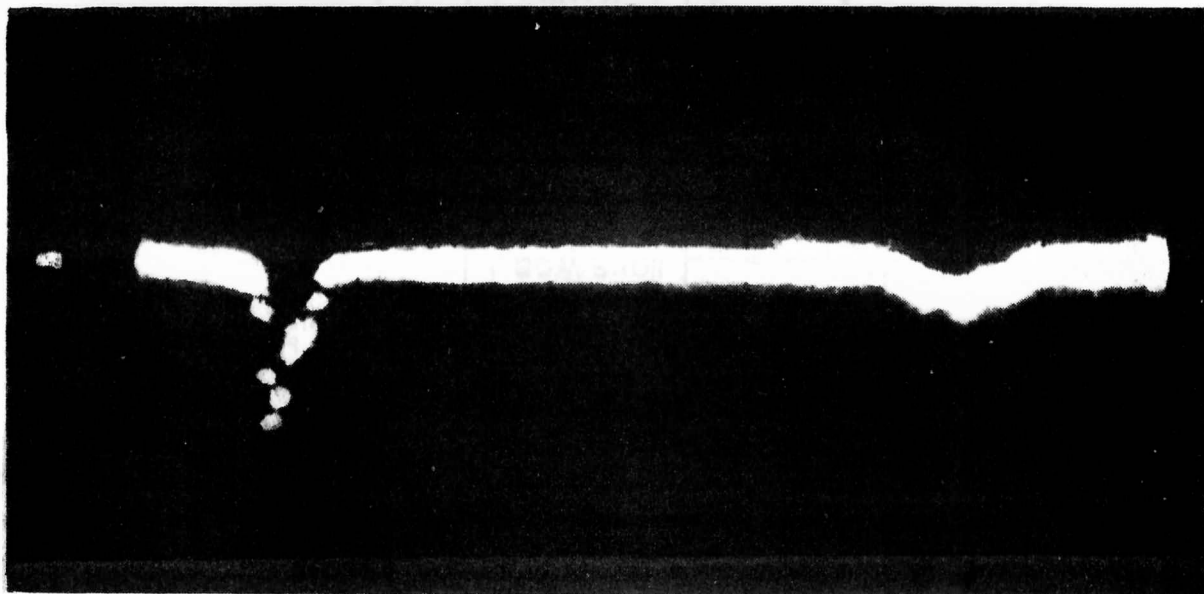
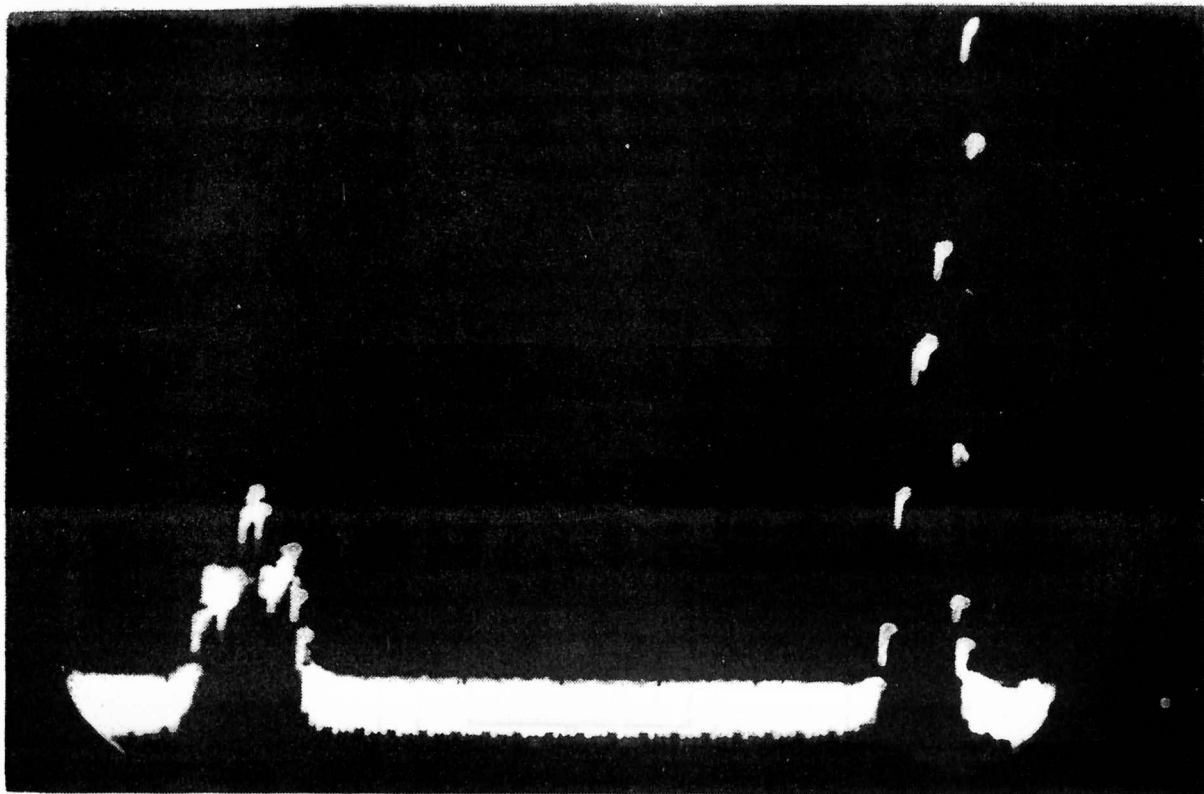
### 2. SISTEMA DE CONTROL

En la figura 1 se puede ver el diagrama en block y se puede dividir la tarea del equipo así:

a) Observación. Es la etapa de adquisición de los valores correspondientes a la incidencia luminosa en cada pixel. Las señales de comando se obtienen de un reloj que, a través de un divisor programable permite ajustar el tiempo de integración deseado. El reloj actúa sobre una etapa programada especialmente, comportándose como ROM, entrega las señales correspondientes para el manejo de los registradores de corrimiento del Reticon, sistema de muestreo y mantenimiento (SEH) y







142

BOL. N° 26. ASOC. ASTR.

reset. El sistema de muestreo y mantenimiento (sample and hold) permite eliminar el ruido de baja frecuencia del amplificador de entrada.

Un convertidor analógico-digital pasa el valor analógico medido en cada pixel a un valor correspondiente en lenguaje hexadecimal. El convertidor es de ocho bits de salida y permite leer escalones de 1/255, la velocidad de conversión es de unos 60 microsegundos.

El RET-128S tiene una capacidad de memoria propia de 1 kilo byte de 8 bits. Esto permite almacenar el resultado de ocho barridos de 128 pixeles o cambiando el detector un barrido de 1024 pixels.

b) Grabación: Esta etapa de la medición hace factible pasar la información guardada en la memoria (RAM), byte a un sistema conversor de hexadecimal a BCD; de BCD es transformada en sistema ASCII. Un convertidor paralelo a serie prepara los datos para ser grabados mediante tonos dados en un modulador.

La unidad de control permite dar las distintas velocidades de escritura y lectura a la RAM. Un pulsador ubicado en esta parte del equipo, al estar oprimido envía un tono de 2,4KHz permanentemente y al liberarlo, tras un lapso de unos 10 segundos en que continúa enviando el tono, comienza a entregar la señal seriada en la salida de audio que se conecta al grabador de cassette. El tono permanente es para indicar el comienzo de la información grabada.

Se ha previsto en la construcción del RET-128S la posibilidad del agregado de un sistema de enfriamiento para el detector, necesario para disminuir la lectura de oscuridad.

Las mediciones indican que esta lectura de oscuridad es detectable con tiempos de integración mayores de 100 milisegundos; se hace muy grande al usar 40 segundos.

El sistema de enfriamiento propuesto trabajaría con hielo seco y extraería el calor mediante conductores térmicos de aluminio o cobre.

### 3. COMUNICACION CON EL RET-128S

El instrumento se puede comunicar con el usuario mediante los siguientes puntos.

a) Salidas de video y sincronismo, hace posible visualizar el espectro directamente en la pantalla de un osciloscopio. El espectrógrafo más el RET-128S y un osciloscopio común, forma un analizador de espectros. En la figura 2 se muestra los resultados directos de laboratorio obtenidos con el espectrógrafo Nebular de Bosque Alegre empleando una fuente de mercurio. Las fotografías muestran los detalles con poca y mucha ganancia en el eje vertical del osciloscopio. La señal de sincronismo entrega un pulso cada vez que se comienza un barrido y la siguiente adquisición de datos en la RAM.

b) Salida para registro en grabadores tipo cassette, la señal a grabar es modulada por tonos de 1,2 y 2,4 KHz según se tengan ceros o unos en la salida digital en código ASCII. Corresponde a la norma "Kansas City Standard" de 30 caracteres por segundo (300 Baud).

- c) Salida en BCD de 3 dígitos, esta salida está preparada pero no es accesible sino por el agregado de un conector.
- d) Salida en hexadecimal, byte de 8 bits, permite conectar directamente una microcomputadora en forma permanente, es necesario otro conector.
- d) Programación del tiempo de integración, existe la posibilidad de dar el tiempo de integración manualmente (llaves en el frente) mediante el agregado de una interfase mínima (latches) desde una microcomputadora. El tiempo se programa en hexadecimal y se puede ajustar entre 40 milisegundos a 40 segundos.

#### 4. SISTEMA DE LECTURA DE LA INFORMACION GRABADA

Para pasar de la señal de audio, que se obtiene al reproducir la cinta, directamente a la barra de datos de las computadoras se desarrolló una interfase que toma los tonos de 1,2 y 2,4 KHz y los convierte nuevamente en ceros y unos del código ASCII. Se construyeron dos interfaces una para Apple y otra para Ohio siendo ambas iguales.

Estas interfaces son necesarias pues en el caso de la micro-Apple no trabaja en norma Kansas City Standard y en la CPI no se puede dirigir fácilmente los datos en las RAM de la máquina, para su posterior procesado.

#### 5. PROCESO DE LA INFORMACION

Se puede hacer directamente en lenguaje BASIC desde la lectura del Cassette hasta graficar en la pantalla de la microcomputadora el espectro medido.

Un método superior, que se probó con la Ohio utiliza un programa en lenguaje BASIC pero que produce dos acciones distintas para obtener los resultados buscados.

La primera acción es leer la información del cassette mediante la interfase. Un programa en lenguaje absoluto de máquina toma el control y muestra sobre la pantalla los dígitos que se están cargando en las memorias RAM de la microcomputadora (figura 3). El programa en lenguaje absoluto está escrito para el microprocesador 6502, utilizado por la Apple, Ohio y Pet. El paso de BASIC a lenguaje de máquina se hace empleando X=USR(X) y se sale de este mediante una orden RTS.

La segunda acción se produce al encontrar RTS y se pasa a procesar los datos de acuerdo a lo deseado formando arreglos con cada barrido del detector, graficando, etc. Esta parte del programa se hace exclusivamente en BASIC.

El desarrollo de este equipo muestra que es factible construir con elementos convencionales, a excepción del Reticon, un instrumento que puede ser de gran ayuda en las observaciones espectroscópicas tanto de laboratorio como astronómicas.

Debo agradecer al Dr. José Luis Sérsic por su interés y confianza en el desarrollo de este instrumento.

DISPOSITIVO FOTO-ELECTRONICO PARA REGISTROS DE TRANSITOS DEL  
CIRCULO MERIDIANO

R.A. CARESTIA y C.C. MALLAMACI

Observatorio Astronómico "Félix Aguilar"

RESUMEN:

En el Círculo Meridiano se cambió íntegramente el sistema electro-mecánico de toma de tiempos de pasos, por un sistema foto-electrónico, que elimina el problema de roce e incertidumbre de contactos mecánicos. Este dispositivo fue construido completamente en nuestro Observatorio por el mecánico de precisión C. Manucci y el Ing. E. Molina.

El Círculo Meridiano del Observatorio Astronómico "Félix Aguilar" ha trabajado durante más de 10 años, con el siguiente dispositivo de toma de tiempos: Un disco metálico de aproximadamente 4 cm de diámetro, fijo en forma solidaria con el micrómetro de Ascensión Recta. En la periferia de dicho disco, existen 5 levas semi-cilíndricas, dispuestas en 5 de los vértices de un exágono regular. Estas levas accionan un relay, encargado de cerrar el circuito eléctrico de un cronógrafo impresor de los denominados de tipo mecánico. El dispositivo puede verse en la figura n° 1.

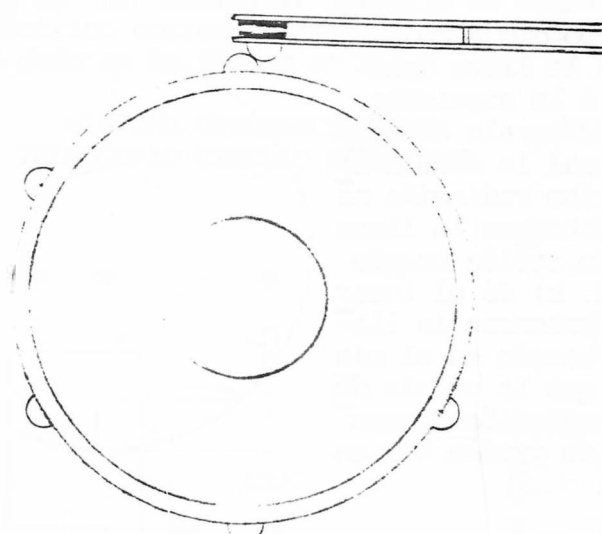


Figura n° 1

En nuestro afán de modernizar nuestros equipos y por mejorar la precisión de nuestras observaciones, adquirimos un nuevo cronógrafo. Este, de tipo totalizador electrónico (EMC 1000). Al mismo tiempo, decidimos modificar el sistema de la figura n° 1, a fin de contar con señales eléctricas más apropiadas para el nuevo cronógrafo. Para ello, aprovechamos la aparición en el mercado del denominado "Switch optoelectrónico de fin de carrera MCT 81". Este dispositivo es un interruptor óptico, que consta de dos partes: Una de ellas es un emisor de radiación infrarroja y la otra, una célula fotoeléctrica que la recibe. Lo más importante en este caso, es que ambas partes están construidas en un único bloque, lo que le da gran estabilidad al sistema (fig.n°2).

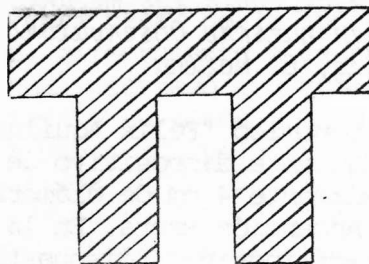


Figura n° 2

Este dispositivo actúa como una llave, que está cerrada si la célula fotoeléctrica acusa la presencia de rayos infrarrojos y que está abierta en caso contrario.

Para poder utilizar este Switch optoelectrónico, diseñamos un disco metálico de 7 cm de diámetro y en cuya periferia se hicieron 5 ranuras, también en 5 de los vértices de un exágono regular. El disco así construido, se dispuso de forma tal, que su borde con las ranuras, gire entre el emisor y el receptor del Switch MCT 81, para que trabaje como interruptor del circuito del cronógrafo impresor. En la figura n° 3, se ve el nuevo disco.

Asimismo, utilizamos un circuito integrado (el 555 monoestable), para regular el tiempo que debe permanecer cerrada la llave óptica, de acuerdo a la siguiente ley: a) Si el intervalo de tiempo durante el cual la célula fotoeléctrica recibe radiación es menor de 0.5 s, entonces la llave cambia su estado recién cuando transcurren 0.5 s. b) Si el intervalo es mayor, entonces la llave modifica su estado en el mismo instante en que la célula deja de recibir radiación. Estas posibilidades, se pueden ver en la figura n° 4.

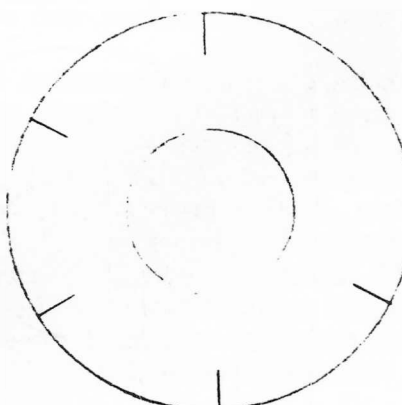


Figura n° 3

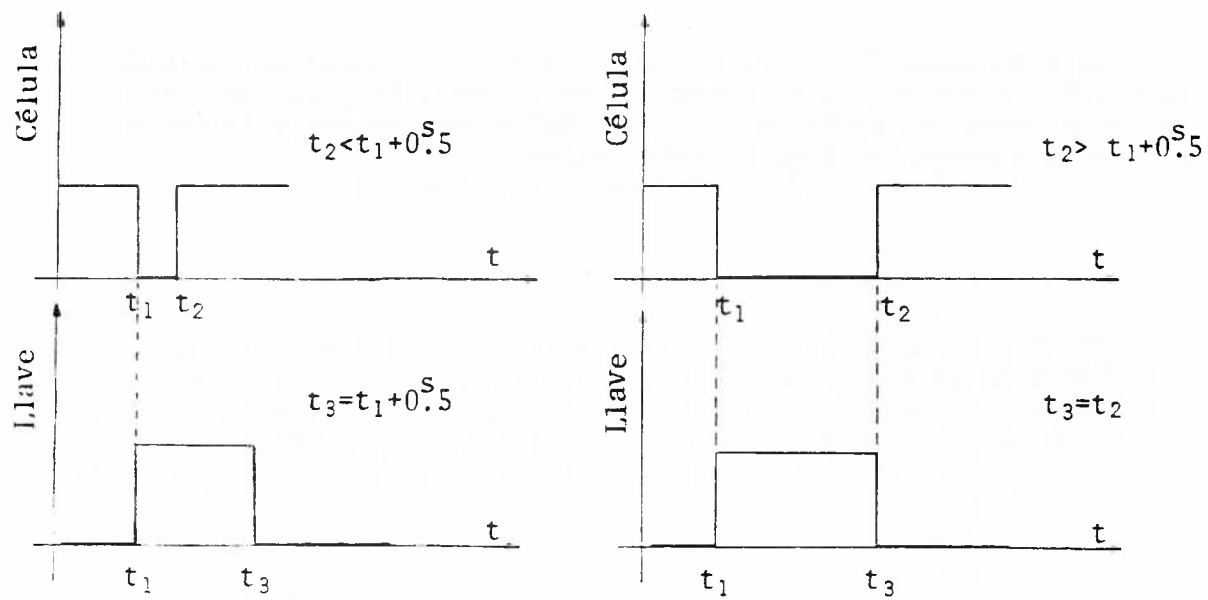
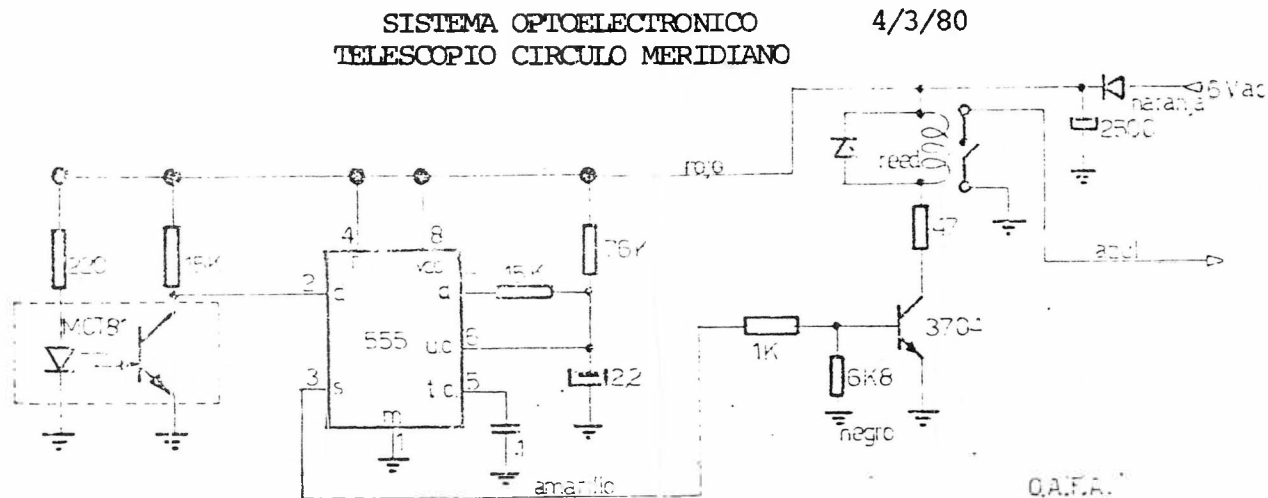


Figura n° 4

Esta regulación, se hizo para evitar que el cronógrafo reciba señales de interferencias, mientras procesa la última información recibida.

Con este dispositivo, hemos eliminado completamente el roce mecánico que existe en un sistema como el de la figura n° 1. Como consecuencia de ello, se ha conseguido una mayor suavidad en el seguimiento de las estrellas y por lo tanto una mejor obtención de tiempos de pasos.

El Circuito eléctrico correspondiente a este nuevo sistema en experimentación, está dado en la figura n° 5.



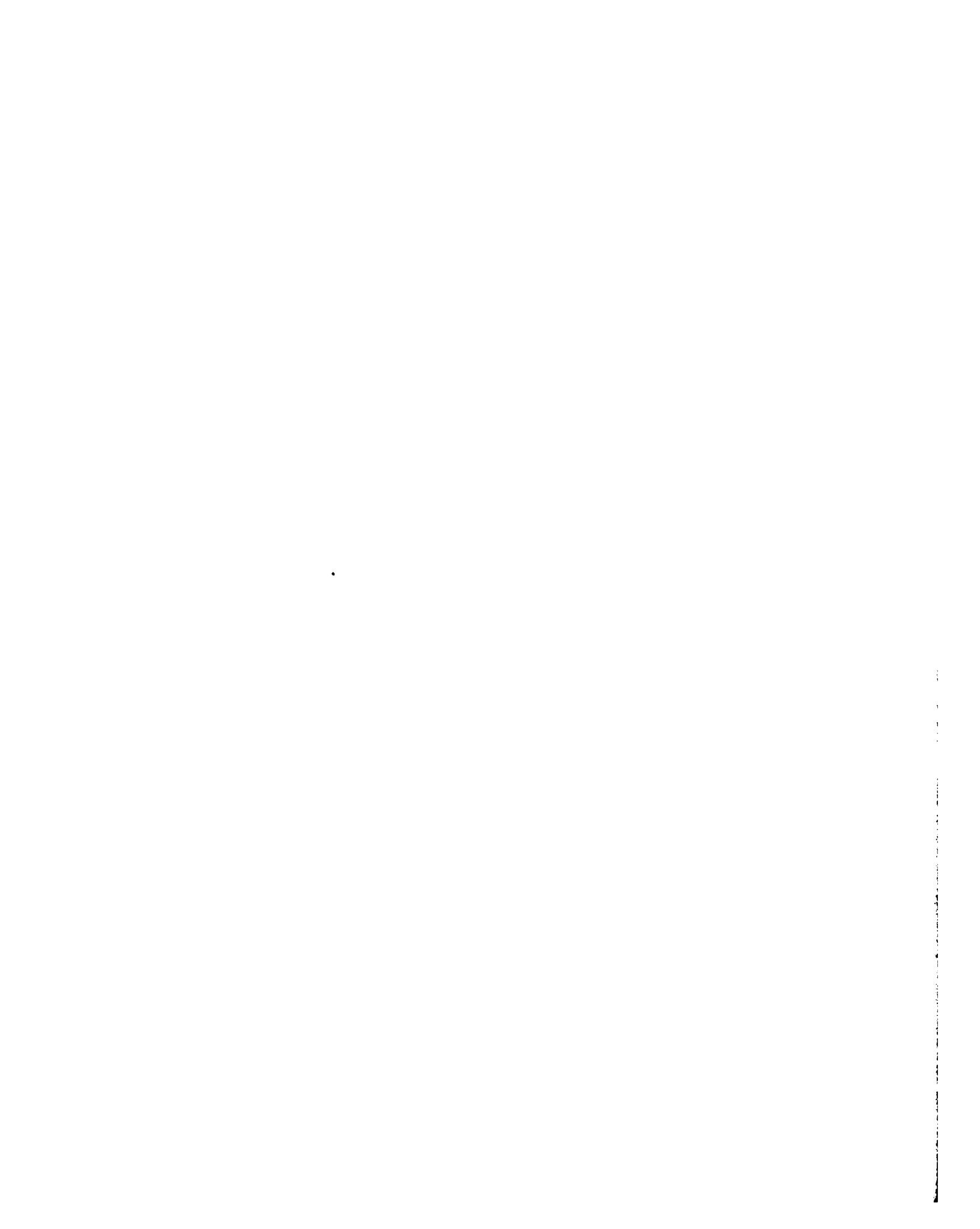
Es importante destacar, que todo el sistema descripto, ha sido construido íntegramente en nuestro Observatorio. La parte mecánica estuvo a cargo del Mecánico de Precisión Carlos Manucci y la parte eléctrica a cargo del Ing. Eduardo Molina.

FOTOMETRO PILOTO PARA EL LEONCITO

R.J. MARABINI

Observatorio Astronómico, La Plata

Las características de este sistema para fotometría y polarimetría son descriptos, como así el grado de desarrollo en la construcción del mismo. Se hace un análisis de las posibilidades que dará a los investigadores y de las formas en que la información ha de ser obtenida, impresa o directamente a una computadora.



MECANICA CELESTE



## ON FORMAL AND PERIODIC SOLUTIONS OF THE THREE-BODY PROBLEM

Carlos A. ALTAVISTA

Observatorio Astronómico de La Plata

## ABSTRACT:

Highlights on Poincaré's research concerning semiconvergent series are given in this paper. The problem of the vanishing Hessian is analyzed with regard to both linear and non-linear differential equations in a special case studied by that author, showing that the relationships between periodic and formal solutions of the three-body problem should be investigated more closely. In this connection, further investigations should also take into account Barrar's results referred to the problem of normalization of the Hamiltonian in canonical systems.

1. Let us consider the following canonical system of differential equations with two degrees of freedom:

$$(1) \quad \frac{dx_i}{dt} = \frac{\partial F}{\partial y_i} \quad \frac{dy_i}{dt} = - \frac{\partial F}{\partial x_i} \quad i = 1, 2$$

where  $F$ , the Hamiltonian depends on a small parameter  $\mu$ . It follows from elementary considerations that  $F$  admits a development of the form:

$$(2) \quad F = F_0 + \mu F_1 + \mu^2 F_2 + \dots$$

where  $F_0$  depends only the  $x$  set of variables, meanwhile the remaining  $F_i$  ( $i=1, 2, 3 \dots$ ) depend on the  $x$  set as well as on the  $y$  set of variables. (The  $y$ 's being periodic functions with period  $2\pi$ ).

The question of integrals of system (1) in Celestial Mechanics is closely connected to the vanishing of the Hessian

$$(3) \quad H(F_0) = \left| \begin{array}{c} \frac{\partial^2 F_0}{\partial x_1 \partial x_2} \end{array} \right| = 0$$

This is almost a general fact in the three-body problem the restricted three-body problem being an exception. With regard to planetary theory we shall refer later to a result obtained by Moser and Siegel.

The immediate consequence of the vanishing of  $H(F_0)$  is that the series which are solutions of system (1) can only satisfy them formally. I have treated these last two problems in several previous papers.

2. Let us now pay attention to the following linear differential equation due to Gylden:

$$(4) \quad \frac{d^2x}{dt^2} + q^2 x = q_1 x \cos 2t$$

where  $q^2$  and  $q_1$  are some constants. Equation (4) follows from another differential equation due to Gylden:

$$(5) \quad \frac{d^2\rho}{dt^2} + \rho = B$$

where  $\nu_0$  is the undisturbed value of the mean longitude:  $\rho$  is the difference between the disturbed and undisturbed values of the quantity

$$-\frac{1}{u} = r$$

$r$  being the geocentric distance of the body. (The Moon).  $B$  is the lunar disturbed lunar function.

The differential equation (4) is obtained from the non-linear equation (5) by taking an appropriate term from  $B$ ; after this term has been linearized, the remaining terms of  $B$  are neglected. Equation (4) follows, then immediately. This equation (4) can be brought to the canonical form (1) by means of elementary transformations of variables. In this particular case the Hamiltonian takes the form:

$$(6) \quad F = -q x_1 - x_2 + \mu x_1 \sin y_1 \sin y_2$$

We have clearly

$$F_0 = -q x_1 - x_2$$

and then:

$$\left| \frac{\partial^2 F_0}{\partial x_1 \partial x_2} \right| = 0$$

However, our linear differential equation (4) has periodic solutions, the nature of which has extensively been studied by Poincaré and others.

Let us now turn our attention to the non-linear differential equation (Gylden)

$$(7) \quad \frac{d^2x}{dt^2} + (q^2 - q_1 \cos 2t)x = \alpha \varphi(x, t)$$

which, clearly, is another form of writing equation (5);  $\varphi$  is here a function which can be developed in powers of the variable  $x$ , and it is also expressed in terms of the following arguments:

$$\lambda_2 t, \lambda_3 t, \dots, \lambda_n t$$

where:  $\lambda_2 = 2$

When we write:

$$y = \frac{dx}{dt} \quad y_i = \lambda_i t$$

$$\varphi(x,t) = \frac{d\psi}{dx}$$

where  $\psi$  has the same properties as  $\phi$ . Let us now assume that we have replaced  $\lambda_i t$  by  $y$  in  $q_1 \cos 2t$ ,  $\phi$  and  $\psi$ . By introducing  $n-1$  auxiliary variables  $x_2, x_3, \dots, x_n$ , and putting:

$$(8) \quad F = \frac{y^2}{2} - \alpha \Psi + \frac{x^2}{2} (q^2 - q_1 \cos y_2) - \sum \lambda_i x_i$$

we obtain the following canonical system:

$$(9) \quad \begin{aligned} \frac{dx}{dt} &= \frac{\partial F}{\partial y} & \frac{dy}{dt} &= -\frac{\partial F}{\partial x} \\ \frac{dx_i}{dt} &= \frac{\partial F}{\partial y_i} & \frac{dy_i}{dt} &= -\frac{\partial F}{\partial x_i} \quad (i = 2, 3, \dots, n) \end{aligned}$$

By putting:

$$x = \frac{1}{q} \sqrt{2x_1} \cos y_1$$

$$y = q \sqrt{2x_1} \sin y_1$$

we have that:

$$x dy \sim x_1 dy_1$$

is an exact differential, and then,  $F$  will be periodic with respect to the  $y$ 's. We shall have:

$$q x^2 + y^2 = 2q x_1$$

$\alpha$  is a small parameter. When  $\alpha = 0$ , we get:

$$F_0 = q x_1 - \frac{q_1}{q_2} x \cos^2 y_1 \cos y_2 - \sum \lambda_i x_i$$

$F_0$  depends here on the  $x$  set as well as on the  $y$  set. The last step is to seek an undisturbed Hamiltonian  $F_0$  where the  $y$ 's be absent.

By taking now the  $y$ 's such that:

$$y_i = \lambda_i t + \bar{\omega}_i$$

where the  $\lambda_i$  and  $\bar{\omega}_i$  are constants; we shall also have

$$y'_1 = -ht + \bar{\omega} \quad \text{and when:}$$

$$x_i = x'_i \quad y_i = y'_i \quad i > 2.$$

we can construct a new Hamiltonian  $F$  such that for  $\alpha = 0$  we get:

$$(10) \quad F_0 = h x'_1 - \lambda^2 x'_2 - \lambda_2 x'_2 - \dots - \lambda_n x'_n$$

corresponding to the set of differential equations

$$(11) \quad \frac{dx'_i}{dt} = \frac{\partial F}{\partial p'_i}, \quad \frac{dp'_i}{dt} = - \frac{\partial F}{\partial x'_i} \quad (i=1,2,\dots,n)$$

Clearly:

$$\left| \frac{\partial^2 F_0}{\partial x'_i \partial x'_j} \right| = 0$$

and consequently equation (6) admits only formal solutions. It is then evident that the systems (1), with two degrees of freedom, and respectively, system (11) with  $n$  degrees of freedom have resp. periodic solutions and formal solutions, despite that in both cases the Hessian  $H(F_0)$  vanishes. It should be remembered here that equation (4) is a particular case of equation (6), when  $\alpha$  is put equal to zero.

We should now mention here an important result obtained by Poincaré in his search of differential equations of Celestial Mechanics. He has shown that equations of the form:

$$\frac{d^2x}{dt^2} - \alpha x = \mu \varphi(x,t,\mu)$$

where  $\alpha$  is a positive constant,  $\mu$  a small parameter, and  $\varphi$  is a power series in the parameter  $\mu$ , the coefficients of which depend on trigonometrical terms with  $\lambda_i t$  as arguments, will admit convergent solutions in the following two cases:

- 1) When  $\varphi$  depends on only one argument  $\lambda_i t$ , convergences takes place when  $\alpha$  is a positive (or negative) number.
- 2) When  $\varphi$  depends on several (finite number) of arguments  $\lambda_i t$ , convergence takes place only when  $\alpha$  is positive.

We shall point out finally in this paragraph that Siegel and Moser has succeeded to construct planetary theories with a non-vanishing Hessian  $F_0$ . The series of Celestial Mechanics do converge in this case then.

3. There is still another way of approaching the problem of convergence in Celestial Mechanics. In fact, given the Hamiltonian:

$$(12) \quad H = \lambda_1 p_1 + \lambda_2 p_2 + \sum_{i+j=2}^{\infty} A_{ij}(q_1, q_2) p_1^i p_2^j$$

where the constant term and the linear periodic terms in  $q_1$  and  $q_2$  are absent. If  $\lambda_1/\lambda_2$  is irrational, for any preassigned integer  $n$  the Hamiltonian (12) can be reduced to the form:

$$H = \lambda_1 p_1 + \lambda_2 p_2 + \sum_{i+j=2}^{n-1} A_{ij} p_1^i p_2^j + \sum_{i+j=n}^{\infty} A_{ij}(Q_1, Q_2) \cdot p_1^i p_2^j$$

It is then possible to eliminate periodic terms up to an arbitrarily high order, although the circle of convergence diminishes in each step. Assuming now that by a cononical (convergent) transformation we can write a new Hamiltonian

$$H(p_i q_i) = \lambda_1 P_1 + \lambda_2 P_2 + AP_1^2 + BP_1 P_2 + CP_2^2 + \\ + \sum_{i+j=3} A_{ij} P_1^i P_2^j = H(P)$$

it can be asserted (Barrar) that for a given  $B_{ij}$  ( $q_1, q_2$ ) and given  $\epsilon > 0$ , there are arbitrarily small  $C_{ij}$  ( $q_1, q_2$ ) such that the transformation to normal form of

$$A_{ij} + \epsilon B_{ij}(q_1, q_2) + C_{ij}(q_1, q_2)$$

will not converge in a whole neighborhood of the origin.

4. As a last point I would like turn my attention to a remarkable differential equation which appears in planetary theory. The equation reads:

$$(13) \quad \frac{dx}{dt^2} + P(t)x = 0$$

where  $x = E - E_0$  is the difference between the disturbed and undisturbed values of the eccentric anomaly.  $P(t)$  is a trigonometric series in multiples of the argument  $E$ , the coefficients being powers of the eccentricity.  $P(t)$  also contains one or several terms with the disturbing mass as a factor. The process of obtaining this differential equation has been described in a previous paper (Altavista). Equation (13) follows from the more general one:

$$(14) \quad \frac{dx}{dt^2} + P_0(t)x = \mu \phi(x, t)$$

where  $\phi$  is the disturbing function,  $\mu$  is the disturbing mass, and  $P_0(t)$  is a trigonometrical series in multiples of the argument  $E$ ; the coefficients are powers of the eccentricity. This equation (14) can be obtained by applying to the general equations of the three-body problem in rectangular coordinates, the method of the variation of the parameters in the second version of it, as devised by Lagrange himself. Then a selected term is taken from the right-hand side of equation (14) and then linearized. This new linear term can then be combined with the linear term of the left-hand side of equation (14) and equation (14) follows at once when the remaining terms from the right-hand side of equation (14) are neglected. The same process can, of course be applied to several terms of the second member of (14).

Equation (13) is now a linear differential equation with a periodic coefficient, and its solutions may be stable or unstable according to the particular values of the parameters. The convergence (or divergence) of solutions takes place for some finite and conti-

nous ranges of the parameters. It is naturally interesting to find out the quality of the solutions for the remaining orbital elements  $a$ ,  $e$ ,  $I$ ,  $\omega$ ,  $\Omega$ , and  $\epsilon$  respectively. With this object we must pay attention to the set of linear variational equations set up by Lagrange for solving this problem. These equations read:

$$(15) \quad \begin{aligned} \sum_{l=1}^3 x_i^{(j)} \delta x_i &= 0 \\ \sum_{l=1}^3 x_i^{(i)} \delta x_i &= Y^{(j)}(E) \delta E \end{aligned}$$

where the  $\delta x_i$  are respectively the variations of the directional cosines  $P_x, P_y, P_z, Q_x, Q_y, Q_z$ , the semi-major axis  $a$ , the semiminor axis  $b$ , and the eccentricity  $e$ . The coefficients in equations (15) depend on the undisturbed values of the Keplerian elements and  $Y^{(j)}(E)$  contains the disturbed value of the eccentric anomaly as well. We then have six equations with eight unknowns. The set (15) can be simplified by using the well-known relationships

$$(16) \quad \begin{aligned} P_x^2 + P_y^2 + P_z^2 &= 1 \\ Q_x^2 + Q_y^2 + Q_z^2 &= 1 \\ P_x Q_x + P_y Q_y + P_z Q_z &= 0 \end{aligned}$$

By applying appropriate factors to system (15) and taking into account relationships (16) one can get the new system:

$$(17) \quad \begin{aligned} \sum_{l=1}^2 x_i^{*(j)} \delta x_i^* &= 0 \\ \sum_{l=1}^2 x_i^{*(i)} \delta x_i^* &= Y^{*(j)}(E) \delta E \end{aligned}$$

Here the new unknowns are the semi-major axis  $a$ , the eccentricity  $e$  and, for instance, the variations of the directional cosines  $Q_x, Q_y, Q_z$ . As we have here only four equations with five unknowns, we can complete it by adding the equation:

$$(18) \quad V_E^2 = k^2 \left( \frac{2}{r_E} - \frac{1}{a_0} \right)$$

where

$$V_E^2 = \dot{x}_E^2 + \dot{y}_E^2 + \dot{z}_E^2$$

with:

$$\dot{x}_E = -a_0 P_x \sin E \dot{E} - b_0 Q_x \cos E \dot{E}, \quad (x=x, y, z)$$

the index  $0$  refers to the undisturbed values of the elements. We have also:

$$(19) \quad r_E = a_0 (1 - e_0 \cos E)$$

$$(20) \quad \frac{dE}{dt} = \frac{1}{r_E a_0^{1/2}}$$

According to the principles settled by Lagrange in his second version of his method of the variation of the parameters we must apply to (18) the linear operator  $\delta$ , keeping fixed the time  $t$ , so as to obtain the fifth variational equation which must be added to system (17) for solving the problem. It is now clear that if the solution  $\delta E$  given by equation (13) is convergent, the variational equation will provide convergent solutions for the remaining set of keplerian elements. It follows, from the above discussions, that the vanishing of the Hessian is not an essential point to set up the convergence of the solutions of the planetary set of differential equations.

We should also remark an important difference between both processes for obtaining equations (4) and (13) respectively:

$$(4) \quad \frac{d^2x}{dt^2} + (q_1^2 - q \cos 2t)x = 0$$

$$(13) \quad \frac{d^2x}{dt^2} + P(t)x = 0$$

In fact, equation (4) follows from equation (5) whose linear term has a (secular) factor 1 multiplying the linear term. On the other hand the coefficient  $P(t)$  in equation (13) appears after combining  $P_0(t)$  from (14) plus a term from the second member of this same equation. In other words, the coefficient of the linear term in equation (13) has a trigonometrical structure from his very origin.

It is clear from the above discussions, that the solution given by equation (13) improve the results provided by the oldest methods. In this sense, the merit of Lagrange's method of the variation of the parameters in his second version must be emphasized.

#### REFERENCES

- Altavista, Carlos. 1978, El problema de las series semiconvergentes en Mecánica Celeste y las soluciones periódicas de Poincaré. Publicación de la Primera Reunión Astronómica Regional Latinoamericana, p. 321.
- Altavista, Carlos. 1978, Sobre la posibilidad de construir órbitas intermedias en el problema de los tres cuerpos, Publicación de la Primera Reunión Astronómica Regional Latinoamericana, 327.
- Altavista, Carlos. 1980, Aproximaciones al problema de los tres cuerpos (un caso particular de la Dinámica Estelar). Boletín N° 18 de la A.A.A.

- Charlier C.L. 1927, *Die Mechanik des Himmels*. Zweiter Band, p. 304.  
Giafaglia, G.E.O. 1970, *Periodic Orbits, Stability and Resonances*,  
p. 228.  
Lagrange, L. 1870, *Oeuvres*, vol. 5, p. 493.  
Mc. Lachlan, 1947. *Theory and Application of Mathieu Functions*.  
Moser Jurgen, 1973, *Stable and Random Motions in Dynamical Systems*  
(With Special Emphasis on Celestial Mechanics).  
Poincaré Henri. 1893, *Les Méthodes Nouvelles de la Mécanique Céleste*. Three Volumes.

ON FORMAL INTEGRATION OF LAGRANGE'S PLANETARY EQUATIONS  
OF MOTION

Carlos A. ALTAVISTA

Observatorio Astronómico de La Plata

## ABSTRACT:

In order to solve the Lagrangian differential equations of motion the Fourier Integrals can be used. A special treatment for the so called secular terms of the disturbing function is given for that object.

1. In this paper is studied the possibility of finding a formal solution of the Lagrangian planetary differential equations of motion. It is well known that these equations can be written as follows

$$(1) \quad \begin{aligned} \dot{a} &= -\frac{2m_1}{na} \sum i C \sin \theta \\ \dot{\Omega} &= A_m, \sum \frac{\partial C}{\partial i} \cos \theta_0 + A_{m'}, \sum \frac{\partial C}{\partial i} \cos \theta \end{aligned}$$

and similar expressions for the temporal, variations of the remaining keplerian elements. The arguments  $\theta$  are written in general:

$$\theta = j'l' - jl + p'\Omega' + p\Omega + q'w' + qw$$

where the coefficients  $j, j'$  may assume zero values as well as positive (integer) values;  $p, p'$ ;  $q, q'$  may have positive or negative (integral) values as well. Argument  $\theta_0$  follows by putting  $j=j'=0$  in (2).

The integration of system (1) may be assumed, at least formally from the point of view of Fourier Integration. The fact that the time may be absent explicitly in several arguments in (2) renders it necessary to pay attention to the so called secular terms of the disturbing function.

2. Let us first deal with the general case  $j \neq 0, j' \neq 0$ . We consider the general term

$$C \cos(j'l' - jl + p'\Omega' + p\Omega + q'w' + qw)$$

where

$$l = nt + \varepsilon, \quad l' = n't + \varepsilon'$$

Assuming that the keplerian elements  $\omega$ ,  $\omega'$ ,  $\Omega$ ,  $\Omega'$ ,  $\epsilon$ ,  $\epsilon'$ ,  $n$ ,  $n'$ , are constants we can write (3) as follows

$$C \cos(j'n't + j'nt + c)$$

where  $j \geq j'$ . Expanding the cosine, we obtain:

$$\begin{aligned} & C_1' \ell^{j'n't} \cos j'n't + C_1'' \ell^{-j'n't} \cos j'n't + \\ & + C_2' \ell^{j'nt} \sin j'n't + C_2'' \ell^{-j'nt} \sin j'n't \\ & i = \sqrt{-1} \end{aligned}$$

where the  $C_i$ 's contain keplerian elements and may have imaginary values in some cases.

The case in which  $j \neq 0$ ,  $j' \neq 0$  or  $j=0$ ,  $j' \neq 0$  can be solved in a little different way.

3. The main problem is logically connected to the so called secular terms. Such a term can be written, for instance

$$(4) \quad C \cos(p'\Omega' + p\Omega + q'\omega' + q\omega)$$

Let us assume that

$$(5) \quad C' \cos(j'n't - j'nt + c)$$

is a term in the neighborhood of (4), and such that  $j \neq 0$ ,  $j' \neq 0$ . If in general we can assume that  $C \sim C'$ , we can put

$$(6) \quad C' = C + C''$$

and then we shall get a term of the form:

$$(7) \quad C \cos(j'n't - j'nt + c)$$

This new term (7) can be then combined with term (4), and we can solve the problem as in the first case. A sine term can be treated in an analogous way.

The most striking case is such one where:

$$j=j' = p = p' = q = q' = 0.$$

It is clear that only a coefficient  $C$  results from the general term (2). This term can be combined with some term of its neighborhood in the development of the disturbing function, in which, for instance  $j=j'=0$ . We obtain in this case a term of the form

$$C'' \cos(\omega' - \omega)$$

We put here  $C'' = C_1 + C$  and then the new term  $C \cos(\omega' - \omega)$ , when combined with constant term  $C$  gives:

Since  $\omega'$  and  $\omega$  are constants by assumption, we may write

$$C_2 = C \cos \frac{(\omega' - \omega)}{2}, \text{ anthen we obtain a term:}$$

$$C_1 \cos \frac{(\omega' - \omega)}{2}$$

This last term can be combined with an approriate term of the disturbing function for which  $j \neq 0, j' \neq 0$ , giving rise again to the case dealt with in 1.

According to the principles settled above the development of the disturbing function will contain terms of the form:

$$f(t) e^{\pm i j n t}$$

Fourier Integration follows at once then, at least formally.

The range of integration may be taken for an arbitrary large interval of time  $t$ . The problem of convergence will be treated in a future paper.

#### REFERENCES

Papoulis, Athanasios: 1962, The Fourier Integral and its Applications.

**RESULTADOS CUALITATIVOS EN MECANICA CELESTE**

**Francisco LOPEZ GARCIA**

**Observatorio Astronómico, San Juan**

*Los métodos cualitativos permiten obtener resultados sobre la evolución final en un problema no-integrable de un sistema de  $n$ -cuerpos de la Mecánica Celeste. Se estudian cinco clases de evolución final y se presentan resultados numéricos.*

APROXIMACION EPICICLICA DE ORBITAS CASI CIRCULARES  
EN UN POTENCIAL CON SIMETRIA AXIAL Y VARIABLE CON  
EL TIEMPO

J.C. MUZZIO

Observatorio Astronómico de La Plata, CONICET

Se obtiene una aproximación epicíclica para órbitas que se apartan poco de una circunferencia y cuyo plano es normal al eje de simetría de un potencial que depende sólo de la distancia a dicho eje y que varía lentamente con el tiempo. Se obtiene una pseudo integral que reemplaza a la de la energía del caso independiente del tiempo.



MODELOS DE ATMOSFERAS  
EXTENDIDAS



CALCULO DE MODELOS DE "ZONAS DE TRANSICION"  
EN ESTRELLAS B

J.M. FONTENLA, M. ROVIRA y A.E. RINGUELET

IAFE

Se ha desarrollado un método para el cálculo de modelos de las regiones interiores de las atmósferas extendidas de estrellas B, por el cual se resuelven numéricamente las ecuaciones de impulso y energía, teniendo en cuenta simetría esférica o cilíndrica y rotación. Las pérdidas de energía por radiación se aproximan por los cálculos de Cox y Tucker y para la opacidad se tienen en cuenta las líneas de la región ultravioleta del espectro, que dan origen a esa pérdida de energía. Se obtienen así modelos que muestran diferentes formas de variación de la velocidad y temperatura con la distancia a la estrella. En los mismos, se aprecia que los parámetros considerados no responden a una ley simple de variación. A partir de esos modelos se calculan los perfiles de líneas de absorción y se comparan con algunos observados en la región ultravioleta para estrellas Be.



# MODELOS DE VIENTO ESTELAR



## MODELOS DE VIENTOS ESTELARES EN LA REGION FOTOSFERICA

J.M. FONTENLA y A.D. VERGA

Instituto de Astronomía y Física del Espacio

## I.

Es conocido, a partir de diversas observaciones astronómicas, que las atmósferas de las estrellas presentan frecuentemente movimientos de expansión en sus capas externas, como se manifiesta principalmente en las estrellas de tipos tempranos. En este trabajo se plantea el problema de cómo ese flujo de materia, al considerarse en las capas profundas de la fotosfera, modifica fundamentalmente la estructura de las mismas.

Para establecer esa estructura, o sea la temperatura y densidad en función de la profundidad, se resuelven simultáneamente las ecuaciones hidrodinámicas en las que se considera el transporte de impulso y energía por el campo de radiación.

$$\text{continuidad } \rho v = A = \text{cte}$$

$$\text{impulso } A \left(1 - \frac{\Theta}{v^2}\right) \frac{dv}{dm} + \frac{A}{v} \frac{d\Theta}{dm} = g + f_R$$

$$\text{energía } \rho^2 \left(\frac{3}{2} v \frac{d\Theta}{dm} + \Theta \frac{dv}{dm}\right) = q_R \quad (1)$$

siendo  $\rho = \rho R T = \rho \Theta$ ;  $dm = -pdz$  y los términos radiativos

$$f_R = \frac{4\pi}{c} \int \rho K_V H_V dv \quad q_R = 4\pi \int \frac{dH_V}{dz} dv$$

En las regiones profundas de la fotosfera se puede considerar como una buena aproximación que:

$$S_V = B_V$$

y válida la aproximación de Eddington

$$H = \frac{1}{3} \frac{dB}{dz}$$

donde  $\tau$  está dado por la profundidad óptica media de Rosseland y

$$H = \int H_V dv \quad B = \int B_V dv = \frac{6}{\pi} T^4$$

A partir de estas aproximaciones y teniendo en cuenta la definición de la opacidad de Rosseland  $\bar{\chi}$  resulta:

$$f_R = \frac{16G}{3c\rho} T^3 \frac{dT}{dz} \quad q_R = \frac{16G}{3} \frac{d}{dz} \left(T^3 \frac{dT}{dz}\right)$$

donde en  $q_R$  se considera el apartamiento del equilibrio radiativo.

La condición de contorno utilizada para la resolución del sistema (1) es que para valores de  $\tau$  suficientemente pequeños la temperatura tienda a  $3/4 T_{\text{eff}}$ .

Hemos calculado un modelo para flujo de masa  $A=0$  con  $T_{\text{eff}}=40000^{\circ}\text{K}$  y  $\log g=4.0$ , que coincide bastante bien con los de Mihalas. Luego hemos calculado modelos con  $T_{\text{eff}}=20000^{\circ}\text{K}$   $\log g=4.0$ , con distintos flujos de masa,  $A=0$ ,  $A=8 \times 10^{-6} = 2 \times 10^{-4} \text{ g cm}^{-2} \cdot \text{s}^{-1}$ . De estos modelos surge que para pérdidas de masa relativamente pequeñas la distribución de temperatura con  $\tau$  no varía con respecto al modelo estático, pero en cambio la distribución de la densidad se modifica notablemente cuando las velocidades se van aproximando a las velocidades térmicas. Esto implica, que si bien el flujo de radiación total no se ve afectado, su distribución en el espectro cambia debido a la diferente influencia de la densidad sobre las opacidades a distintas longitudes de onda.

## II.

En todo problema hidrodinámico es necesario considerar la cuestión de la estabilidad de las distribuciones de  $T$  y  $\rho$  frente a pequeñas perturbaciones. Tomando como estado inicial al que describen las ecuaciones (1), obtenemos en primer lugar las siguientes ecuaciones de exceso, donde hemos introducido los términos dependientes del tiempo:

$$V = V_0 + \delta V \quad \rho = \rho_0 + \delta \rho \quad \theta = \theta_0 + \delta \theta$$

$$\begin{aligned} \partial_t \delta \rho - \rho_0^2 \partial_t \delta V - \rho_0 \partial_t V_0 \delta \rho + \rho_0^2 \frac{\partial V_0}{\partial t} \delta V &= 0 \\ \frac{V_0}{\rho_0} \partial_t \delta \rho - \partial_t \delta V + (\theta_0 - V_0^2) \partial_t \delta \rho + \rho_0 \partial_t \theta_0 - \rho_0 \frac{\partial V_0}{\partial t} \delta \theta - 2 V_0 \partial_t \rho_0 \delta V + \partial_t \theta_0 \delta \rho &= \delta f_R \\ \frac{3}{2} \partial_t \delta \theta - \frac{3}{2} A \partial_t \delta \theta - \rho_0 \theta_0 \partial_t \delta V - \frac{3}{2} \rho_0 \partial_t \theta_0 \delta V - \rho_0 \partial_t V_0 \delta \theta - \frac{2 q_R}{\rho_0^2} \delta \rho &= \delta q_R \end{aligned} \quad (2)$$

donde

$$\partial_t = \frac{\partial}{\partial t}, \quad \partial = \frac{\partial}{\partial m} \quad \delta f_R = -\frac{16\pi}{3cR} T^3 \partial \delta \theta + \frac{3f_R}{\theta} \delta \theta$$

$$\begin{aligned} -\delta q_R = -q_R \frac{\delta \rho}{\rho} + \frac{16\pi}{3} \rho \frac{T^3}{\bar{x} R} \partial^2 \delta \theta + \frac{16\pi}{3} \rho \left[ \partial \left( \frac{T^3}{\bar{x} R} \right) + \frac{T^3}{\bar{x}} \partial T \left( \frac{3}{\theta} - \frac{\bar{x}_0}{\bar{x}} \right) \right] \partial \delta \theta + \frac{16\pi}{3} \rho \partial \left[ \frac{T^3}{\bar{x}} \partial T \left( \frac{3}{\theta} - \frac{\bar{x}_0}{\bar{x}} \right) \right] \delta \theta - \frac{16\pi}{3} \rho \frac{T^3}{\bar{x}^2} \bar{x}_0 \partial T \partial \delta \rho + \frac{16\pi}{3} \rho \partial \left( \frac{T^3}{\bar{x}^2} \bar{x}_0 \partial T \right) \delta \rho \end{aligned}$$

El sistema de ecuaciones (2) admite soluciones del tipo:

$$\delta V = V e^{-ikm+wt} \quad \delta \rho = \rho e^{-ikm+wt} \quad \delta \theta = \theta e^{-ikm+wt}$$

que reemplazadas en (2) conducen a la relación de dispersión  $\omega(\kappa)$ , cuyas raíces son los modos normales de evolución de las perturbaciones.

Estudiamos los siguientes casos con interés:

1. Evolución temporal de las perturbaciones,  $\kappa = 0$ : Se obtiene una re

gión de estabilidad delimitada por tres desigualdades, que corresponden a las condiciones de raíces reales negativas del polinomio en  $\omega$ :

$$2v_0 - \frac{3}{8} \frac{1}{\rho_0} q_{\theta} < 0 \quad (3a)$$

$$2v_0 + \frac{3}{8\rho_0} \geq \left[ 4\pi H_0 \left( \frac{3}{\theta} - \frac{\lambda_\theta}{\chi} \right) \right] < 0 \quad (3b)$$

donde los subíndices indican derivación (por ejemplo  $q_{\theta} = \frac{\partial q}{\partial \theta}$ ); las otras dos desigualdades establecen limitaciones para los valores de los gradientes de temperatura y velocidad. La ecuación (3a) es completamente general, las aproximaciones aparecen en la forma explícita de  $q_{\theta}$ , como en (3b). Se ve que la velocidad puede crecer o decrecer de acuerdo al comportamiento de  $q_{\theta}$ . En la región profunda aún en equilibrio radiativo, es el segundo término el dominante, por lo cual esencialmente la estabilidad del flujo depende del valor de  $\chi_{\theta}$ .

2. Evolución espacial de las perturbaciones,  $\omega=0$ : En este caso se llega a un polinomio de cuarto grado en  $\kappa$ , y aparece explícitamente la singularidad en  $\sqrt{2}=\theta$  de las ecuaciones del modelo inicial, como en la desigualdad siguiente:

$$\left\{ \left[ \left( \frac{\theta}{v^2} + 1 \right) v \partial v + (f_p - 2\theta) \right] q_{\theta\theta} / v - A^2 \left( \frac{5}{3} \frac{\theta}{v^2} - 1 \right) - \frac{2}{3} \left[ \left( \frac{\theta}{v^2} - 1 \right) v q_{\theta\theta} - p \theta f_{\theta\theta} \right] + (p - f_{\theta\theta}) q_{\theta p} / v \right\} / \left( \frac{\theta}{v^2} - 1 \right) < 0$$

Esta condición, puesta a modo de ejemplo, refleja claramente que en la vecindad del punto  $\sqrt{2}=\theta$ , salvo para el caso en el que el numerador se anula y cambia de signo, no existen flujos estacionarios estables. Por lo tanto en esta región es indispensable considerar los términos dependientes del tiempo.



# NEBULOSAS DE EMISIÓN

3



## H 166 $\alpha$ EN CARINA

Ismael N. AZCARATE (IAFE)\*, Juan C. CERSOSIMO (IAR)\*\* y  
Fernando R. COLOMB (IAR)\*

\* Miembros de la Carrera del Investigador Científico  
del CONICET

\*\* Becario del CONICET

### RESUMEN:

Se muestran observaciones de la nebulosa de Carina realizadas en el Instituto Argentino de Radioastronomía en la frecuencia correspondiente a la línea H 166  $\alpha$  (= 1425 MHz). La misma fue detectada con el banco de filtros angostos (112 filtros de 10 kHz) en seis posiciones dentro de la región de Carina. Los perfiles obtenidos muestran una doble estructura en buen acuerdo con observaciones de otras líneas de recombinación en la misma zona. Se deducen temperaturas electrónicas para cada una de esas posiciones.

### I. INTRODUCCION

Las transiciones atómicas en el hidrógeno entre niveles de grandes números cuánticos ( $n < 40$ ) son detectables en frecuencias de radio. El estudio de estas líneas provee importante información sobre las condiciones físicas de las regiones en las cuales se detectan. Hasta el presente muchas regiones han sido objeto de estos estudios, y algunas en particular fueron estudiadas exhaustivamente en una gran variedad de frecuencias. Los parámetros obtenidos en distintas frecuencias de radio de una región HII contribuyen a mejorar los conocimientos de las condiciones físicas del gas ionizado. (Lockman y otros 1975).

La nebulosa de Carina, es uno de los objetos del hemisferio Sur que más ha sido objeto de este tipo de estudios. Esta región fue observada en las líneas H 109  $\alpha$  (Wilson y otros, 1970; Gardner y otros 1970, Huchtmeier y Day, 1975), H 158  $\alpha$  (Mc Gee y Gardner, 1969), H 126  $\alpha$  (Mc Gee y otros, 1968), y H 90  $\alpha$  (Hchtmeier y Day, 1975).

En este trabajo se presentan observaciones de la región de Carina en la línea H 166  $\alpha$ . Por otra parte, se hacen estimaciones de la temperatura electrónica a partir de esas observaciones y bajo la suposición de equilibrio termodinámico local.

## LAS OBSERVACIONES

Las observaciones se realizaron con la antena de 30 m de diámetro del Instituto Argentino de Radioastronomía. El cabezal es un amplificador paramétrico de tipo micromega. La temperatura de ruido del sistema es del orden de 90° K. Se utilizó para las observaciones el método de commutación en carga.

Se hizo un relevamiento de la zona comprendida entre 286° y 289° de longitud galáctica y +1.5 y -2.0 de latitud galáctica con el banco de filtros anchos (84 filtros de 75 kHz c/una), detectándose la línea en distintos puntos dentro de la nebulosa de Carina. En la Figura 1 se muestra un perfil obtenido de esta forma al que se le han hecho correcciones para eliminar efectos de la línea de base. La resolución en velocidades que se obtiene con los filtros anchos es = 16 km/seg.

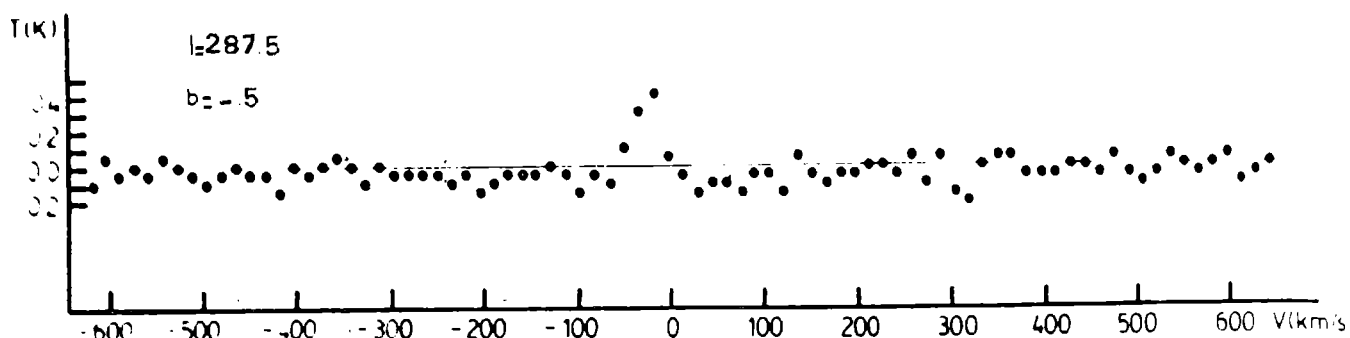


Figura 1

FIG. 1

Posteriormente se observaron los puntos en los cuales la línea había sido detectada, con el banco de filtros angostos (112 canales de 10 kHz cada uno) para tener una mejor resolución en velocidad del orden de 2 km/seg. Los perfiles obtenidos con filtros angostos fueron observados con tiempos de integración de 15 minutos cada vez, llegándose a completar para cada punto, tiempos de observación totales de alrededor de 2 horas. El rms de los perfiles obtenidos con alrededor de 2 horas de integración es del orden de 0.06 K.

Se observó también la región de Carina en el continuo, haciendo barridos en declinación cada medio grado en ascensión recta.

## RESULTADOS E INTERPRETACION

### a) Campo de velocidades:

Los perfiles observados en las 6 posiciones en que se detectó H 166  $\alpha$  con filtros angostos se muestran en la Figura 2, indicándose su posición en coordenadas galácticas.

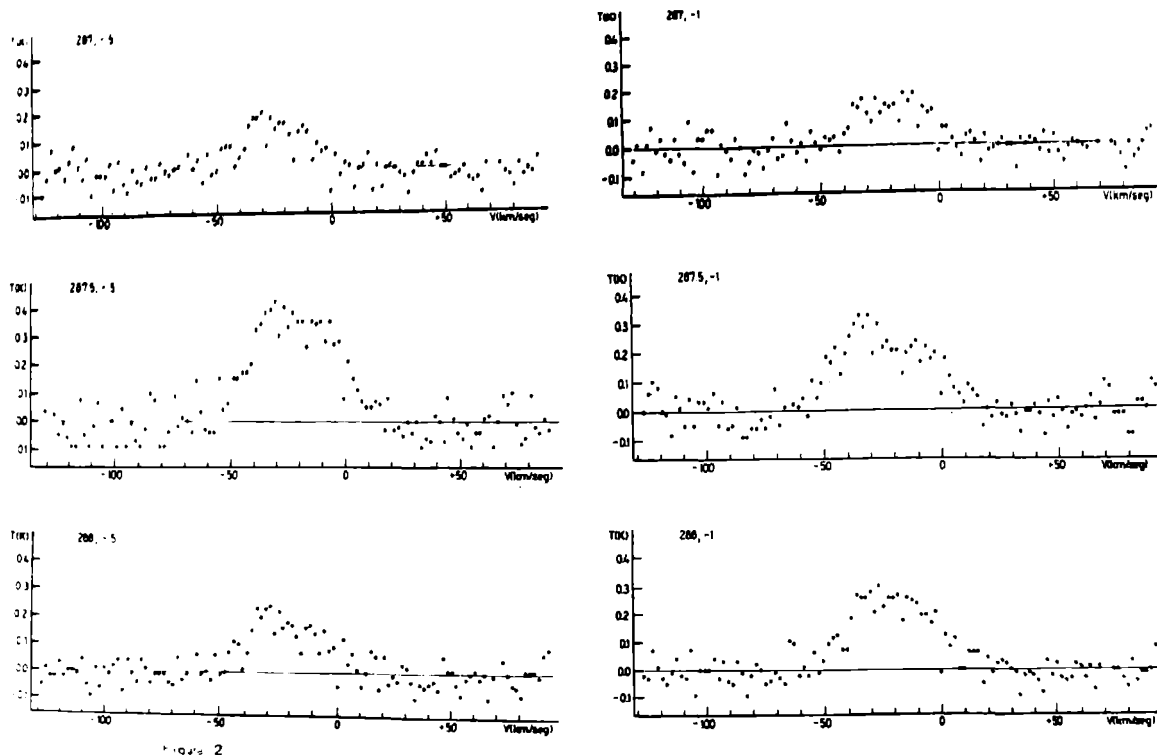


FIG. 2

En todos estos perfiles (en los cuales las velocidades están referidas al LSR), que observaron la región de Carina en las frecuencias correspondientes a H 109  $\alpha$  y H 90  $\alpha$  con un ancho de haz de 4 y 2.6 minutos de arco, respectivamente.

Similar estructura aparece en observaciones de Carina en el óptico en las líneas H  $\alpha$  y (N II), entre otras (Deharveng y Maucherat, 1975). Se ha sugerido la presencia de una cáscara en expansión para explicar esta estructura de las líneas en Carina (Dickel, 1974; Hucht

meier y Day, 1975).

b) Temperatura electrónica:

Adoptando un modelo particular para la región del gas ionizado, es posible deducir analíticamente suponiendo ETL, a partir de la ecuación de transporte de energía, una expresión para la temperatura electrónica en función de los parámetros observables: temperatura pico de la línea  $T_L$ , temperatura de continuo  $T_c$ , y el ancho a mitad de la intensidad pico de la línea  $\Delta v$  (Mezger y Ellis, 1968). La expresión que se utilizó en nuestro caso es la siguiente:

$$\left[ \frac{\Delta v}{\text{km/seg}} \right] \frac{T_L}{T_c} = \frac{6.985 \times 10^3}{a(\nu, T_e)} \left( \frac{\nu^{1.1}}{\text{GHz}} \right) \frac{T_e^{-1.15}}{1 + \frac{N(\text{He}^+)}{N(\text{H}^+)}}$$

donde  $\nu$  es la frecuencia de la línea en GHz,  $T_e$  es la temperatura electrónica en grados Kelvin.

La función  $a(\nu, T_e)$  está tabulada por Mezger y Henderson (1967), se tomó para  $T_e=7000$  K. La relación de abundancias  $N(\text{He}^+)/N(\text{H}^+)$  se tomó 0.15, igual a la dada por Mc Gee y otros (1969) para la nebulosa en cuestión.

Con  $T_e^*$  indicaremos la temperatura electrónica calculada en ETL; entonces la expresión utilizada es:

$$T_e^* = \left( 8997 \frac{T_c}{T_L} \left[ \frac{\text{km/seg}}{\Delta v} \right] \right)^{0.87}$$

Las temperaturas electrónicas calculadas se muestran para cada punto en la Tabla I.

Como vemos ahí, las temperaturas electrónicas varían para los distintos puntos observados. Este es un efecto que se ha observado en otras nebulosas (Orion, por ejemplo) puede deberse a variaciones de la medida de emisión, y por lo tanto de la densidad (Mezger y Ellis, 1968).

#### CONCLUSIONES

Los perfiles obtenidos (con doble estructura) están de acuerdo con observaciones de Carina en otras líneas de recombinación (Huchtmeier y Day, 1975). Esta doble estructura es observada también en el óptico (Deharveng y Maucherat, 1975).

TABLA I

<i>l</i>	<i>b</i>	T <sub>L</sub> (°K)	T <sub>C</sub> (°K)	Δv (km/seg)	T <sub>e<sup>+</sup></sub>	±	ΔT <sub>e*</sub> (°K)
287.5	-.5	0.35	40	27	9665	±	730
287.5	-1.	0.3	38	28	10241	±	750
288	-1.	0.15	30	62	7631	±	540
287	-1.	0.1	13	32	9326	±	680
287	-.5	0.14	18	28	10375	±	890
288	-.5	0.13	20	45	8027	±	500

## AGRADECIMIENTOS

Agradecemos al personal técnico del IAR, con cuyo apoyo fue posible realizar las observaciones:

## REFERENCIAS

- Deharveng, L. y Maucherat, M.: 1975, *Astronomy and Astrophysics*, 41, 27.
- Dickel, H.R.: 1974, *Astronomy and Astrophysics*, 31, 11.
- Gardner, F.F.; Milne, D.K.; Mezger, P.G. y Wilson, T.L.: 1970, *Astronomy and Astrophysics*, 7, 349.
- Huchtmeier, W.K. y Day, G.A.: 1975, *Astronomy and Astrophysics*, 41, 153.
- Lockman, F.J. y Brown, R.L.: 1975, *Astrophysical Journal*, 201, 134.
- Mc Gee, R.X. y Gardner, F.F.: 1968, *Australian Journal of Physics*, 21, 149.
- Mc Gee, R.X.; Batchelor, R.A.; Brooks, J.W. y Sinclair, M.W.: 1969, *Australian Journal of Physics*, 22, 631.
- Mezger, P.G. y Ellis, S.A.: 1968, *Astrophysical Letters*, 1, 159.
- Mezger, P.G.y Hoglund, B.: 1967, *Astrophysical Journal*, 147, 490.
- Wilson, T.L.; Mezger, P.G.; Gardner, F.F. y Milne, D.K.: 1970, *Astronomy and Astrophysics*, 6, 364.

NUBES DE ALTA

VELOCIDAD



ESTRUCTURA FINA EN NUBES DE ALTA VELOCIDAD

E. BAJAJA y R. MORRAS

IAR

Observaciones de nubes de alta velocidad, en la línea de 21 cm del HI, con alta resolución espectral ( $2 \text{ km s}^{-1}$ ), están siendo realizadas en el IAR. El objeto del trabajo es estudiar su estructura espacial y en velocidad a fin de reconocer diferencias sistemáticas entre nubes en distintas áreas del cielo, que ayuden a su clasificación.



## PROCESOS FISICOS



INTERCAMBIO DE CARGA ENTRE IONES MULTICARGADOS Y  
HELIO NEUTRO

L. OPRADOLCE

Instituto de Astronomía y Física del Espacio

RESUMEN:

En numerosos plasmas astrofísicos y de laboratorio -notablemente el medio interestelar, las nebulosas planetarias, las galaxias de Seyfert, los plasmas Tokamak, etc.- la abundancia de los iones multicargados está en gran parte controlada por las reacciones de intercambio de carga que éstos efectúan con el gas neutro (McCarroll y Valiron 1978, Péquignot y colaboradores 1978, Péquignot 1980, Miller y co-laboradores 1974).

En casos favorables su tasa de reacción excede en varios órdenes de magnitud a la recombinación radiativa según lo muestran los cálculos teóricos de McCarroll y Valiron (1976, 1979) sobre las reacciones  $\text{Si}^{+2} + \text{H}$  y  $\text{N}^{+3} + \text{H}$  en el medio interestelar.

En el dominio de bajas energías (inferiores a algunos eV)<sup>1</sup> no existen medidas de laboratorio de secciones eficaces de intercambio de carga y las estimaciones se realizan a partir de modelos teóricos. De gran interés es entonces estimar la validez de estos cálculos teóricos.

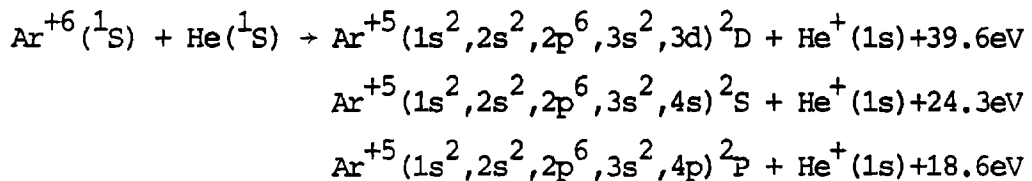
El sistema  $\text{Ar}^{+6} - \text{He}$  ha sido estudiado experimentalmente entre 1 y 100 KeV por Muller y Salzborn (1976), Afrosimov y otros (1977) y Panov (1980). Fueron medidas las secciones eficaces totales de captura electrónica para el simple y doble intercambio y también para los diferentes estados del  $\text{Ar}^{+5}$  en que queda el electrón capturado. Estos experimentos muestran que el simple intercambio de carga es tres veces más probable que el doble y que la reacción conduce a poblar selectivamente los niveles excitados 3d, 4s y 4p del ion  $\text{Ar}^{+5}$ .

Puesto que en la gama de energías experimentales la velocidad relativa de los iones es más pequeña que la velocidad "orbital" de los electrones, el modelo molecular utilizado a bajas energías para tratar la colisión es aún válido.

Dentro de este modelo presentamos los resultados de secciones eficaces totales de intercambio de carga entre 1 y 100 KeV para dicho sistema:

---

<sup>1</sup> 1eV = 11606°K



Primeramente utilizando el método del potencial modelo desarrollado por Valiron (1976) se calcularon las curvas de energía potencial del ion molecular  $(\text{ArHe})^{+6}$ . La existencia de tres pseudocrucos entre estados  $\Sigma$  a distancias internucleares intermedias confirma que el intercambio de carga se produzca en los niveles excitados  $1\text{s}^2 2\text{s}^2 2\text{p}^6 3\text{s}^2 n\ell$  ( $n\ell$ : 3d, 4s, 4p) del  $\text{Ar}^{+5}$ .

Los elementos de matriz del operador de acoplamiento radial haciendo intervenir el canal de entrada  $[\text{Ar}^{+6} + \text{He}]$  y los tres canales más probables de salida  $[\text{Ar}^{+5*} + \text{He}^+]$  se obtuvieron por derivación numérica de la función de onda molecular. Como era de esperar resultaron sólo apreciables en las inmediaciones de los pseudocrucos. Se despreció el acoplamiento rotacional entre estados  $\Pi$  y  $\Sigma$ .

Las amplitudes de transición necesarias al cálculo de las secciones eficaces se obtuvieron por integración numérica de las ecuaciones acopladas semiclásicas y también por la fórmula de Landau-Zener.

En su conjunto los resultados están en buen acuerdo con las experiencias y puede concluirse que los modelos utilizados a bajas energías son justificados.

#### REFERENCIAS:

- Afrosimov V.V.; Basalaev A.A.; Panov M.N. y Leiko G.A.: 1977, JEPT Lett. 26, 537.
- McCarroll R. y Valiron P.: 1976, Astron. Astrophys. 53, 83.
- " " 1976, Journal de Physique 39, C1-52.
- " " 1979, Astron. Astrophys. 78, 177.
- Miller B.; Gould R.W.; Friedman E.A. y Trivelpiece A.W.: 1974, Review Research, ERDA-39, 145.
- Muller A. y Salzborn E.: 1976, Physics Letters 59A, 19.
- Panov M.N.: 1980, "Electronic and Atomic Collisions" XI ICPEAC, Invited Papers and Progress Reports, 437.
- Péquignot D.; Stasinska G. y Aldrovandi S.M.V.: 1978, Journal de Physique 39, C1-164.
- Péquignot D.; Aldrovandi S.M.V. y Stasinska G.: 1978, Astron. Astrophys. 63, 313.
- Péquignot D.: 1980, Astron. Astrophys. 83, 52.
- Valiron, P.: 1976, Thése de 3e cycle, Université de Bordeaux I, N° 1279.

EQUILIBRIO QUIMICO DISOCIATIVO EN ENVOLTURAS  
CIRCUMESTELARES

C.A. NUNEZ y E.R. IGLESIAS

Instituto de Astronomía y Física del Espacio

RESUMEN:

Se ha estudiado el equilibrio químico disociativo de 76 especies moleculares compuestas de H, O, C, N, Si y S en 3 grupos de objetos que presentan envolturas circumestelares:

GRUPO I: Constituido por estrellas ricas en carbono, casi totalmente oscurecidas por las densas envolturas que las rodean. Un objeto típico de esta clase es IRC+10216, de gran interés por la creciente cantidad de moléculas observadas en su envoltura y la complejidad de algunas de ellas. CIT 6, CRL 618, CRL 2688 han sido indicadas como muy similares en su estructura y composición a IRC+10216 (Geballe 1974, Crampton et al. 1975).

GRUPO II: Se compone de objetos ricos en oxígeno, con estrellas centrales gigantes o supergigantes M altamente oscurecidas. VYCMa y NMLCyg son los miembros mejor estudiados de esta clase, con características similares en su distribución de energía infrarroja y sus propiedades de máseres OH, H<sub>2</sub>O y SiO (Benson y Mutel 1979; Rosen et al. 1978; Snyder y Buhl 1974, 1975).

GRUPO III: Formado por estrellas tipo RCrB, caracterizadas por abundancias anormales (C/H = 10), altas luminosidades y la presencia de una envoltura de partículas (de carbono) durante el período posterior a su mínimo (Feast 1969) responsable de los altos excesos infrarrojos observados.

Para el estudio de las condiciones físicas prevalecientes en las envolturas de los 3 grupos de objetos se utilizaron modelos de distribución de temperatura (Larson 1969) y densidad (Taam y Schwartz 1976) que consideran simetría esférica y la simplificación de envolturas estáticas en el caso gris. Se eligieron las relaciones  $n(r)\alpha r^{-2}$  para los dos primeros grupos y  $n(r)\alpha r^{-0.2}$  para el GRUPO III, por ser estos valores del exponente los que mejor reproducen las observaciones. Las distribuciones correspondientes se muestran en los gráficos I a III.

La TABLA I muestra los parámetros representativos de los distintos grupos que fueron utilizados como datos astronómicos para los modelos. Los juegos de abundancias elementales se seleccionaron comparando las densidades de columna obtenidas en equilibrio para cada especie con las observadas.

Las concentraciones químicas de las especies consideradas, elegidas en base a los resultados de recientes observaciones y a los cómputos

TABLA I

Masa envoltura	Luminosidad objeto central	Radio externo envoltura	Radio interno envoltura	Abundancias elementales
GRUPO I 0.1 $M_{\odot}$	$4 \times 10^4 v L_{\odot}$	$2.5 \times 10^{17} \text{ cm}$	$1. \times 10^{14} \text{ cm}$	$H: O: C: N: Si: S \approx 1:5.9 \times 10^{-4}:7.1 \times 10^{-4}:8.1 \times 10^{-4}:1.8 \times 10^{-4}:3 \times 10^{-4}:3.5 \times 10^{-4}$
GRUPO II 0.1 $M_{\odot}$	$10^5 L_{\odot}$	1000 U. A.	60 U. A.	$1:8 \times 10^{-4}:3 \times 10^{-4}:3.5 \times 10^{-4}:10^{-1}:10^{-1}:1:10^{-1}$
GRUPO III $10^{-9} M_{\odot}$	$6 \times 10^3 L_{\odot}$	10 U. A.	1 U. A.	

\* En todos los casos se consideró la relación Si:S = solar (Tsuji 1973)

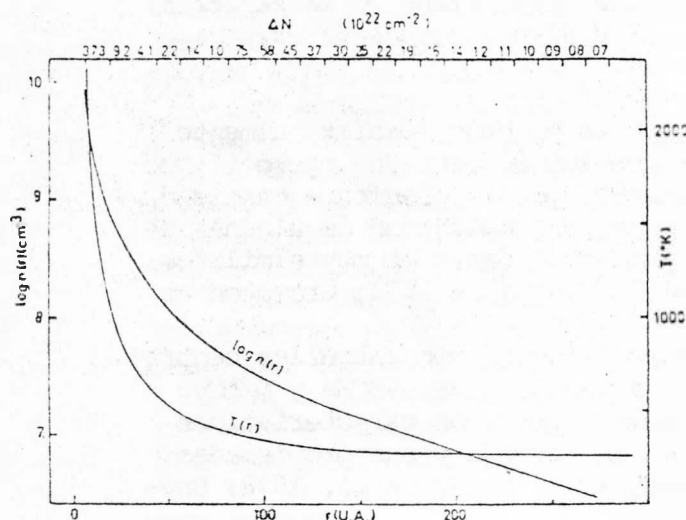


Figura I: Distribuciones de densidad y temperatura para el grupo I. El margen superior indica las densidades de columna cada 14.3 U. A.

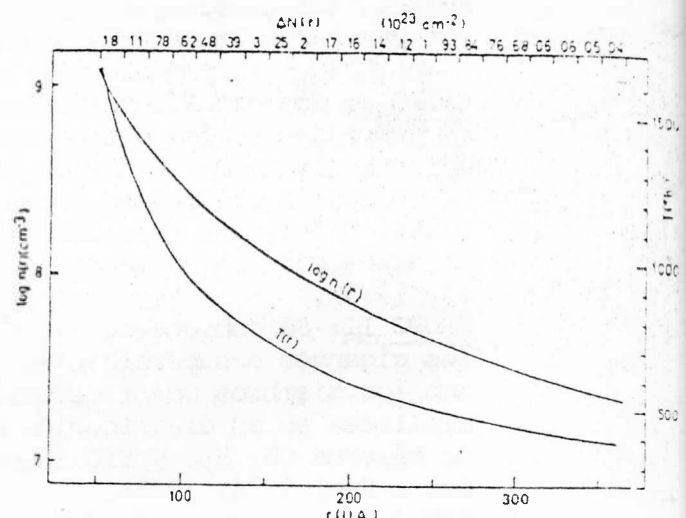


Figura II: Distribuciones de densidad y temperatura para el grupo II. El margen superior indica las densidades de columna cada 12.5 U. A.

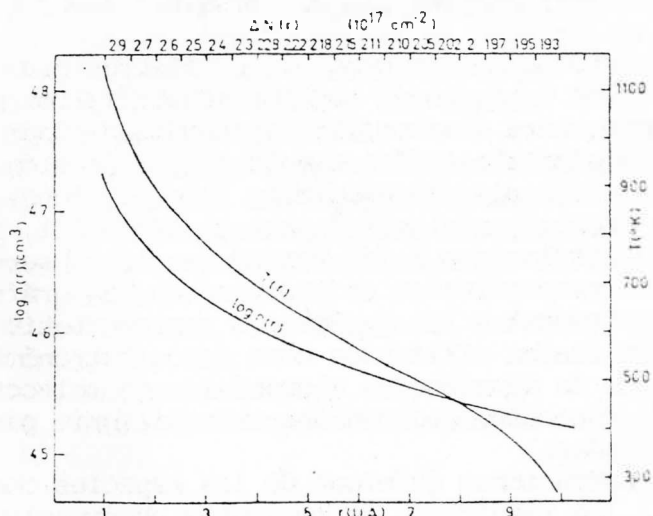


Figura III: Distribuciones de densidad y temperatura para el grupo III. El margen superior indica las densidades de columna cada 0.5 U. A.

tos previos de Tsuji (1964, 1973), se obtuvieron a partir de las ecuaciones de equilibrio químico disociativo (de Jager y Neven 1957, Tsuji 1964). Las constantes de disociación fueron calculadas mediante el método estadístico de Gibson y Heitler (1928) utilizando las constantes moleculares y energías de disociación publicadas por Janaf (1971). Esto permitió actualizar los valores computados por Tsuji (1964) y extender el rango de temperatura por debajo de los 1000°K. Las constantes de disociación de C<sub>3</sub>N, HC<sub>3</sub>N, C<sub>5</sub>N, HC<sub>5</sub>N, C<sub>7</sub>N, HC<sub>7</sub>N, C<sub>9</sub>N, HC<sub>9</sub>N fueron aproximadas. Los datos moleculares para las especies con largas triples ligaduras de C se obtuvieron de Duff y Bauer (1962). Las presiones de vapor del grafito, silicio, carburo de silicio y dióxido de silicio, especies para las que se consideró condensación (Gilman 1969), se calcularon con las energías de sublimación publicadas por Janaf (1971).

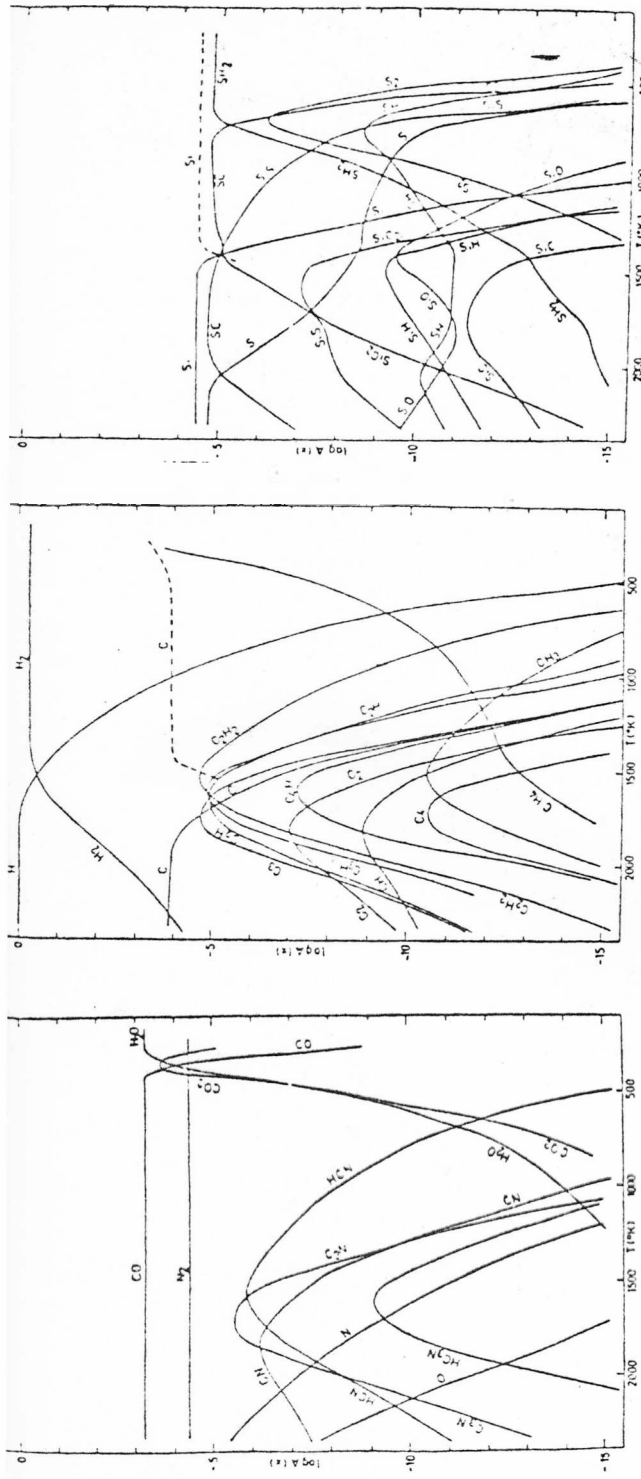
Las figuras IV, V y VI muestran las concentraciones de las especies más abundantes para los 3 grupos. La comparación detallada entre los resultados obtenidos y las observaciones se publicará más adelante. Sin embargo, algunas conclusiones que pueden adelantarse son:

- i) El equilibrio químico puede explicar las abundancias observadas de la mayoría de las moléculas en las envolturas internas de IRC+10216 y objetos similares.
- ii) En este esquema, no es factible mantener la hipótesis del "congelamiento" de las abundancias en equilibrio (como sugieren Winnewisser y Walmsley 1978). Otros mecanismos intervendrían en la producción de las especies observadas en las regiones más externas de las envolturas así como de C<sub>3</sub>N, HC<sub>3</sub>N, HC<sub>5</sub>N, y HC<sub>7</sub>N.
- iii) Algunas características de los máseres de H<sub>2</sub>O y SiO en VY CMa y NML Cyg pueden explicarse con este modelo, no así el principal componente de las envolturas tipo RCrB, lo cual está de acuerdo con los grandes excesos infrarrojos observados.

#### REFERENCIAS

- Benson, J.M.; Mutel, R.L.; Fix, J.D. y Claussen, M.J.: 1979, Ap.J. 213, 71.
- Crampton, D.; Cowley, A.P. y Humphreys, R.M.: 1975, Ap.J. (Letters) 198, L135.
- de Jager, C. y Néven, L.: 1957, Mém. Soc. R. Sc. Liege 18, 357.
- Duff, R.E. y Bauer, S.H.: 1962, J. Chem. Phys. 36, 1754.
- Feast, M.W.: 1969, "Variable stars and stellar evolution". IAU Symp. N° 67. (ed. Sherwood, U.E. y Plaut, L.).
- Geballe, T.R.: 1974, Ph.D. Thesis, University of California, Berkeley.
- Gibson, G.L. y Heitler, W.: 1928, Zs.f.Phys. 49, 465.
- Gilman, R.C.: 1969, Ap.J. (Letters) 155, L185.
- Janaf, Thermochemical Tables 1971, U.S. Department of Commerce, National Bureau of Standards.
- Larson, R.: 1969, Mon.Not.R.astr.Soc. 145, 297.

- Rosen, B.R.; Moran, J.M.; Reid, M.J.; Walker, R.C.; Burke, B.F.; Johnston, K.J. y Spencer, J.H. 1978, Ap.J. 222, 132.
- Snyder, L.E. y Buhl, D.: 1974, Ap.J. (Letters) 189, L31.  
1975, Ap.J. 195, 359.
- Taam, R.E. y Schwartz, R.D.: 1976, Ap.J. 204, 642.
- Tsuji, T.: 1964, Proc. Japan Academy 40, 99.  
1973, Astron. & Ap. 23, 411.
- Winnewisser, G. y Walmsley, C.: 1978, Astron. & Ap. 70, L37.



**Figura IV:** Abundancias moleculares para el grupo I. (La línea de trazos indica la abundancia de *fréjito* en el segundo cuadro y de *sílico* condensado en el tercero).

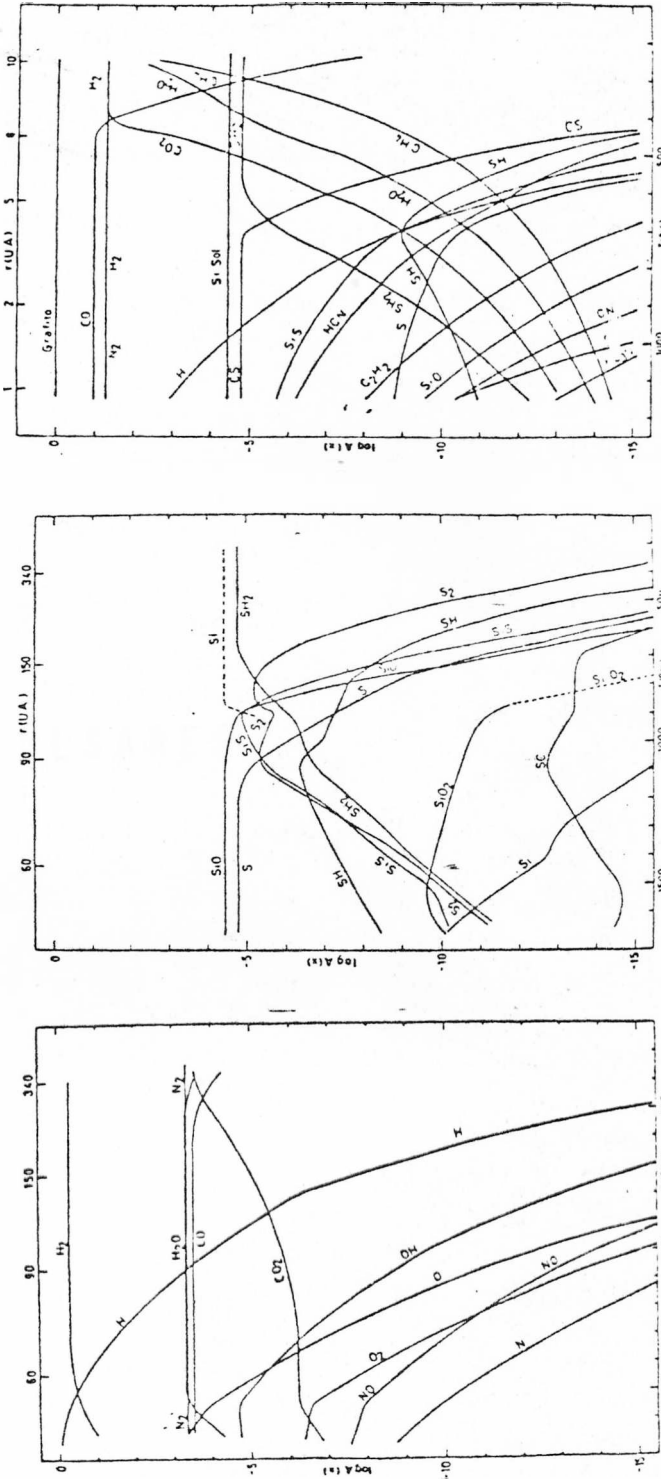


Figura V: Abundancias moleculares para el Grupo II. (Las líneas de trazo indican las abundancias de Si y SíO condensados).

Figura V : Abundancia molecular para el Grupo III. (El carbono y el silicio están condensados en todo el intervalo de temperaturas).



P U L S A R E S



HI EN LOS ALREDEDORES DE PULSARES

F.R. COLOMB y J.C. TESTORI

IAR

Con el objeto de aportar datos a la teoría sobre el origen de los pulsares, se inició un estudio de la distribución de H neutro en los alrededores de trece de estos objetos.

Tres pulsares fueron observados con el radiotelescopio de 30 m del Instituto Argentino de Radioastronomía y con el receptor de 1420 MHz. Los datos de los restantes pulsares, ubicados en el Hemisferio Norte, se obtuvieron del Atlas de Carl Heiles.

Se presentan y analizan los resultados obtenidos de los pulsares: PSR 0031-07, PSR 0943-10, PSR 0950-08, PSR 1604-00, PSR 2303-30.



REGIONES HII



HI VINCULADO CON REGIONES HII

C. CAPPA de NICOLAU y W.G.L. POPPEL

IAR

Se están analizando observaciones de HI en las regiones Scorpius-Ophiuchus y Perseus donde Sivan (1974) observara en HI regiones HII de gran extensión angular.



## INDICE

Discurso de Sr. Presidente de la A.A.A.	5
 <b>ASTROMETRIA</b>	
R.A. Carestia, W. Castro - Cuarto Catálogo Círculo Meridiano San Juan (FK4-SUR) .	9
R.A. Carestia, M. Gallego - Segundo Catálogo Círculo Meridiano San Juan (FKSZ) .	27
R.A. Perdomo - Proyecto MERIT. Nuevas Técnicas Para la Deter- minación de la Rotación de la Tierra.	52
W. Manrique, A. Serafino, E. Actis, J. Baldivieso, E. Alonso - Correcciones Preliminares a la Ascención Rec- ta y Declinación de Radiofuentes Opticas.	59
C.A. Mondinalli, R.A. Perdomo - Resultados de Tiempo y Lati- tud en la Estación Astronómica Río Grande.	61
 <b>BINARIAS Y SISTEMAS MULTIPLES ESTELARES</b>	
J. Sahade, Lía García de Ferrer - Reinvestigación de la Varia- ble de Eclipse $\mu^1$ Scorpii.	69
O. Ferrer - El Sistema Eclipsante de AU Monocerotis.	70
H. Levato, S. Malaroda - Morfología Espectral en Collinder 228.	71
J. Sahade, E. Brandi - Variaciones en la Intensidad del Do- blete Ultravioleta de Mg II en Estrellas Sim- bióticas.	72
J. Sahade, E. Brandi - Observaciones IUE de Estrellas Simbi- óticas.	73
E. Lapasset - Análisis de la Fotometría en el Lejano Ultravio- leta de Beta Lyrae.	74
H. Marraco, H. Luna, F. López García - Observaciones de AU Mic Durante la Campaña Internacional del IUE.	75
H. Luna - Observaciones Polarimétricas de HD 162679.	76

S.L. Lipari - Fotometría Fotoeléctrica UBV de V758 Centauri.	77
E. Lapasset, R. Sisteró - Método de Curvas de Luz Sintéticas Aplicado a UZ Octantis.	78
H. Levato, S. Malaroda, N. Morrell, G. Solivella - Porcentaje de Binarias en la Asociación de Sco-Cen.	79
<b>COSMOLOGIA</b>	
M. Castagnino, L. Chimento, D. Harari - Scalar Particles Crea- tion Rate in an Expanding Universe.	83
<b>CURVAS DE CRECIMIENTO DEL SOL</b>	
M.M. Villada, L.A. Milane - Curvas de Crecimiento Empíricas Para el Sol.	89
<b>ELEMENTOS QUIMICOS EN ESTRELLAS</b>	
S. Malaroda - Identificación de Elementos en HD 213918.	97
<b>ESTRELLA SANDULEAK-SEGGEWISS</b>	
L.A. Milane - Comentarios Adicionales Sobre la Estrella San- duleak-Seggewiss (NGC 6231-92).	101
<b>ESTRUCTURA GALACTICA</b>	
J.C. Cersósimo, W.G.L. Poppel - Observación de H I en Filamen- tos Obscuros.	105
C.A. Olano - Estudio de la Distribución y Cinemática del H I en la Región $270^\circ < l < 320^\circ$ y $3^\circ < B < 17^\circ$ .	106
E. Bajaja, C. Cappa, J. Cersósimo, N. Loiseau, C. Martín, R. Morras, C. Olano, W.G.L. Poppel - Relevamiento de Nubes de Alta Velocidad.	107
<b>FUENTES DE RAYOS X</b>	
F.R. Colom, G.M. Dubner - Observaciones en Contínuo de Radio en 1420 MHz en la Dirección de H 1538-32.	111
F.R. Colom, G.M. Dubner - Observaciones de H I Conectados con un Estallido en Rayos X Detectado en la Zona de Lupus.	112

## GALAXIAS

G.J. Carranza, E. Aguero - Cinemática de NGC 4945.	119
E. Bajaja, M.C. Martín - H I en Galaxias Australes.	120
E. Bajaja, W.W. Shane - H I en NGC 4594.	123
E. Bajaja, N. Loiseau - Atlas de Hidrógeno Neutro en la Nube Menor de Magallanes.	124
R. Wielebinski - Radiocontinuum in Nearby Galaxies.	129

## INSTRUMENTACION

R.J. Marabini, H. Marraco - Sistema de Adquisición de Datos del Polarímetro del O.A.L.P.	137
R.J. Marabini - Detector Para Espectrógrafo con Reticon del O.A.C.	139
R.A. Carestia, C.C. Mallamaci - Dispositivo Foto-Electrónico Para Registros de Tránsitos del Círculo Meridiano.	145
R.J. Marabini - Fotómetro Piloto Para El Leoncito.	149

## MECANICA CELESTE

C.A. Altavista - On Formal and Periodic Solutions of the Three-Body Problem.	153
C.A. Altavista - On Formal Integration of Lagrange's Planetary Equations of Motion.	161
F. López García - Resultados Cualitativos en Mecánica Celeste.	164
J.C. Muzzio - Aproximación Epicíclica de Orbitas Casi Circulares en un Potencial con Simetría Axial y Variable con el Tiempo.	165

## MODELOS DE ATMOSFERAS EXTENDIDAS

J.M. Fontenla, M. Rovira, A.E. Ringuelet - Cálculo de Modelos de "Zonas de Transición" en Estrellas B.	169
--------------------------------------------------------------------------------------------------------	-----

MODELOS DE VIENTO ESTELAR

- J.M. Fontenla, A.D. Verga - Modelos de Vientos Estelares en  
la Región Fotosférica. 173

NEBULOSAS DE EMISIÓN

- I.N. Azcárate, J.C. Cersósimo, F.R. Colom - H 166α en Carina. 179

NUBES DE ALTA VELOCIDAD

- E. Bajaja, R. Morras - Estructura Fina en Nubes de Alta Velocidad. 187

PROCESOS FÍSICOS

- L. Opradolce - Intercambio de Carga Entre Iones Multicargados  
y Helio Neutro. 191

- C.A. Núñez, E.R. Iglesias - Equilibrio Químico Disociativo en  
Envolturas Circumestelares. 193

PULSARES

- F.R. Colom, J.C. Testori - H I en los Alrededores de Pulsa-  
res. 201

REGIONES H II

- C. Cappa de Nicolau, W.G.L. Poppel - H I Vinculado con Regiones  
H II. 205

INDICE DE AUTORES

Actis, E.	59	Marabini, R.J.	137-139-149
Aguero, E.	119	Marraco, H.	75-137
Alonso, E.	59	Martín, C.	107-120
Altavista, C.A.	153-161	Milone, L.A.	89-101
Azcárate, I.N.	179	Mondinalli, C.A.	61
Bajaja, E.	107-120-123-124 187	Morras, R.	107-187
Brandi, E.	72-73	Morrell, N.	79
Cappa, C.	107-205	Muzzio, J.C.	165
Carestia, R.A.	9-27-145	Núñez, C.A.	193
Carranza, G.J.	119	Olano, C.A.	106-107
Castagnino, M.	83	Opradolce, C.A.	191
Castro, W.	9	Perdomo, R.A.	52-61
Cersósimo, J.C.	105-107-179	Poppel, W.G.L.	105-107-205
Chimento, L.	83	Ringuelet, A.E.	169
Colomb, F.R.	111-112-179-201	Rovira, M.	169
Dubner, G.M.	111-112	Sahade, J.	69-72-73
Ferrer, O.	70	Serafino, A.	59
Fontenla, J.M.	169-173	Shane, W.W.	123
Gallego, M.	27	Sisteró, R.	78
García de Ferrer, L.	69	Solivella, G.	79
Harari, D.	83	Testori, J.C.	201
Iglesias, E.R.	193	Verga, A.D.	173
Lapasset, E.	74-78	Villada, M.M.	89
Levato, H.	71-79	Wielebinski, R.	129
Lípari, S.L.	77		
Loiseau, N.	107-124		
López García, F.	75-164		
Luna, H.	75-76		
Malaroda, S.	71-79-97		
Mallamaci, C.C.	145		
Manrique, W.	59		



